

# 波 壓 試 驗 研 究

主 持 人：張 金 機

參 與 人 員：	李 勇 榮	黃 清 和	簡 仲 璞
	何 良 勝	陳 明 宗	廖 慶 堂
	何 炳 紹	蔡 金 吉	陳 正 義
	李 永 勝	蔡 瑞 成	陳 肇 興

交 通 處 港 灣 技 術 研 究 所  
中 華 民 國 七 十 六 年 六 月

# 波壓試驗研究

## 摘要

波壓力為防波堤最主要之外力，雖然近年來對直立式防波堤設計已有相當之研究，但對不規則波所引起之外力仍未能提出可靠之計算方法。本研究旨在利用模型試驗以了解不規則波波壓分佈統計特性。

本研究結果顯示，直立堤受不規則波作用，入射波與反射波適當之相位組合，在堤前臨界距離發生碎波造成衝擊波壓。平均而言，重複波波壓隨入射波高增大而加大，但最大波高並不一定產生最大波壓，而是幾個較大之波群入射與反射組合所造成。試驗波高成理萊分佈，發生衝擊波壓時，波壓成均勻分佈；重複波未發生衝擊波壓時，波壓成理萊分佈。

當  $0.05 \leq h/L_0 \leq 0.3$ ， $p/wH$  與  $H/h$  及  $h/L_0$  之關係相當一致，其值約在 0.7 與 0.9 之間，隨  $H/h$  增加而略微減小。 $\bar{p}/wH$  隨  $h/L_0$  增加而減小，隨  $H/h$  增大而稍增加，其值介於 0.45 與 0.65 之間。 $p/wH$  及  $\bar{p}/wH$  之值不因統計概率不同而有顯著差異。 $p_{1/10}/p_{1/3}$  與  $H_{1/10}/H_{1/3}$  及  $p_{max}/p_{1/3}$  與  $H_{max}/H_{1/3}$  資料點成扇形分佈，迴歸線斜率接近 1 : 1。水深較大時波峯最大波壓發生在水面附近，隨水深減小最大波壓有往水面下移之趨勢。當  $h/L > 0.175$  時，波谷與波峯最大波壓力比值  $p'/p_1 > 1.0$ 。

Sainflou, Nagai 及 Goda 等波壓計算公式均不能涵蓋所有試驗條件所得之試驗值。

## EXPERIMENTAL STUDIES OF WAVE PRESSURE

### ABSTRACT

Wave pressure is the most important external force for the design of breakwater. During recent years, there has been considerable development in the technology of vertical face breakwater; however, there is no reliable method to compute wave forces induced by irregular waves. The purpose of this study is to obtain statistical characteristics of irregular wave pressure distribution from model tests.

The results of this study show that vertical face breakwater under the action of irregular waves, some waves are reflected, so that the next wave breaks a critical distance resulting a rapidly rising shock pressure on the breakwater. On the average, the wave pressure increases with the increase of incoming wave height, but the maximum wave force does not necessarily occur for the largest wave height. It can be occurred for serval larger wave group in an appropriate phase composition. In the model tests wave height follows Rayleigh distribution, the test results show that wave pressure are uniform distribution for the occurrence of shock pressure, and Rayleigh distribution for standing wave without shock pressure.

For  $0.05 \leq h/L_0 \leq 0.3$ , the relationship between  $p/wH$  and  $H/h$ ,  $h/L_0$  are quite consistancy, the value of  $p/wH$  ranges from 0.7 to 0.9, slightly decreases with increase of  $H/h$ . The value of  $\bar{p}/wH$  are between 0.45 and 0.65, which decreases with increase of  $h/L_0$ , and slightly increases with the increment of  $H/h$ . By using different probabilities, the values of  $p/wH$  and  $\bar{p}/wH$  don't have much difference. The relationship between  $p_{1/10}/p_{1/3}$  and  $H_{1/10}/H_{1/3}$  as well as  $p_{\max}/p_{1/3}$  and  $H_{\max}/H_{1/3}$  have fan shape scattering; the slopes of fitting curve are about 1:1. For larger water depth, the maximum pressure occurs at the vicinity of water surface, and the maximum tends to move down word with the decreasing of water depth. When  $h/L > 0.175$ , the maximum pressure ratio of wave trough and creast,  $p'_1/p_1$  greater than 1.0.

Wave pressures calculated by Sainflou, Nagai and Goda formula can not satisfy test data in all test conditions.

# 波 壓 試 驗 研 究

## 目 錄

摘要 .....	ii
ABSTRACT .....	iii
圖名 .....	vi
符號 .....	ix
一、前 言 .....	1
二、試驗設備 .....	6
(一) 風洞水槽 .....	6
(二) 鼓風機 .....	6
(三) 不規則波造波機 .....	6
(四) 資料處理系統 .....	6
三、試驗條件 .....	8
(一) 模型縮尺 .....	8
(二) 試驗模型 .....	8
(三) 試驗波浪 .....	8
四、第一階段試驗結果 .....	11
(一) 波浪 .....	11
(二) 傳遞波浪 .....	11
(三) 波壓力 .....	16
五、第二階段試驗結果 .....	28

(一) 試驗資料分析	28
(二) 波壓統計特性	36
(三) 最大波壓統計分析特性	64
六、討論	81
(一) 衝擊波壓	81
(二) 波壓累積概率分佈	81
(三) 波壓計使用方法之探討	81
七、結論與建議	83
八、參考書籍	85

## 圖名

- 圖 1 - 1 水平衝擊波壓力與累積概率關係 (Lundgren 1974)
- 圖 1 - 2 垂直與傾斜斷面波壓力比較 (Lundgren)
- 圖 1 - 3 衝擊波壓與拋石基礎寬度之關係 (Takahashi, 1983)
- 圖 1 - 4 直試防波堤與佈置消波塊防波堤波壓比較  
(Tanimoto, 1984)
- 圖 1 - 5 試驗波壓與 Goda 及 Ito 公式計算值比較  
(Tanimoto, 1984)
- 圖 2 - 1 風洞水槽
- 圖 3 - 1 第一階段試驗防波堤斷面
- 圖 3 - 2 第二階段試驗防波堤斷面
- 圖 3 - 3 第二階段試驗波高計及波壓計佈置
- 圖 4 - 1 第一階段試驗波浪能譜
- 圖 4 - 2 (a) 波高累積超過率關係 (I: 入射波, B: 堤前波  
T: 試驗入射波)
- 圖 4 - 2 (b) 波高累積超過率關係 (I: 入射波, B: 堤前波  
T: 試驗入射波)
- 圖 4 - 3 (a) 波壓與堤前波高延時變化
- 圖 4 - 3 (b) 波壓與堤前波高延時變化
- 圖 4 - 4 水平總壓力試驗值分佈與計算值比較
- 圖 4 - 5 水平測點波壓強度累積概率關係
- 圖 4 - 6 水平總壓力累積概率關係
- 圖 4 - 7 各試驗情況水平總壓力概率迴歸比較
- 圖 4 - 8 波壓試驗值與計算值比  $p_e / p_0$  與  $h_c / H_i$  之關係
- 圖 4 - 9 水平總壓力試驗值與計算值比  $F_e / F_0$  與  $h_c / H_i$  之關係

圖 4 - 10 試驗值  $p / wH$  與  $H/h$  之關係

圖 5 - 1 (a) 波壓及波浪試驗延時變化圖

圖 5 - 1 (b) 波壓及波浪試驗延時變化圖

圖 5 - 1 (c) 波壓及波浪試驗延時變化圖

圖 5 - 1 (d) 波壓及波浪試驗延時變化圖

圖 5 - 1 (e) 波壓及波浪試驗延時變化圖

圖 5 - 1 (f) 波壓及波浪試驗延時變化圖

圖 5 - 2 (a) 波浪及波壓能譜分析圖

圖 5 - 2 (b) 波浪及波壓能譜分析圖

圖 5 - 3 (a) 波高，水面點波壓及斷面平均波壓之累積概率

圖 5 - 3 (b) 波高，水面點波壓及斷面平均波壓之累積概率

圖 5 - 3 (c) 波高，水面點波壓及斷面平均波壓之累積概率

圖 5 - 4  $p/wH$  與  $h/L$  之關係

圖 5 - 5  $\bar{p}/wH$  與  $h/L$  之關係

圖 5 - 6  $p/wH$  與  $H/h$  之關係

圖 5 - 7  $\bar{p}/wH$  與  $H/h$  之關係

圖 5 - 8  $p_{1/10} / p_{1/3}$ ， $p_{max} / p_{1/3}$  與  $h/L_o$  之關係

圖 5 - 9  $p_{1/10} / p_{1/3}$ ， $p_{max} / p_{1/3}$  與  $H/h$  之關係

圖 5 - 10  $\bar{p}_{1/10} / \bar{p}_{1/3}$ ， $\bar{p}_{max} / \bar{p}_{1/3}$  與  $h/L_o$  之關係

圖 5 - 11  $\bar{p}_{1/10} / \bar{p}_{1/3}$ ， $\bar{p}_{max} / \bar{p}_{1/3}$  與  $H/h$  之關係

圖 5 - 12  $\bar{p}_{1/10} / \bar{p}_{1/3}$  與  $H_{1/10} / H_{1/3}$  之關係

圖 5 - 13  $\bar{p}_{max} / \bar{p}_{1/3}$  與  $H_{max} / H_{1/3}$  之關係

圖 5 - 14  $F / wd^2$  與  $H / d$  試驗值與 Nagai 計算值比較

圖 5 - 15  $F / wd^2$  與  $H / d$  試驗值與 Sainflou 計算值比較

圖 5 - 16 (a) 最大波壓斷面分佈試驗與計算值比較

- 圖 5 — 16 (b) 最大波壓斷面分佈試驗與計算值比較  
圖 5 — 16 (c) 最大波壓斷面分佈試驗與計算值比較  
圖 5 — 16 (d) 最大波壓斷面分佈試驗與計算值比較  
圖 5 — 16 (e) 最大波壓斷面分佈試驗與計算值比較  
圖 5 — 16 (f) 最大波壓斷面分佈試驗與計算值比較  
圖 5 — 16 (g) 最大波壓斷面分佈試驗與計算值比較  
圖 5 — 16 (h) 最大波壓斷面分佈試驗與計算值比較  
圖 5 — 16 (i) 最大波壓斷面分佈試驗與計算值比較  
圖 5 — 16 (j) 最大波壓斷面分佈試驗與計算值比較  
圖 5 — 17  $p_1 / wH_{max}$  與  $h / L$  之關係  
圖 5 — 18  $p_2 / p_{max}$  與  $h / L$  之關係  
圖 5 — 19  $R / H_{max}$  與  $h / L$  之關係  
圖 5 — 20  $R' / H_{max}$  與  $h / L$  之關係  
圖 5 — 21  $p'_1 / wH_{max}$  與  $h / L$  之關係  
圖 5 — 22  $p_2' / p_1'$  與  $h / L$  之關係  
圖 5 — 23  $p_1' / p_1$  與  $h / L$  之關係  
圖 5 — 24 合成式防波堤物理量示意圖

## 符 號

符 號	說 明
<b>B</b>	拋石堤頂水平寬度
<b>d</b>	拋石堤拋石頂部水深
$F_3$	發生概率爲 $10^{-3}$ 時之波力
$F_g$	Goda 公式計算水平總波力
$F_n$	Nagai 公式計算水平總波力
$F_m$	Miche-Rundgren 公式計算水平總波力
$F_r$	模型波力縮尺
$F_e$	水平總波力試驗值
$F_c$	水平練波力計算值
$F_{1\%}$ 、 $F_{10\%}$	累積概率 1 % 及 10 % 水平總壓力
$h$	拋石堤基水深
$hc$	水面上堤頂高度
$H$	波 高
$H_{1/3}$ 、 $H_s$	示性波高
$H_{1/10}$ 、 $H_{10}$	最大十分之一波高
$H_{max}$ 、 $H_m$	最大波高
$H_{13.6}$	累積概率 13.6 % 之波高
$L$ 、 $L_o$	波 長
$L_r$	模型線性縮尺
$P$	波 壓
$P_{1/3}$ 、 $P_s$	最大三分之一波壓
$P_{1/10}$ 、 $P_{10}$	最大十分之一波壓
$P_{max}$ 、 $P_m$	最大波壓
$\bar{P}$	斷面平均波壓
$\bar{P}_{1/3}$ 、 $\bar{P}_s$ 、 $P_{sb}$	最大三分之一斷面平均波壓
$\bar{P}_{1/10}$ 、 $\bar{P}_{10}$ 、 $P_{10b}$	最大十分之一斷面平均波壓

$\bar{P}_{max}$ 、 $\bar{P}_m$ 、 $P_{mb}$	最大斷面平均波壓
$P_1$	波峯時靜水面最大波壓
$P'_1$	波谷時最大波壓
$P_2$	波峯時直立堤拋石基礎頂部波壓
$P'_2$	波谷時直立堤拋石基礎頂部波壓
$P_r$	模型波壓縮尺
$P_g$	God a 公式波壓力
$P_n$	Nagai 公式波壓力
$P_m$	Miche — Rungren 公式波壓力
$P_e$	波壓試驗值
$P_c$	波壓計算值
$P_{1\%}$ 、 $P_{10\%}$	累積概率 1 % 及 10 % 波壓
$R$	波峯時堤面水位高
$R'$	波谷時堤面水位高
$T_r$	模型時間縮尺
$T$	週 期
$T_z$	平均週期
$W$	水之單位體積重量
$a_1$ 、 $a_2$ 、 $a_3$ 、 $a'_1$ 、 $a'_2$ 、 $a'_3$	係 數

# 波壓試驗研究

## 一、前言

近年來合成式防波堤經常被應用於水深較大基礎承載力較小之港灣工程上，但合成式防波堤受外海不規則波作用，在堤面上所造成之壓力分佈究竟如何？由於影響因素太複雜，時至今日尚無一可靠之計算方法，1928年Sainflou根據Gerster之橢圓餘擺波理論，加以簡化後提出Sainflou重複波波壓計算公式。因其計算簡單曾被廣泛採用，1958年Rundgren根據試驗結果發現Sainflou公式應用於波浪尖度(Wave steepness)較大情況有偏大之趨勢，因此他採用Miche(1944)之較高階理論，並考慮反射係數而提出Miche-Rundgren未碎波波壓計算方法，除考慮反射係數外，此種方法與Sainflou公式相同。日本永井在1968年根據微小振幅波理論及試驗結果提出三種不同之相對水深波壓計算公式，伊藤認為除示性波浪所造成波壓對防波堤滑動及傾倒安全需加以考慮外，對異常波高所造成之外力亦應加以檢討，因此提出期待滑動量之觀念，並建議採用最大波高計算滑動界限之波壓，使重複波與碎波波壓得以連續。合田(Goda)根據有系統之波壓試驗及其他實際資料分析研究後提出Goda波壓計算公式。1974年H.Lundgren利用不規則波研究不同幾何形狀直立堤，以減小其可能產生之衝擊波壓(Shock pressure)，認為直立式防波堤堤面所受之水平壓力與其發生之累積超過率成半對數直線分佈如圖1-1。

丹麥水工試驗所(DHI)Helge及Lundgren研究垂直及傾斜防波堤波力時，考慮波力機率成指數分佈，分析試驗及現場實測波力資料，結果顯示垂直斷面與傾斜斷面所受波壓力相差極大如圖1-2。圖中 $F_3$ 為發生機率 $P = 10^{-3}$ 時之波力， $LSF_3$ 為 $F_3$ 附近波力對數斜率(Logarithmic Slope around  $F_3$ )。

日本港灣技術研究所高橋重雄等人(1983)研究衝擊波壓力，其結果顯示相同之 $h/L_0$ ， $H/h$ 及堤前海底坡度 $\tan\theta$ ，直立式防波堤所受之平均波壓無因次參數 $\bar{p}/wH$ ，隨直立壁前拋石基礎水平距離無因次參數 $B/h$ 成

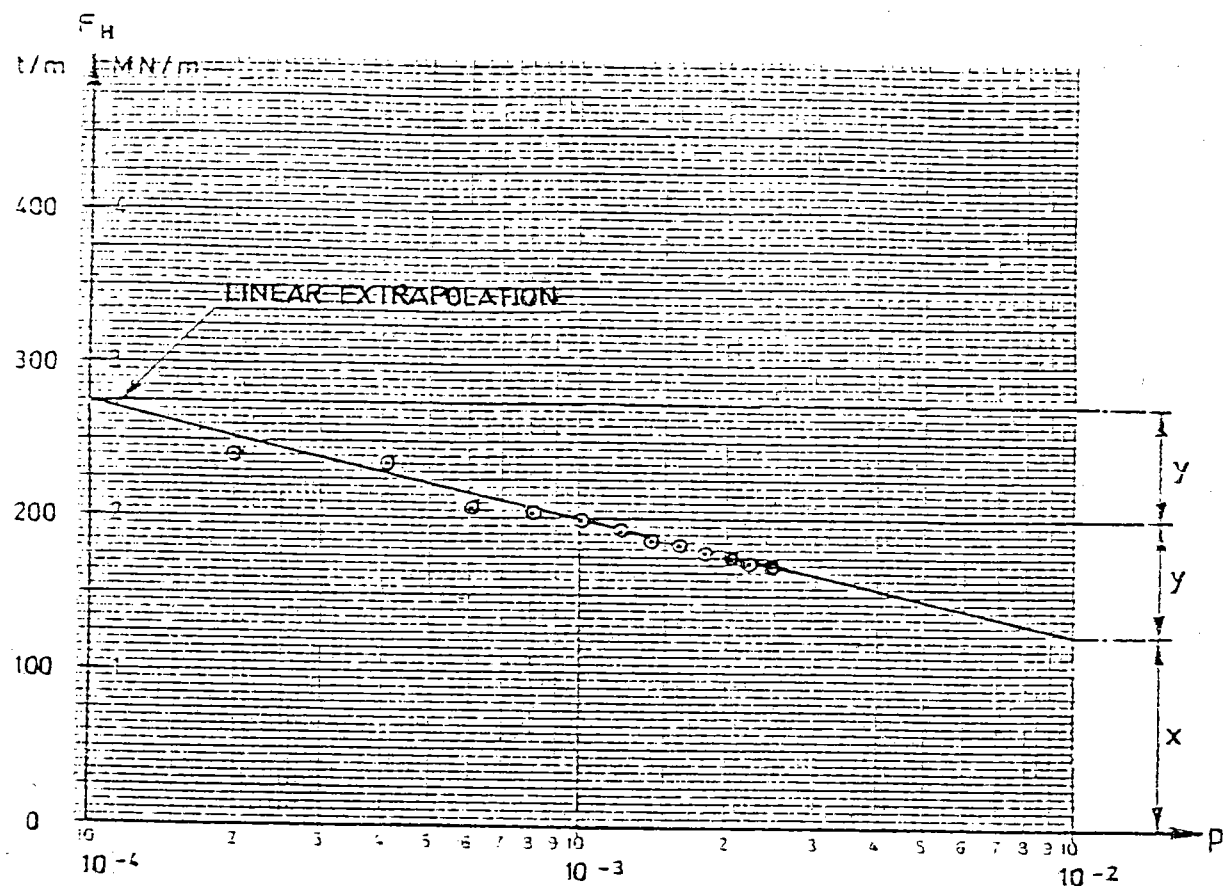


圖 1-1 水平衝擊波壓力與累積概率關係 (Lundgren 1974)

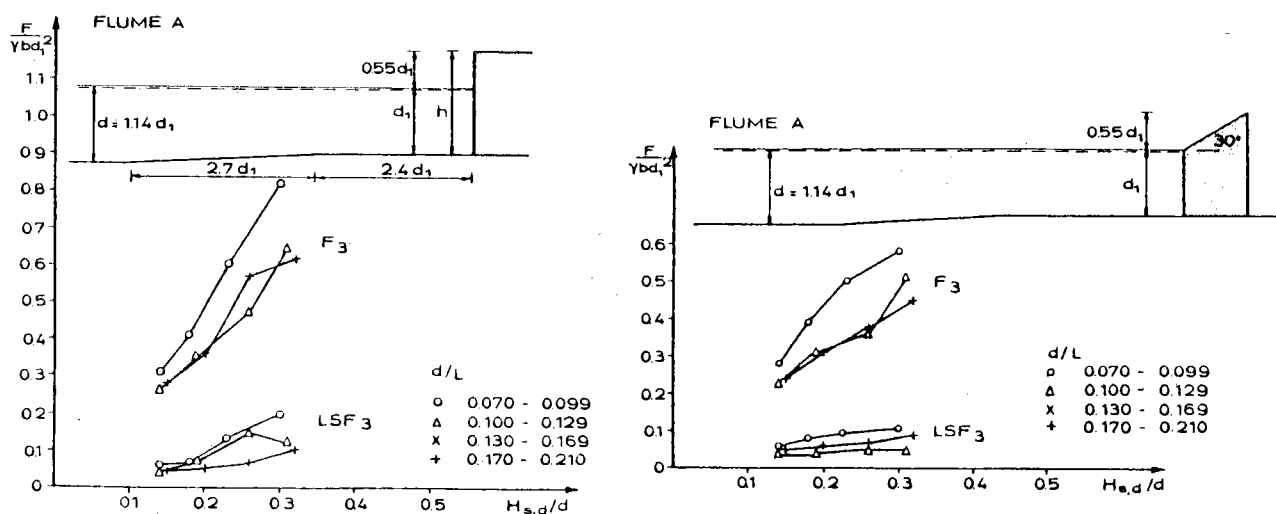


圖 1-2 垂直與傾斜斷面波壓力比較 (Lundgren)

顯著變化如圖 1—3。

谷本勝利等(1981)研究防止合成式防波堤發生衝擊波壓對策時，所得結果顯示，傳統式沉箱堤所受平均波壓力無因次參數  $\bar{p} / wH$  隨  $d/h$  ( $h$  為堤基水深， $d$  為沉箱放置水深) 及  $H/h$  變化可能產生極大之衝擊波壓力。若在堤前佈置消波塊，則可使衝擊波壓力完全消除，如圖 1—4。利用規則波與不規則波試驗結果與 Goda 公式計算值比較比值分別為 0.4 至 0.9 及 0.7 至 0.9，不規則波試驗所獲得結果較為一致。

谷本勝利等(1984)辦理直立式防波堤不規則波試驗研究。當  $H/d$  約小於 0.7 時，試驗波壓與 Goda 公式計算值相當一致，如圖 1—5。但當  $H/d$  增加，產生衝擊波壓時，則 Goda 公式計算結果完全不符合試驗值。未碎波所造成之尖峯波壓(Peak Pressure)可以波高分佈相對應之最大波高利用 Goda 公式求得；其餘各種機率波壓亦可由波浪分佈中相對應機率之波高計算。但是當碎波發生時，其所產生之波壓遠超出 Goda 公式計算值。

近年來，隨著國內經濟發展，並為因應世界航運船舶巨型化，專業化及貨櫃化。深水港需要有更深，延伸更長的防波堤保護。防波堤若水深超過 20m，波力計算大都在重複波範圍，國內所採用之重複波波壓計算公式並不一致，早期大都採用 Sainflou 公式，再以 Ito 期待滑動量加以檢核；後來認為深水時，可能產生部份碎波，對 Sainflou 公式加以修正，水面上、下一個波高採用 Hiroi 碎波波壓，合稱為部份碎波波壓公式或 Sainflou 波壓修正公式。而 Goda 公式則常被應用於計算最大波浪可能造成之波壓力，以檢核構造物之安全性。

波壓力計算，究竟採用重複波波壓公式或碎波波壓公式，大都決定於防波堤設置水深  $h$  是否大於或等於 2 倍波高  $H$ 。因此常由於一線之隔使整個斷面波壓力減少 30% 以上。採用太大波壓力，過份安全，造成浪費；但若設計波壓力太小，則堤防可能被破壞，發生大災難，造成更大的損失。過猶不及實有待更多更可靠之研究，本研究旨在利用試驗了解不規則波作用於合成堤所產生之波壓特性。

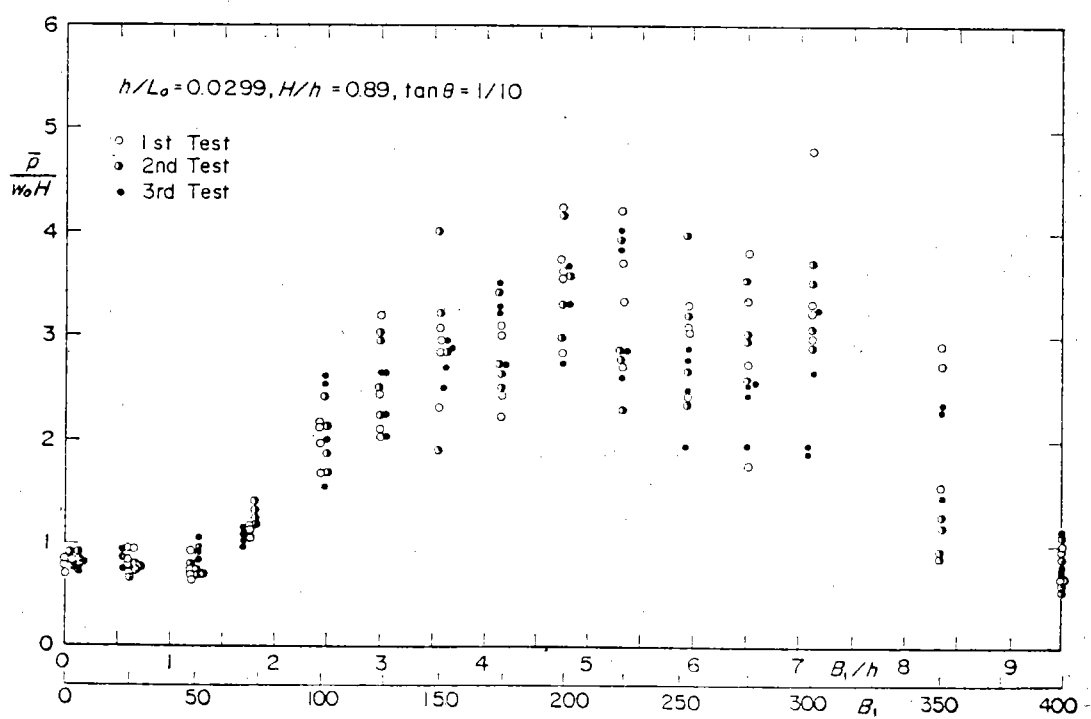
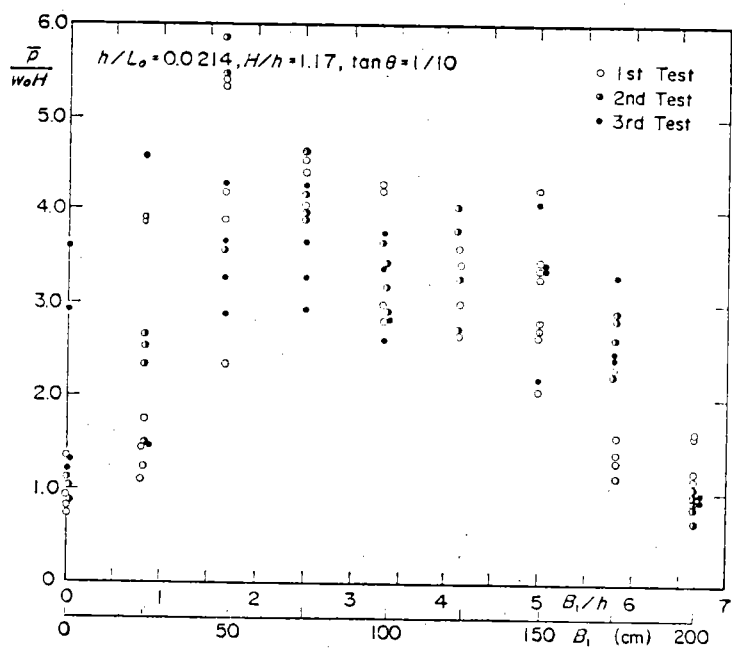


圖 1 - 3 衝擊波壓與拋石基礎寬度之關係 (Takahashi, 1983)

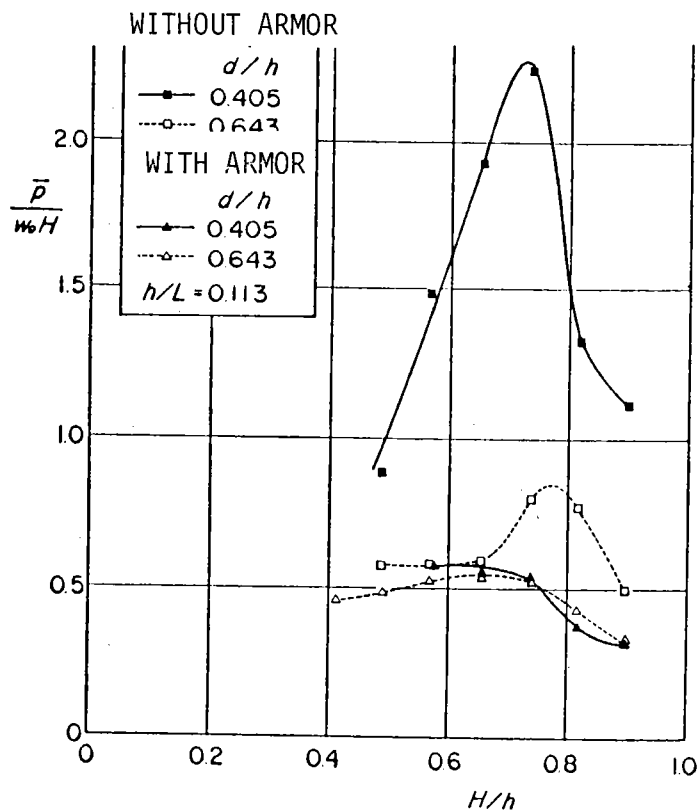


圖 1-4 直試防波堤與佈置消波塊防波堤波壓比較  
(Tanimoto, 1984)

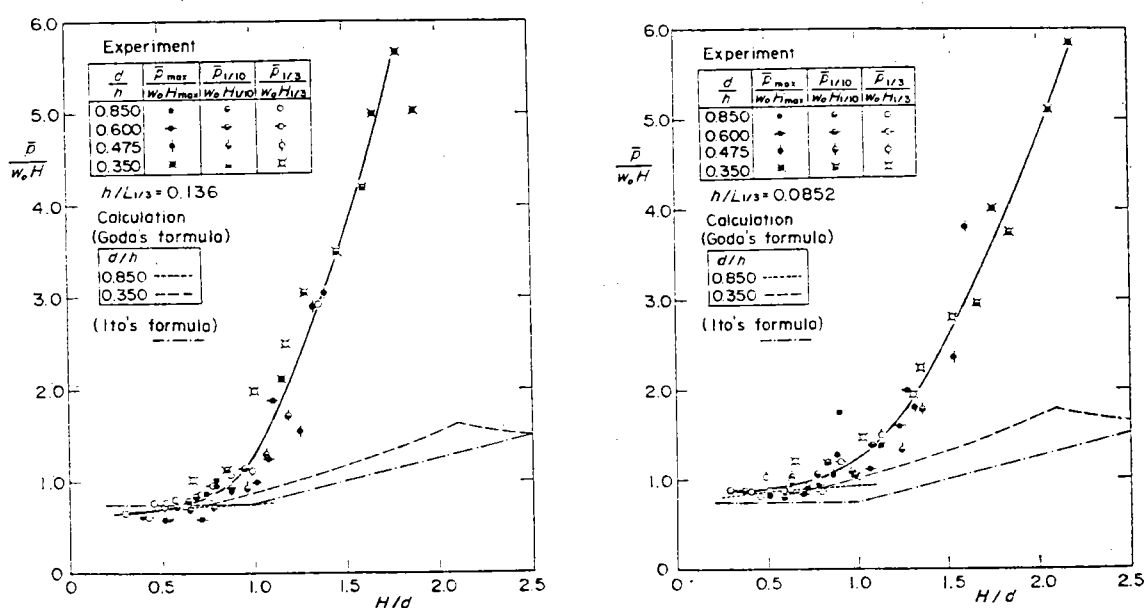


圖 1-5 試驗波壓與 Goda 及 Ito 公式計算值比較 (Tanimoto, 1984)

## 二、試驗設備

本試驗在港灣技術研究所風洞水槽辦理。主要設備為：

- (一) 風洞水槽：長 100 公尺，寬 1.5 公尺，高 1.5 公尺，首端安裝鼓風機及不規則波造波機。在距首端 35 公尺及 75 公尺處分別設置長各 15 公尺之玻璃觀測段，以利試驗現象之觀測，如圖 2-1。
- (二) 鼓風機：裝設於水槽首端，利用 75 Hp 馬達帶動變速齒輪，以調節風速，最大風量可達  $30\text{m}^3/\text{sec}$  以上，在水深一公尺時，風速可達  $20\text{m/sec}$  以上。
- (三) 不規則波造波機：英國 Armfield 公司出品之 S-26 型油壓式造波機。安裝於水槽首端鼓風機下方，可根據輸入參數製造所需試驗波譜。
- (四) 資料處理系統 (Data Acquisition System) 第一階段試驗時所有試驗資料，經由感受器，增幅器後輸出測點物理量之電壓變化，利用類比／數據轉換器 (A/D Convertor) 掃瞄每隔一定間距之數值資料，並將資料儲存於電腦 Hp-1000 之 CPU，再依實際需要分析處理。

第二階段試驗時，採用八個波壓計，六組波高計。第 1 至第 8 頻道為波壓計，第 9 至 14 頻道為波高計。試驗資料改用個人電腦加 A/D 轉換介面紀錄，取樣速度為  $200\text{Hz}$  同時錄取 14 頻道波壓及波浪資料，儲存於磁碟上。資料處理時，經由個人電腦傳入 VAX-780 電腦再作必要之分析。

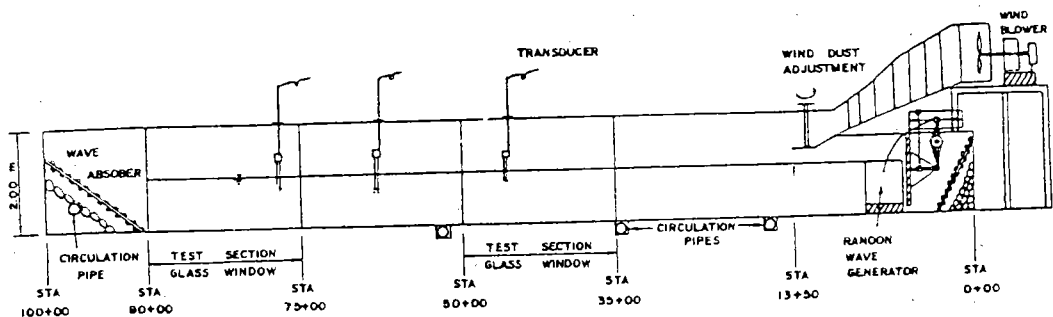


圖 2 — 1 風洞水槽

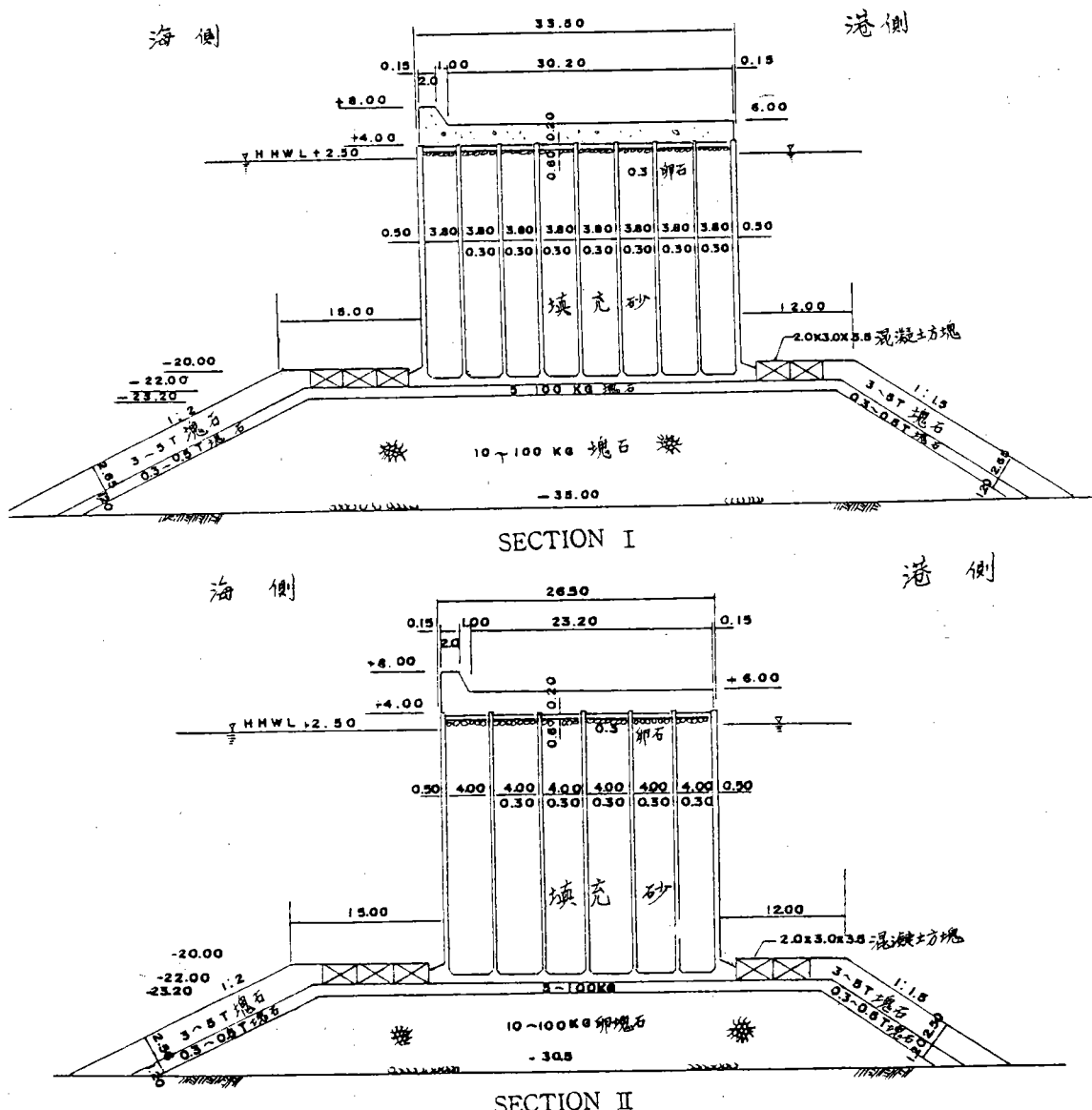


圖 3 — 1 第一階段試驗防波堤斷面

### 三、試驗條件

#### (一) 模型縮尺

本試驗主要外力為重力，依據福得模型律 (Froude Model Law) 製作模型。兩階段試驗所採用之模型縮尺分別為：

第一階段： $L_r = 1/49$ ， $T_r = 1/7$ ， $p_r = 1/49$ ， $F_r = 1/49^3$

第二階段： $L_r = 1/25$ ， $T_r = 1/5$ ， $p_r = 1/25$ ， $F_r = 1/25^3$

#### (二) 試驗模型

第一階段試驗斷面如圖 3-1，拋石基礎及直立部份之沉箱尺寸均按  $1/49$  模型縮尺比例製作。沉箱內部按重量，重心填沙及鐵塊。堤基前海底坡度  $1:30$  製作，試驗水位採用高水位  $+2.50^m$ 。波壓計分別安裝於水位  $+8.0$   $+2.5$  及  $-4.0^m$  處，波高計佈置於堤前  $50^m$ ， $4^m$  及堤後  $2^m$  處。

第二階段試驗斷面如圖 3-2，模型上合成堤拋石高度為  $18cm$ ，海側坡度  $1:3$ ，港側  $1:2$ ，海底坡度為  $1:30$ 。本階段試驗採用三種堤前水深，分別為  $73$ 、 $61$  及  $49 cm$ ，波高計及波壓計佈置如圖 3-3。

#### (三) 試驗波浪

第一階段兩種斷面，試驗波浪為

斷面	編號	波高 (cm)	週期(sec)	備註
I	C1~C5	16~28	1.7~1.9	週期為示性週期 $T^{1/3}$
II	C6~C9	19~34	1.7~1.9	

第二階段一種斷面三種試驗水位，試驗波浪為

水位	沉箱放置水深 $d$ (cm)	堤前水深 $h$ (cm)	造波機水深 (cm)	波高 (cm)	週期 (sec)
高水位	55	73	100	2.51~18.30	1.25~2.81
中水位	43	61	88	1.75~18.6	1.22~1.96
低水位	31	49	76	4.86~15.33	1.18~1.88

註：週期為平均週期

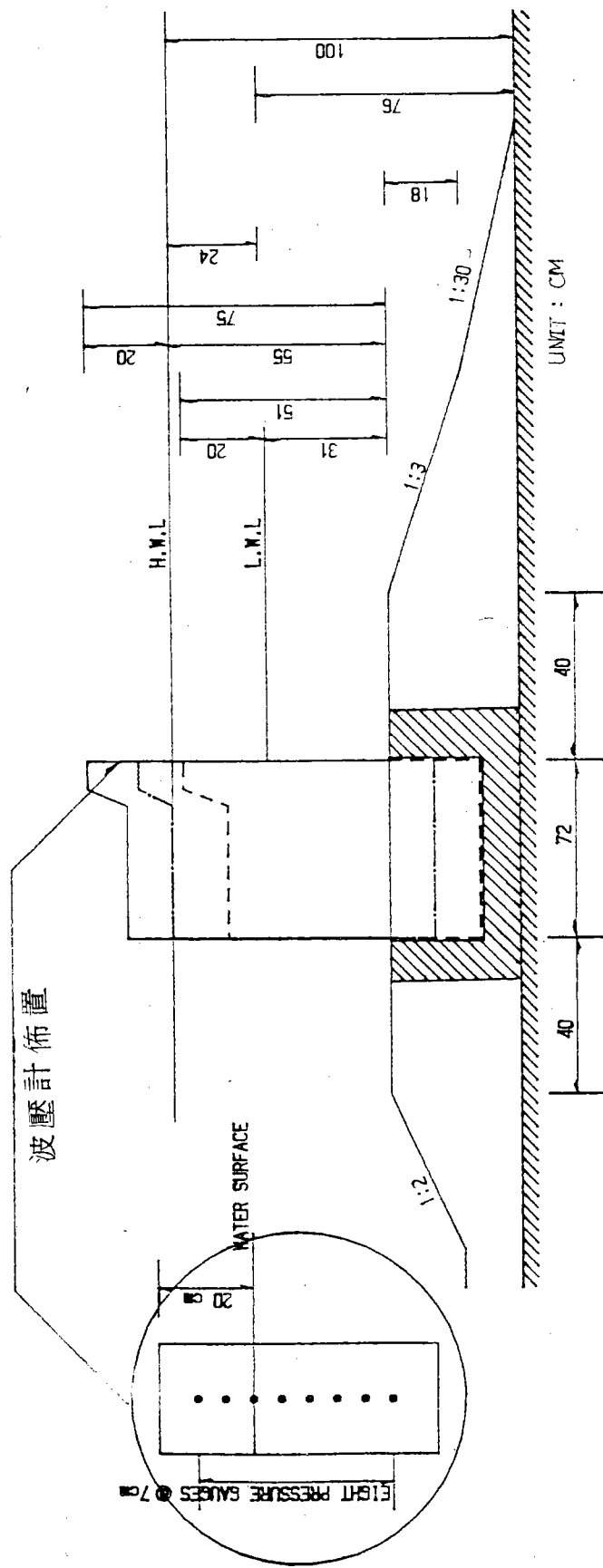


圖 3—2 第二階段試驗防波堤斷面

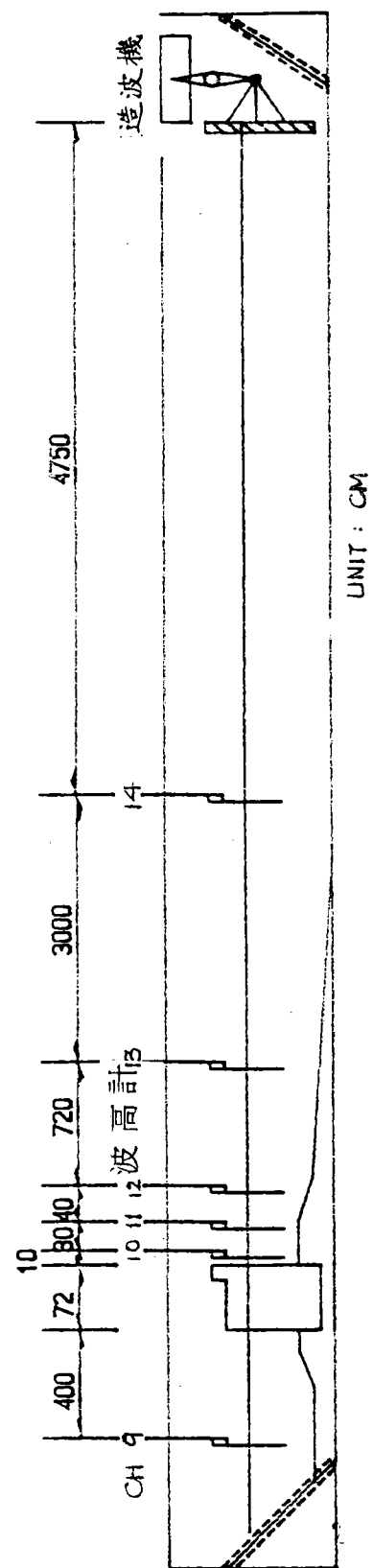


圖 3-3 第二階段試驗波高計及壓波佈置

#### 四、第一階段試驗結果

##### (一) 波浪

波浪量測係由波高計感應水位變化，經由A/D轉換器，每隔0.1秒掃瞄一次，取得試驗過程水位變化，再利用程式分析逐時波高，週期與波譜。各種試驗情況入射波浪波譜如圖4-1。入射波、堤前波與波壓試驗時之堤前波高累積超過率及波高理萊分佈(Rayleigh Distribution)曲線如圖4-2；圖中顯示入射波較堤前波更能符合理萊分佈。以累積超過率 $p = 13.6\%$ 代表示性波高(Significant Wave Height)  $H_s$ 。試驗前率定約100個波所求得之入射波高( $H_s$ )<sub>I</sub>；及堤前波高( $H_s$ )<sub>B</sub>。但波壓試驗時，因僅測取其中30個堤前波，具示性波高為( $H_s$ )<sub>BT</sub>。因此試驗入射波高需按率定與試驗時堤前波高比例關係修正。各種試驗情況示性波高如表4-1。

##### (二) 傳遞波浪

各種試驗情況，試驗結果歸納如表4-2。第I斷面除C-1外，C-2至C-5均發生較大之越波；波浪傳遞係數在0.23與0.279之間。第II斷面越波量均甚小，C-9試驗情況因在堤前產生部份碎波，越波量更小。波高傳遞係數除C-9外，在0.133與0.143之間。第I斷面波高傳遞係數有隨相對堤頂高度( $h_0/H_1$ )增加而減小之趨勢。

圖 4—1 第一階段試驗波浪能譜

正向散射能譜

反向散射能譜



$G(F)$   
 $Gm^2 - S_{\theta C}$

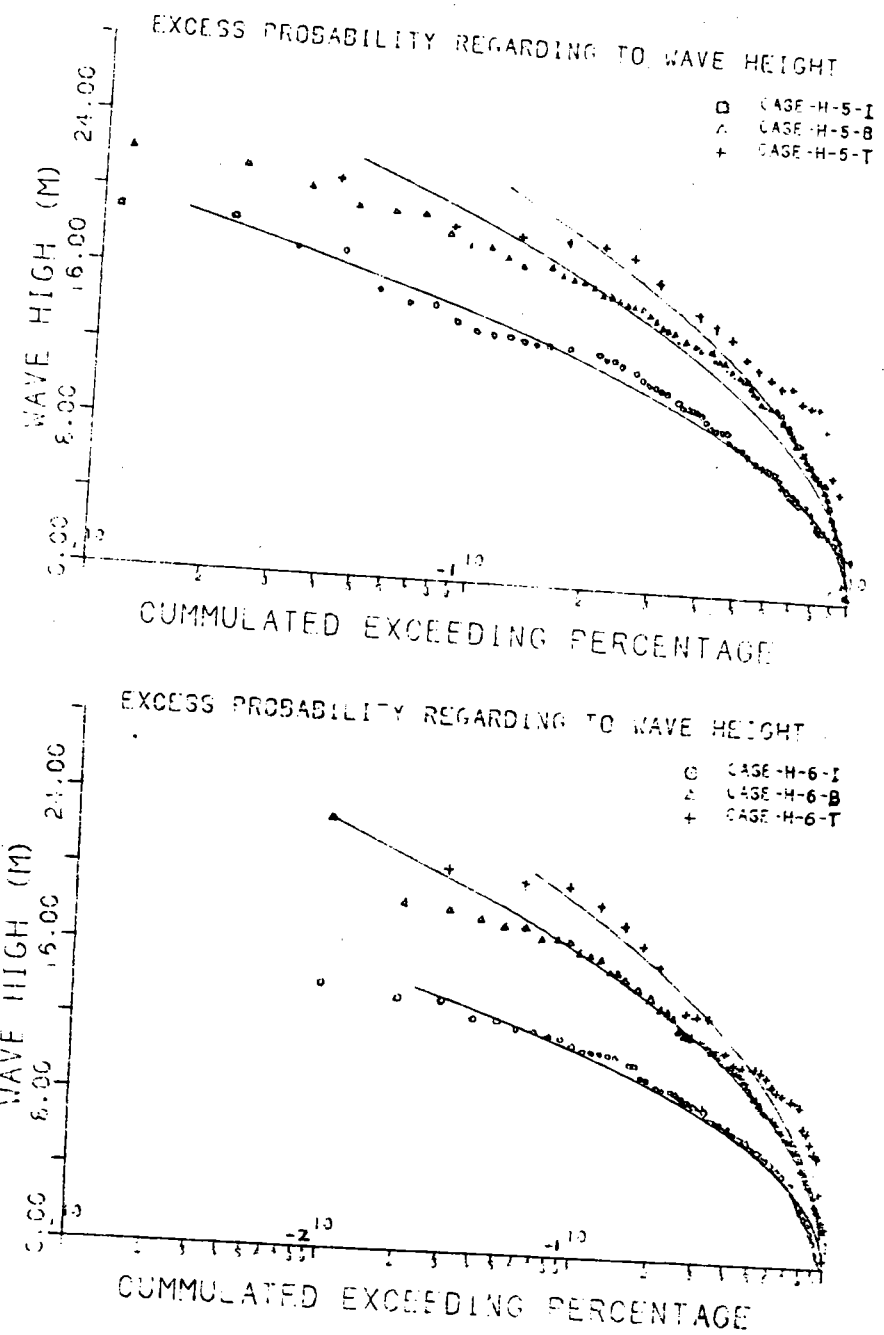


圖 4 - 2 (a) 波高累積超過率關係 (I: 入射波, B: 堤前波  
T: 試驗入射波)

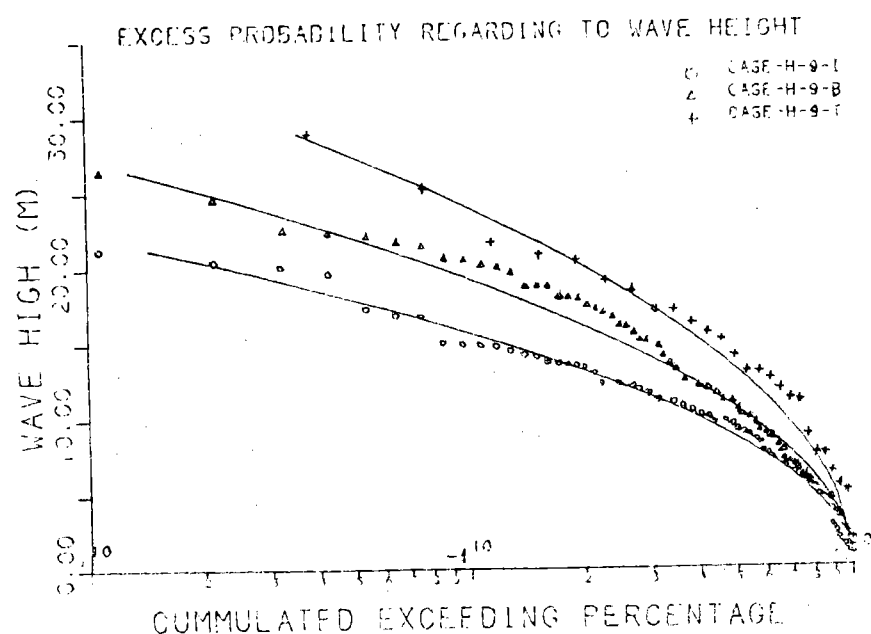
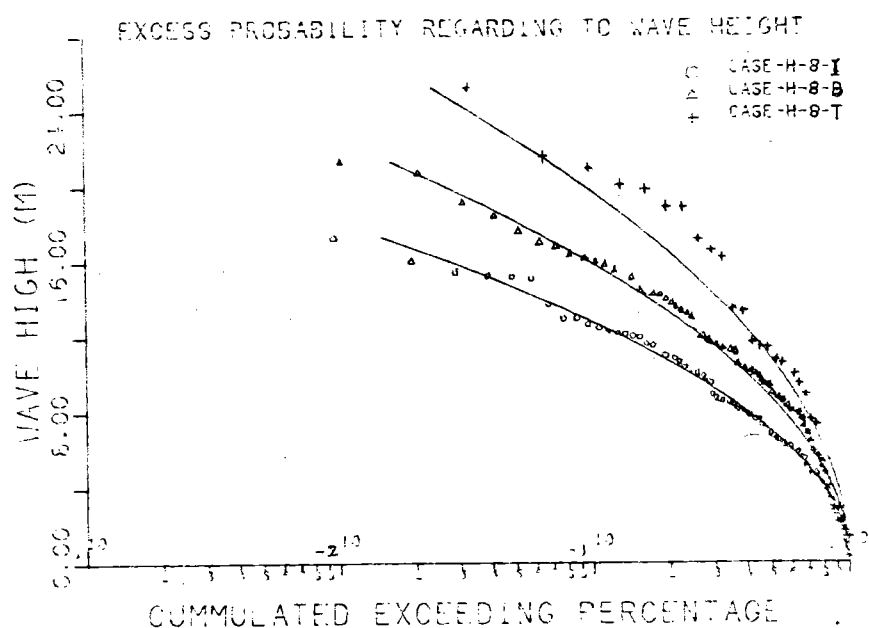


圖 4 - 2 (b) 波高累積超過率關係 (I: 入射波, B: 堤前波  
T: 試驗入射波)

表 4-1 各種試驗情況波高

斷面編號	試驗編號	週期 (sec)	波壓試驗前定值		波壓試驗		波壓試驗入射波高	
			入射波高 ( $H_s$ ) <sub>1</sub> (m)	( $H_s$ ) <sub>B</sub> (m)	堤前波高 ( $H_s$ ) <sub>BT</sub> (m)	修正值 $\frac{(H_s)_B}{(H_s)_{BT}} \times (H_s)_1 (m)$	推算深水波高 ( $H'_s$ ) <sub>10</sub> * (m)	
I	C-1	11.97	9.30	12.85	11.82	8.55	7.81	
	C-2	13.09	10.47	13.41	14.85	11.59	10.60	
	C-3	13.16	10.99	15.25	17.16	12.37	11.32	
II	C-4	13.16	11.57	16.72	18.40	12.73	11.65	
	C-5	13.51	13.24	17.83	20.14	14.96	13.71	
	C-6	11.55	10.14	15.03	17.28	11.66	10.65	
	C-7	11.69	9.42	14.36	15.47	10.15	9.27	
	C-8	12.88	11.91	14.81	18.39	14.79	13.57	
	C-9	13.16	14.59	17.90	22.32	18.19	16.73	

\* 推算深水波高 ( $H'_s$ )<sub>10</sub> = 修正入射波 ( $H'_s$ )<sub>1</sub> / 淩化係數  $K_s$

表 4-2 各種情況試驗結果

斷面 編號	試驗 編號	波浪條件		傳遞波 波高(m)	概 述
		波高(m)	週期(sec)		
I	C-1	9.30	11.97	1.90	護基塊石安定，僅產生少量越波
	C-2	10.47	13.09	2.45	護基塊石少量滑落，傳遞波增大
	C-3	10.99	13.16	2.90	護基塊石滑落，產生大量越波
	C-4	11.57	13.16	3.25	— " —
	C-5	13.24	13.51	3.55	— " —
II	C-6	10.14	11.55	1.45	護基塊石安定，越波量甚少
	C-7	9.42	11.69	1.25	護基塊石安定，越波量甚少
	C-8	11.91	12.88	1.70	護基塊石少量滑動，少量越波
	C-9	14.59	13.16	0.80	護基塊石少量滑動 堤前部份碎波越波量甚少

## (三) 波壓力

## 1. 不規則波試驗波壓力特性

入射波在堤面所產生之波壓變化，由波壓感受器感應後，經增幅器輸出電壓類比信號，再由 A/D 轉換器每隔 0.03 秒掃瞄一次，取得波壓變化之數據值，本試驗所採用之增幅器放大倍數太小，且 A/D 轉換器能存記之最小電壓為  $5^{\text{mV}}$ ；使得測試波壓成階段變化。每階段間隔為原型波壓  $1.2 \text{ ton/m}^2$ 。若取其中值分析，則所造成誤差應小於  $0.6 \text{ ton/m}^2$ 。

波壓試驗所測得之波壓強度與堤前波高延時變化如圖 4 - 3。由堤前波高與波壓延時變化資料顯示波高雖未達碎波條件，因受群波反射影響，亦可能產生極大之衝擊波壓 (Shock Pressure)。波壓決定於入射波與反射波組合，最大之入射波高並不一定造成最大波壓，而幾個較大之入射波與其反射波組合可能產生最大波壓。因此堤面波壓不能決定於不規則波群中之單一入射波高。試驗過程中，即使採用相同之不規則波，由於相位稍有差別，使堤面波壓絕無重現機會。

## 2. 試驗波壓強度分佈

水面及其上下三個波壓測點，所量測之壓力強度若每一試驗情況取其中三個最大波壓與利用三種波壓公式計算值比較顯示，除衝擊波壓外，水深較大之第 I 斷面試驗值與計算值相當吻合。但水深較淺時，雖水面測點試驗波壓尚能符合計算結果，但水面上 ( $EL = + 8.0^m$ ) 及水面下 ( $EL = - 4.0^m$ ) 兩點之試驗波壓有急遽減小之趨勢，對應之波壓計算值偏大。

兩種不同斷面，靜水位附近 (高程自  $- 4.0^m$  至  $+ 8.0^m$ ) 水平總壓力試驗值分佈如圖 4 - 4。除 C - 5 及 C - 6 試驗造成較大衝擊波壓外，計算所得波壓力大都能涵蓋試驗值。

## 3. 試驗波壓累積概率分佈

水面測點試驗所得波壓力強度累積概率關係如圖 4 - 5。靜水位附近水平總壓力與累積概率關係如圖 4 - 6。不規則波作用下，直立堤堤面上所受之波壓力成均勻分佈 (Uniform Distribution)；即波壓力與累積概率成直線關係。第一階段兩種試驗斷面靜水位附近試驗所得水平總壓力累積概率一次迴歸線比較如圖 4 - 7。顯然的，相同之防波堤斷面波壓力隨入射波浪增高，而加大。

## 4. 波壓試驗值與計算值之比較

波壓試驗值累積概率成線性分佈，利用迴歸所得直線中，分別取超過率  $p = 1\%$  及  $10\%$  求得對應水面波壓強度試驗值  $p_e$ ，分別為  $p_{1\%}$  及  $p_{10\%}$ 。波壓計算方法採用 Goda, Nagai 及 Miche-

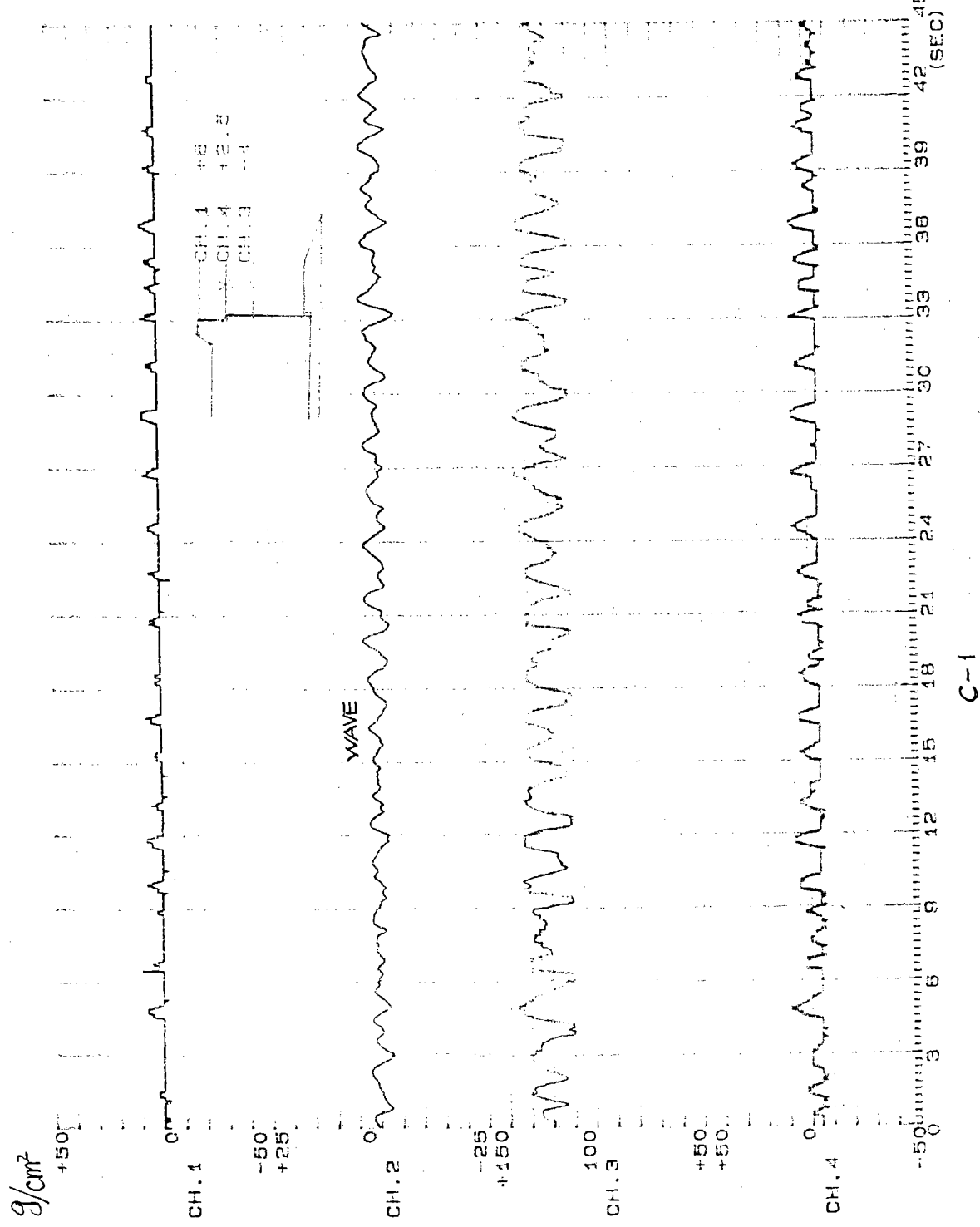


圖 4 — 3 (a) 波壓與堤前波高延時變化

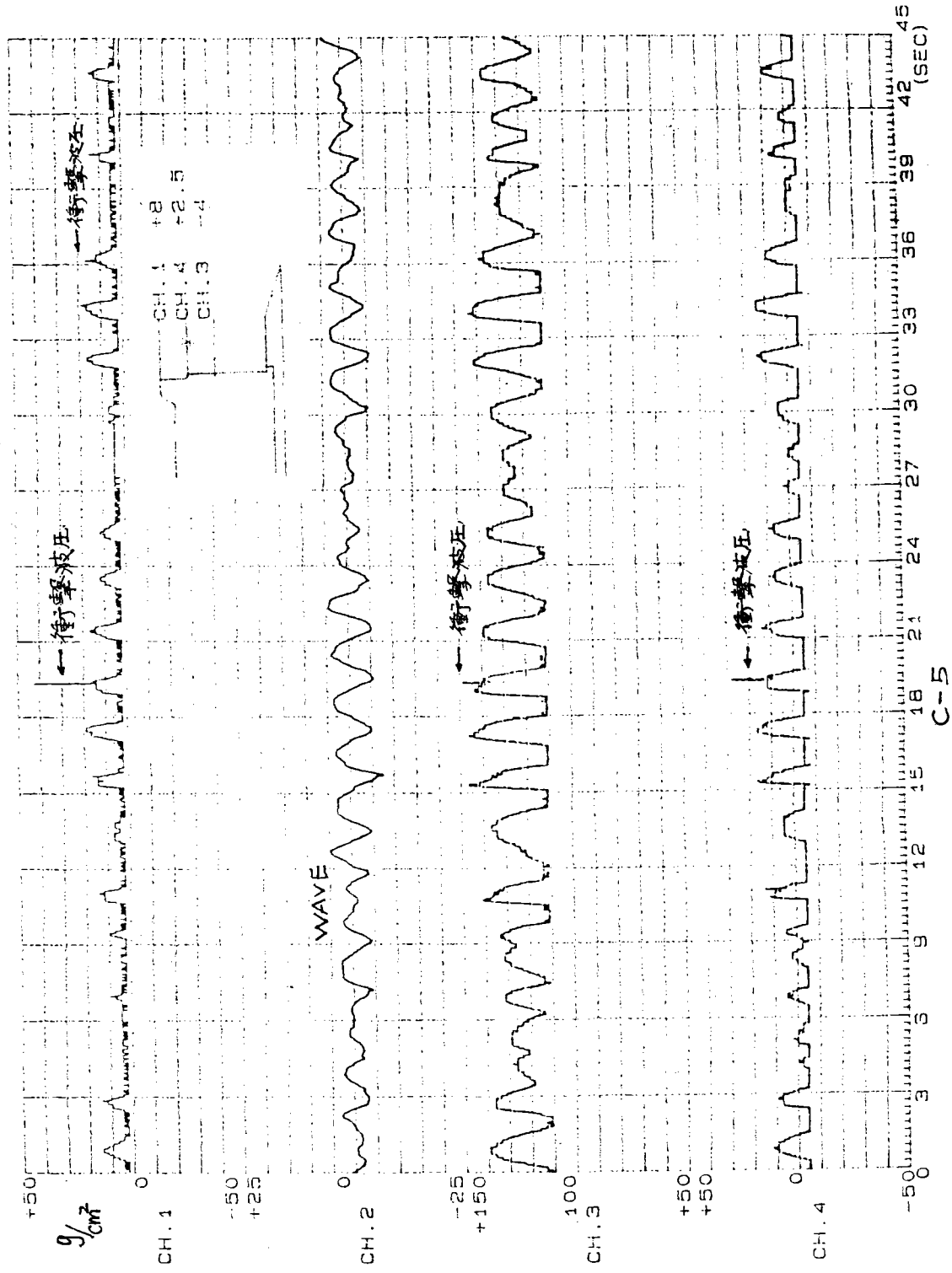


圖 4 — 3 (b) 波壓與堤前波高延時變化

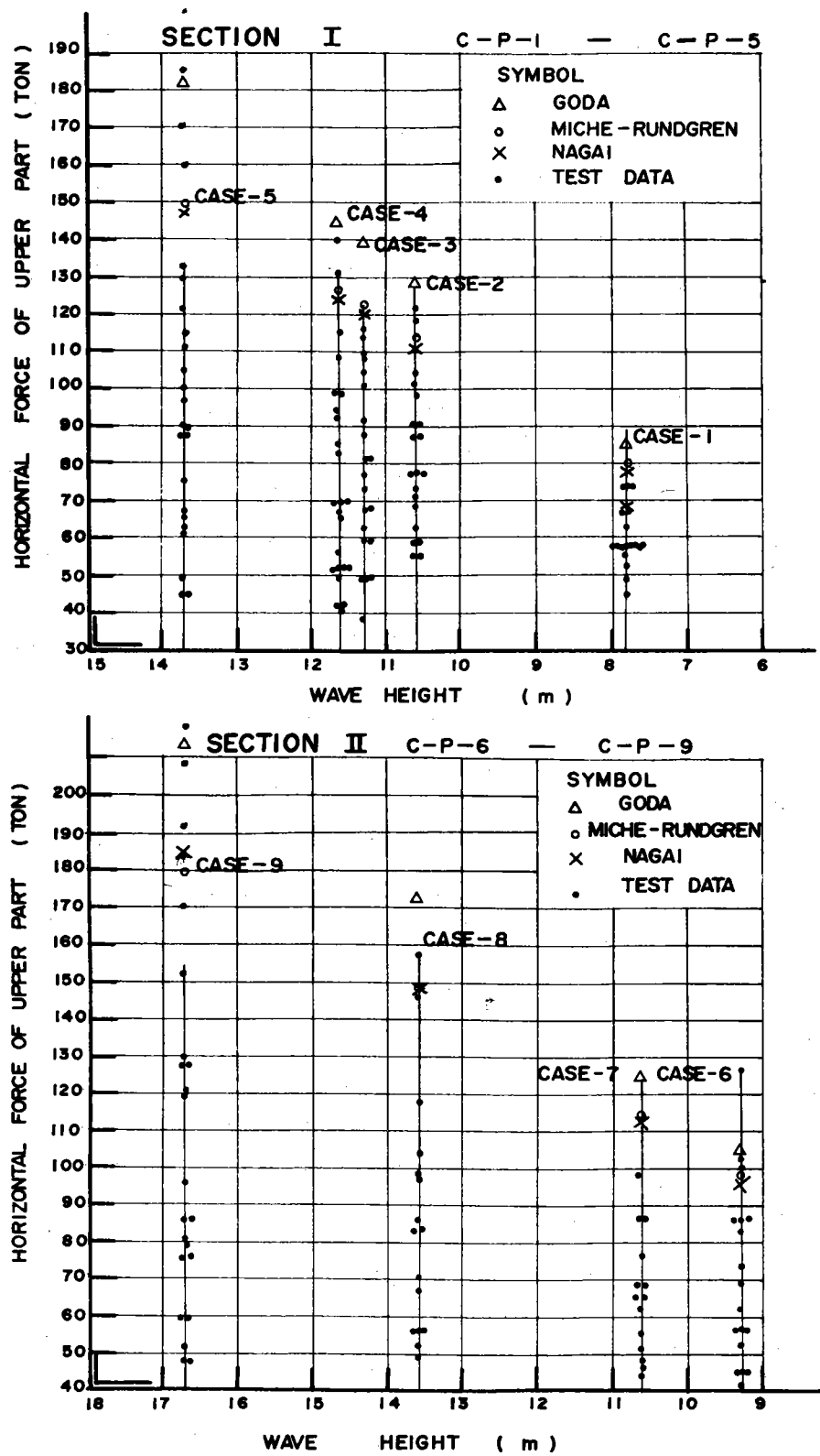


圖 4-4 水平總壓力試驗值分佈與計算值比較

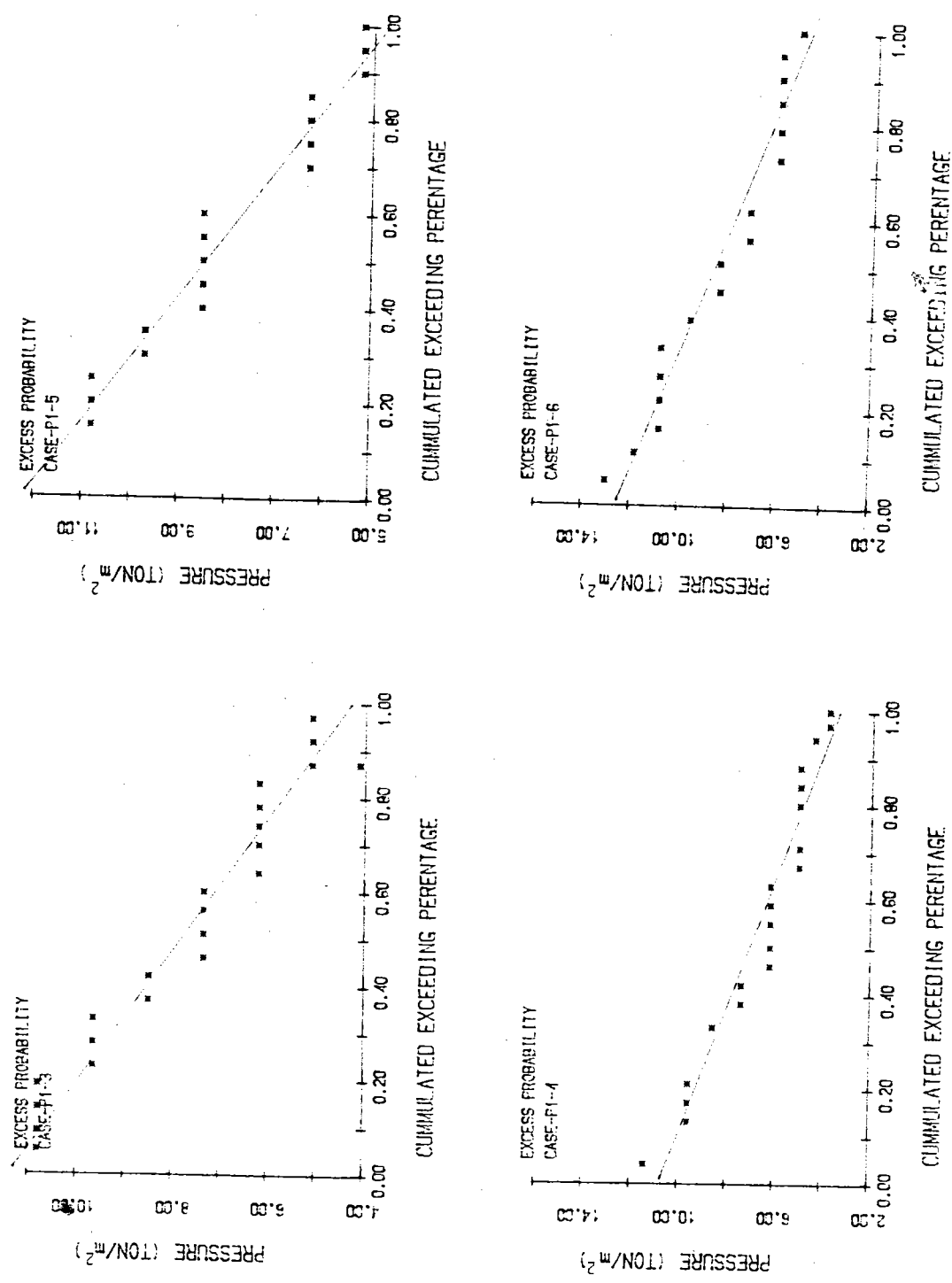


圖 4—5 水平測點波壓強度累積概率關係

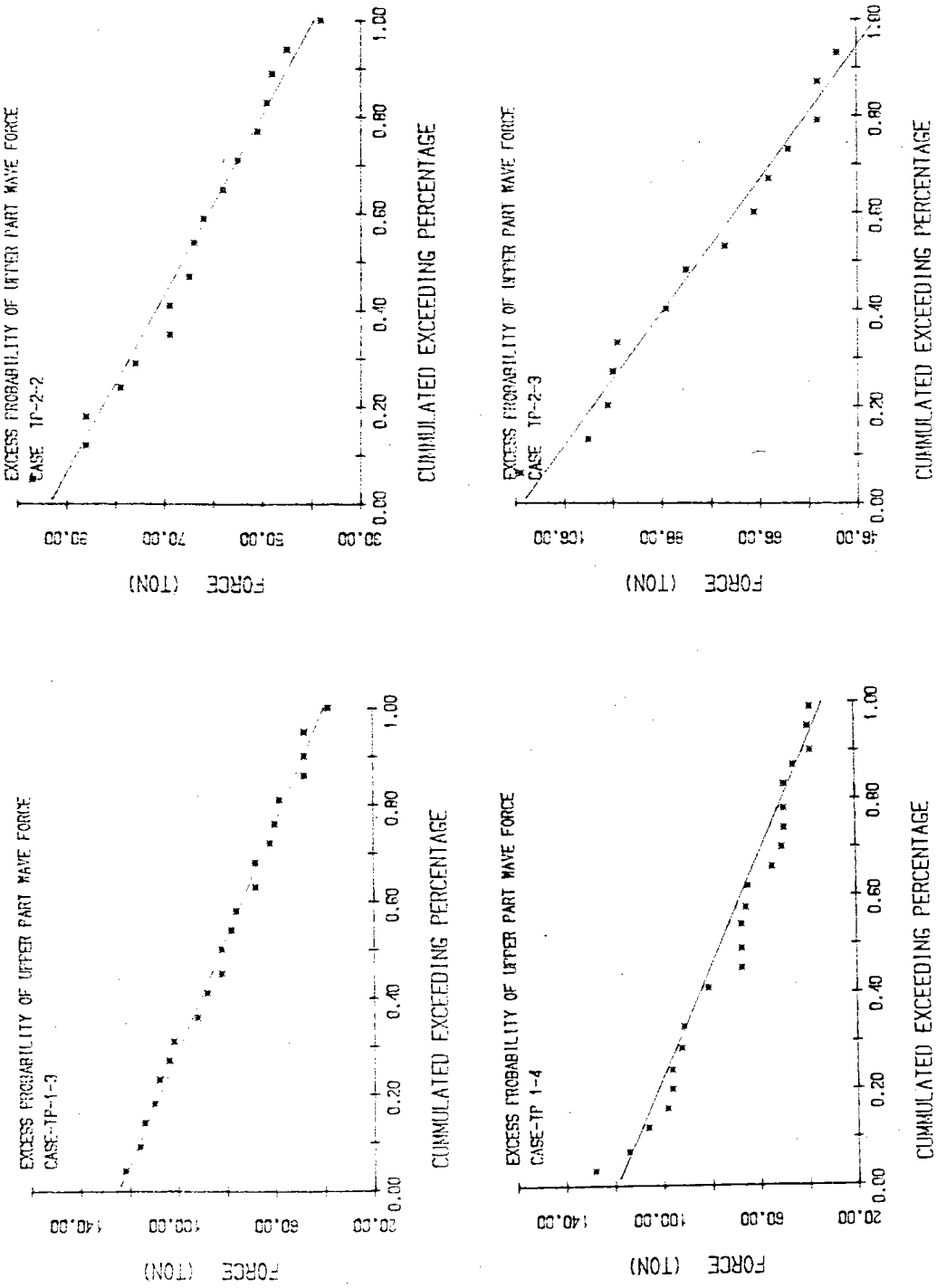


圖 4—6 水平總壓力累積概率關係

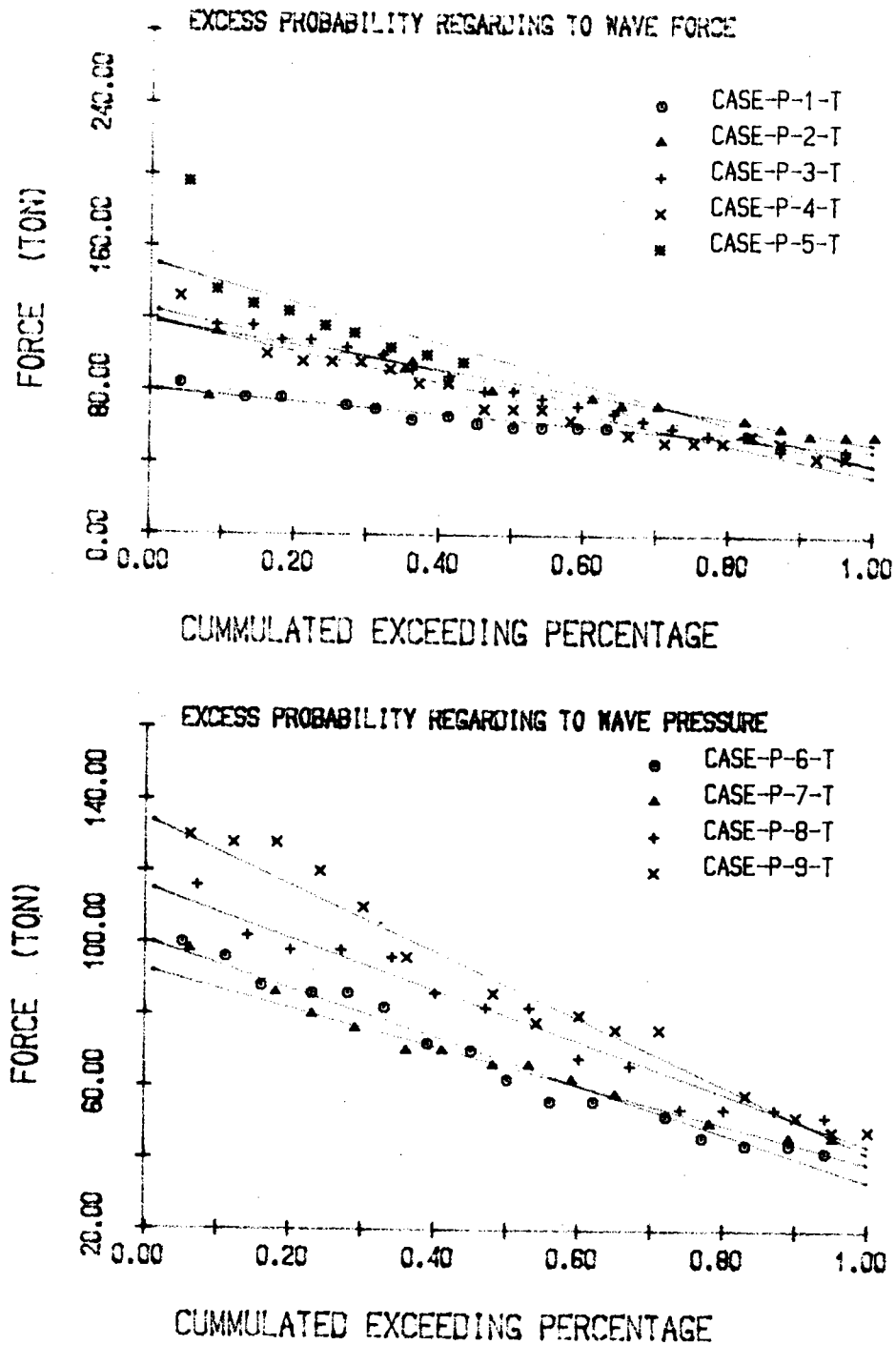


圖 4-7 各試驗情況水平總壓力概率迴歸比較

Rundgren 三種計算所得波壓分別為  $p_g$ ,  $p_n$  及  $p_m$ 。Goda 公式採用最大波高計算波壓，因此試驗值選用  $p_{1\%}$  比較，其餘兩種方法則以  $p_{10\%}$  比較，其比值分別為  $p_{1\%}/p_g$ ,  $p_{10\%}/p_n$  及  $p_{10\%}/p_m$ ，計算結果如表 4-3。分析試驗波壓與計算波壓比值顯示，靜水面試驗波壓隨越波量增加而減小。此種現象在所有波壓計算公式均未予考慮。靜水面以上堤頂高度  $h_c$  與入射波高  $H_1$  之比值  $h_c/H_1$  可視為越波指標。水面測點波壓試驗值與計算值之比 ( $p_e/p_c$ ) 與  $h_c/H_1$  之關係如圖 4-8。水面測點之  $p_e/p_c$  值隨相對堤頂高度  $h_c/H_1$  減低而減小。第 I 斷面  $p_e/p_c$  均小於 1.0；而第 II 斷面除 C-9 外均大於 1.0。兩種斷面相同，只有試驗水深不同，所得  $p_e/p_c$  值却有顯著差異。

靜水位附近 ( $EL = -4.0^m$  至  $+8.0^m$ ) 水平總壓力試驗值  $F_e$  線性迴歸取累積概率  $p=1\%$  及  $10\%$  之水平總壓力分別為  $F_{1\%}$  及  $F_{10\%}$ ，與 Goda, Nagai 及 Miche-Rundgren 等三公式計算所得水平總壓力  $F_g$ ,  $F_n$  及  $F_m$  之比值為  $F_{1\%}/F_g$ ,  $F_{10\%}/F_n$  及  $F_{10\%}/F_m$ 。試驗與計算水平總壓力比值 ( $F_e/F_c$ ) 與相對堤頂高度 ( $h_c/H_1$ ) 之關係如圖 4-9，除第 II 斷面 C-8 及 C-9 兩試驗情況外，其餘各試驗條件水平總壓力試驗值與計算值之比 ( $F_e/F_c$ ) 均介於 0.8 與 1.0 之間。此種結果顯示深水防波堤受不規則波作用時，雖可能產生較大之衝擊波壓，但其水平總壓力利用線性迴歸後，與計算值尚能符合。

靜水位波壓力無因次參數  $p_{10\%}/wH_{1/3}$  與  $H_{1/3}/h$  之關係如圖 4-10。 $p_{10\%}/wH_{1/3}$  隨  $H_{1/3}/h$  增加而略為減小而且第 I 斷面較第 II 斷面偏低。推究其原因主要係  $H/h$  增加時，越波量隨之增大，靜水位測點波壓因而有減小之趨勢。 $p_{10\%}/wH_{1/3}$  之值介於 0.9 與 1.1 之間，如採用  $p_{1/3}/wH_{1/3}$  則其值將在 0.9 以下。

表 4-3 試驗波壓力與計算波波力比較

SECTION	CASE	WATER SURFACE PRESSURE (TON/m <sup>2</sup> )						TOTAL FORCE OF UPPER PART(TON)										
		EXPERIMENT $p_e$	Computed $p_c$	$p_e/p_c$	$p_{10\%}/p_m$	$p_{10\%}/p_n$	$p_{10\%}/p_a$	EXPERIMENT $F_e$	Computed $F_c$	$F_e/F_c$	$F_{10\%}/F_n$	$F_{10\%}/F_m$	$F_{10\%}/F_a$					
I	C - 1	7.9	7.6	8.06	7.81	8.00	0.98	0.97	0.95	80	76	86.5	78.2	80.3	0.92	0.97	0.95	0.70
	C - 2	10.4	9.9	11.65	10.60	10.80	0.89	0.93	0.92	118	110	127.7	111.6	114.1	0.92	0.99	0.96	0.52
	C - 3	11.5	10.7	12.65	11.32	11.49	0.91	0.95	0.93	125	116	139.2	120.1	122.3	0.90	0.97	0.95	0.49
	C - 4	10.8	10.0	13.12	11.65	11.79	0.82	0.86	0.85	119	110	144.6	124.1	126.0	0.82	0.89	0.87	0.47
	C - 5	12.4	11.5	16.35	13.71	13.69	0.76	0.84	0.84	152	140	181.7	148.8	148.9	0.84	0.94	0.94	0.40
	C - 6	12.5	11.8	11.42	10.65	10.77	1.09	1.11	1.10	101	94	124.3	112.2	113.5	0.81	0.84	0.83	0.52
II	C - 7	11.4	10.8	9.70	9.27	9.47	1.18	1.17	1.14	94	88	104.7	95.7	97.9	0.90	0.92	0.90	0.59
	C - 8	15.5	14.6	15.67	13.57	13.56	0.99	1.08	1.08	117	109	173.2	147.2	147.3	0.68	0.74	0.74	0.41
	C - 9	17.0	15.9	21.03	16.73	16.17	0.81	0.95	0.98	144	135	234.5	185.0	178.9	0.62	0.73	0.76	0.33

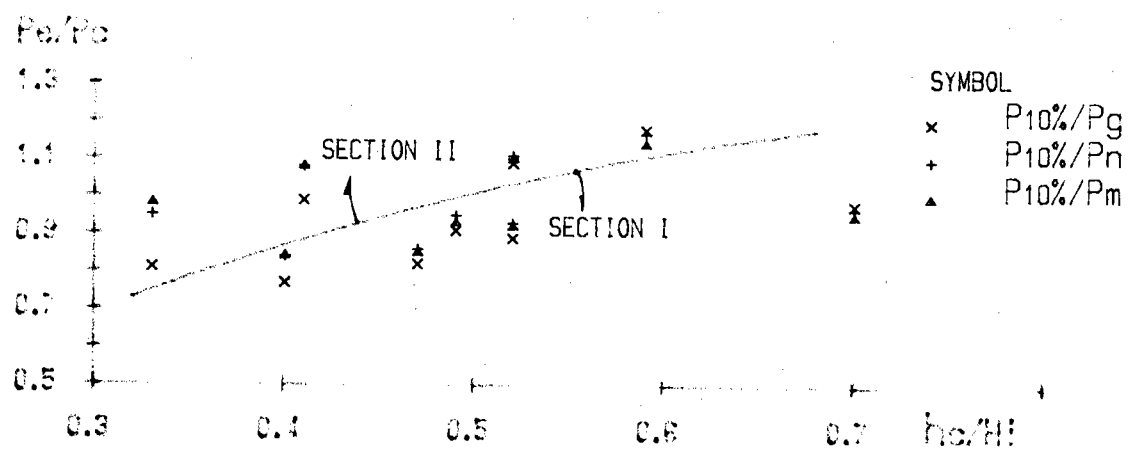


圖 4-8 波壓試驗值與計算值比  $p_e/p_c$  與  $h_c/H_t$  之關係

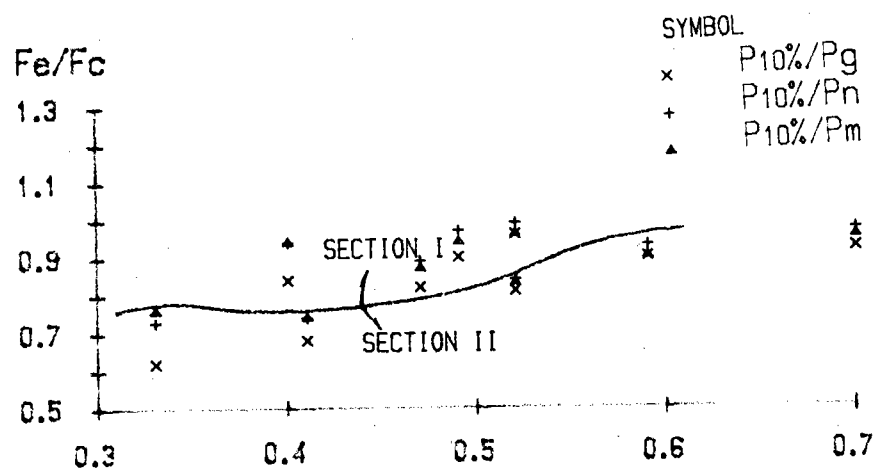


圖 4-9 水平總壓力試驗值與計算值比  $F_e/F_c$  與  $h_c/H_t$  之關係

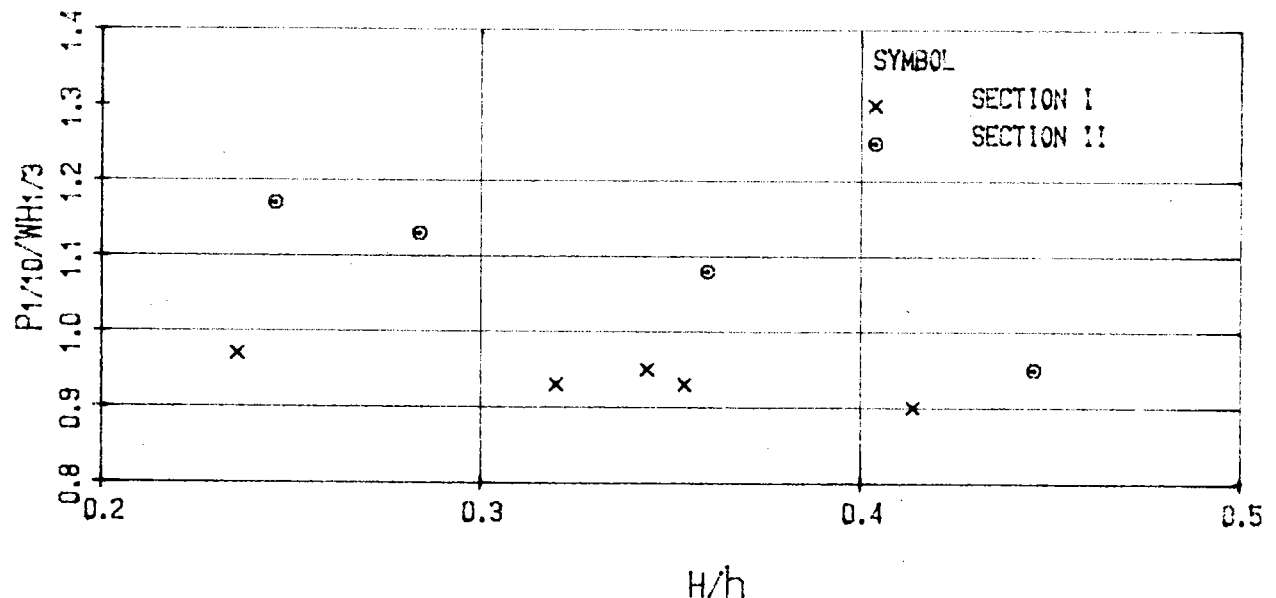


圖 4 - 10 試驗值  $p / wH$  與  $H/h$  之關係

## 五、第二階段試驗結果

### (一) 試驗資料分析

本試驗利用個人電腦加 A／D 轉換介面，每秒鐘每頻道錄取 200 個數據點。每次試驗共紀錄 45 秒，每個頻道共有 9,000 個數值資料，14 個頻道共計有 126,000 個資料。因此資料處理時需先輸入 VAX - 780 電腦，以便從事各種統計分析。

#### 1. 試驗波壓、波浪延時關係

試驗資料輸入電腦後，經由繪圖機繪製十四頻道波壓與波高延時變化，如圖 5-1。由延時關係圖顯示，波壓與波浪關係極為一致。水面以上三個波壓測點，(Ch. 1 至 Ch. 3) 僅在波峯時感受壓力，而水面下波壓測點 (Ch. 4 至 Ch. 8) 在波峯時，作用時為正壓力；波谷時呈現負壓力。所有試驗，越波情況均極輕微而可以忽略。堤後波高計 (Ch. 9) 所紀錄波高均甚小，在試驗範圍內，在低水位，最大波高時，雖可能發生碎波造成衝擊波壓，但在本試驗中，並未獲得碎波衝擊波壓。從試驗中發現，當波高較大發生碎波時，均再以較小之完整波形前進；因此，可以研判此種碎波形態只是水面上部份碎波。

#### 2. 波壓資料分析

波壓資料分析，將波峯時正波壓與波谷時負波壓分開。不論正負波壓（負波壓採用絕對值），其統計方法均採用波浪統計方法，將波壓大小依序排列選取最大波壓為  $p_{\max}$ 。自最大選取 1/10 個及 1/3 個波壓值，平均分別為  $p_{1/10}$  及  $p_{1/3}$  或  $p_s$ 。

平均波壓  $\bar{p}$  之統計則係將 8 個波壓計所測得波壓作算術平均，即  $\bar{p} = \frac{1}{8} \sum_{i=1}^8 p_i$ ，再依上述波浪統計方法分析。因此整個防波堤斷面所受水平總壓力  $F$ ，可以視為波壓平均值乘以防波堤高度。

波峯及波谷所造成波壓統計如表 5-1。

#### 3. 波浪資料分析

波浪紀錄資料為水位變化值，取其平均為靜水位。利用零線相交，追蹤每個波浪波高及相對週期。按波高大小排列，選取最大波高，並統計最

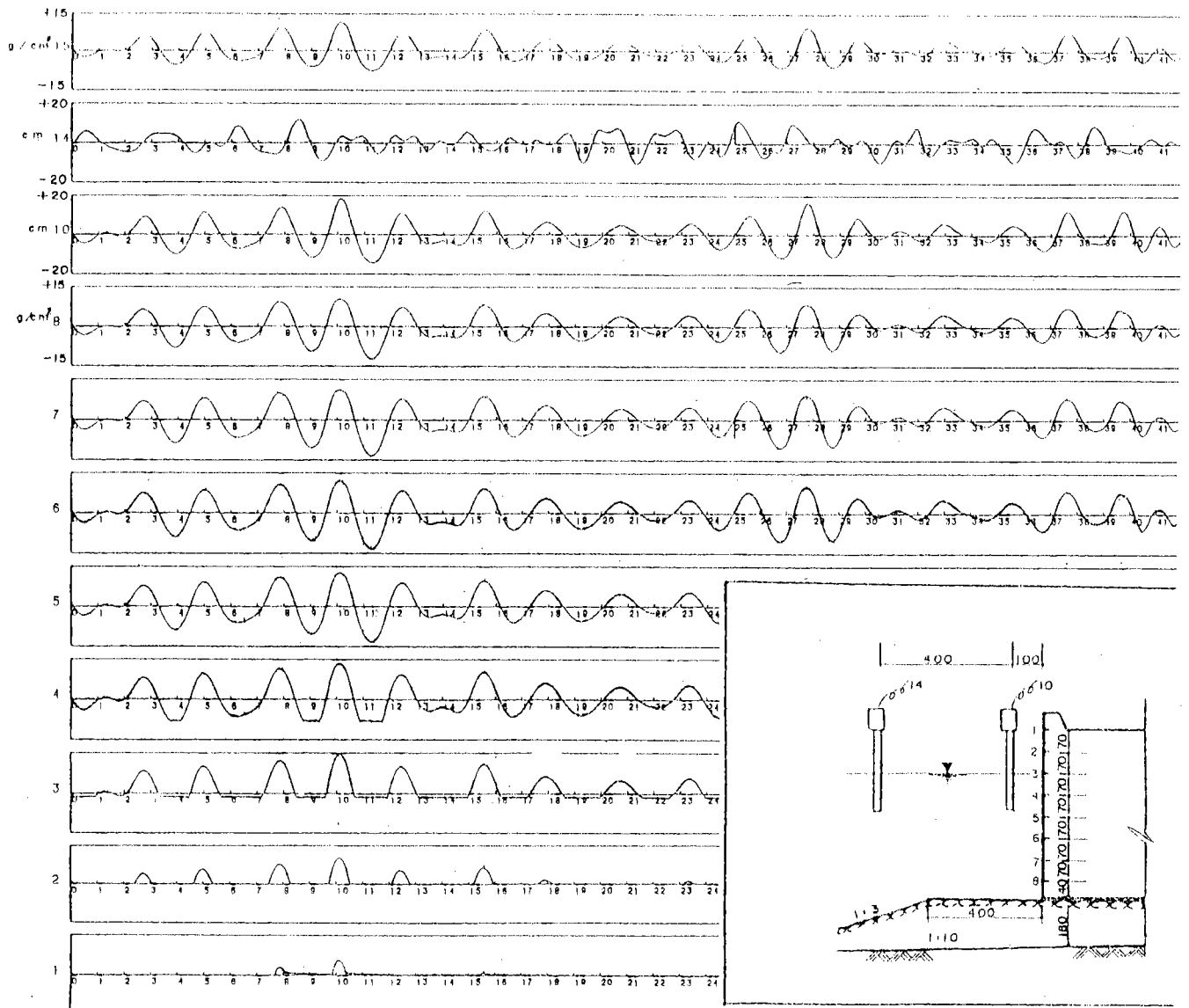


圖 5 — 1 (a) 波壓及波浪試驗延時變化圖

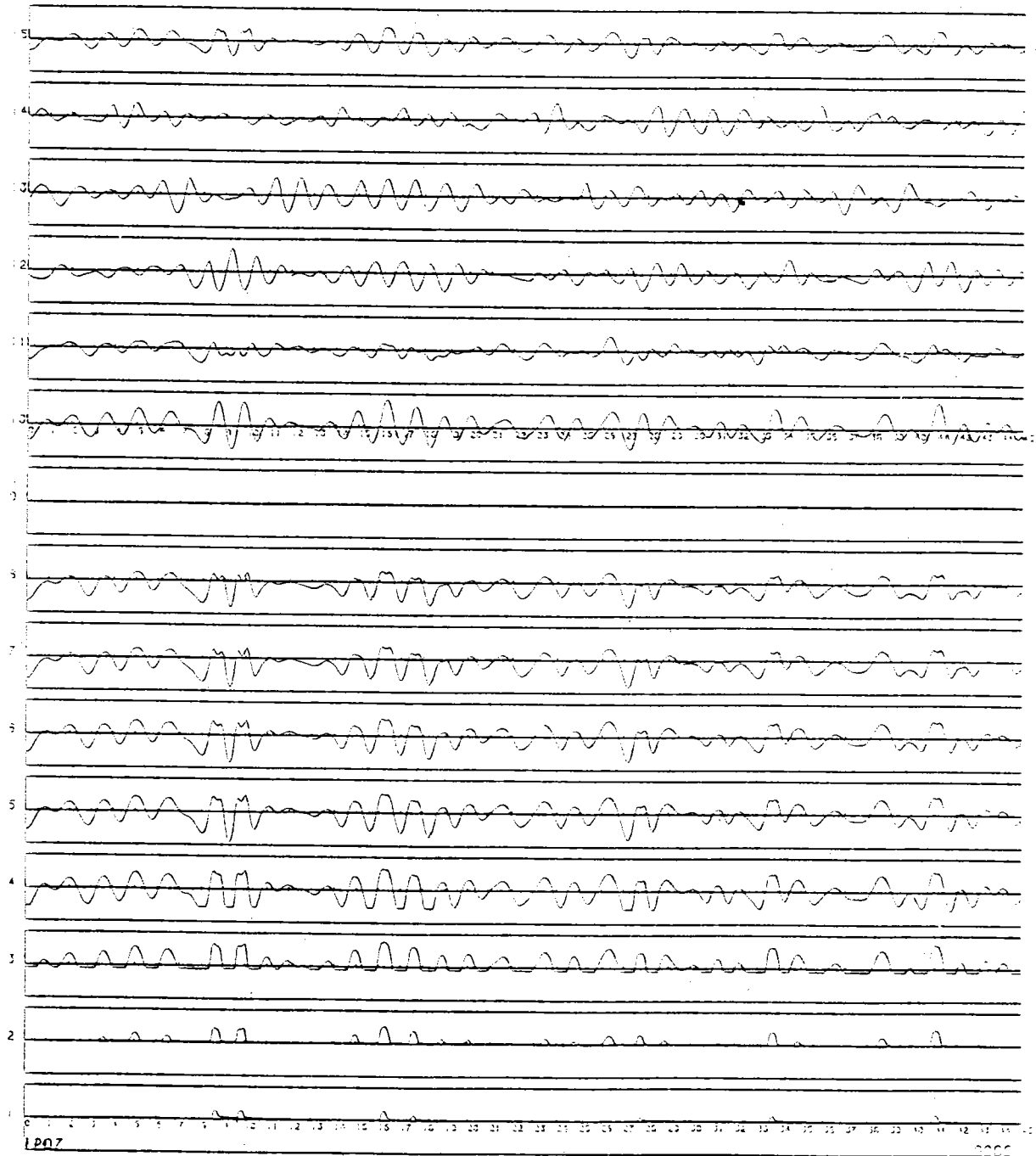


圖 5 — 1 (b) 波壓及波浪試驗延時變化圖

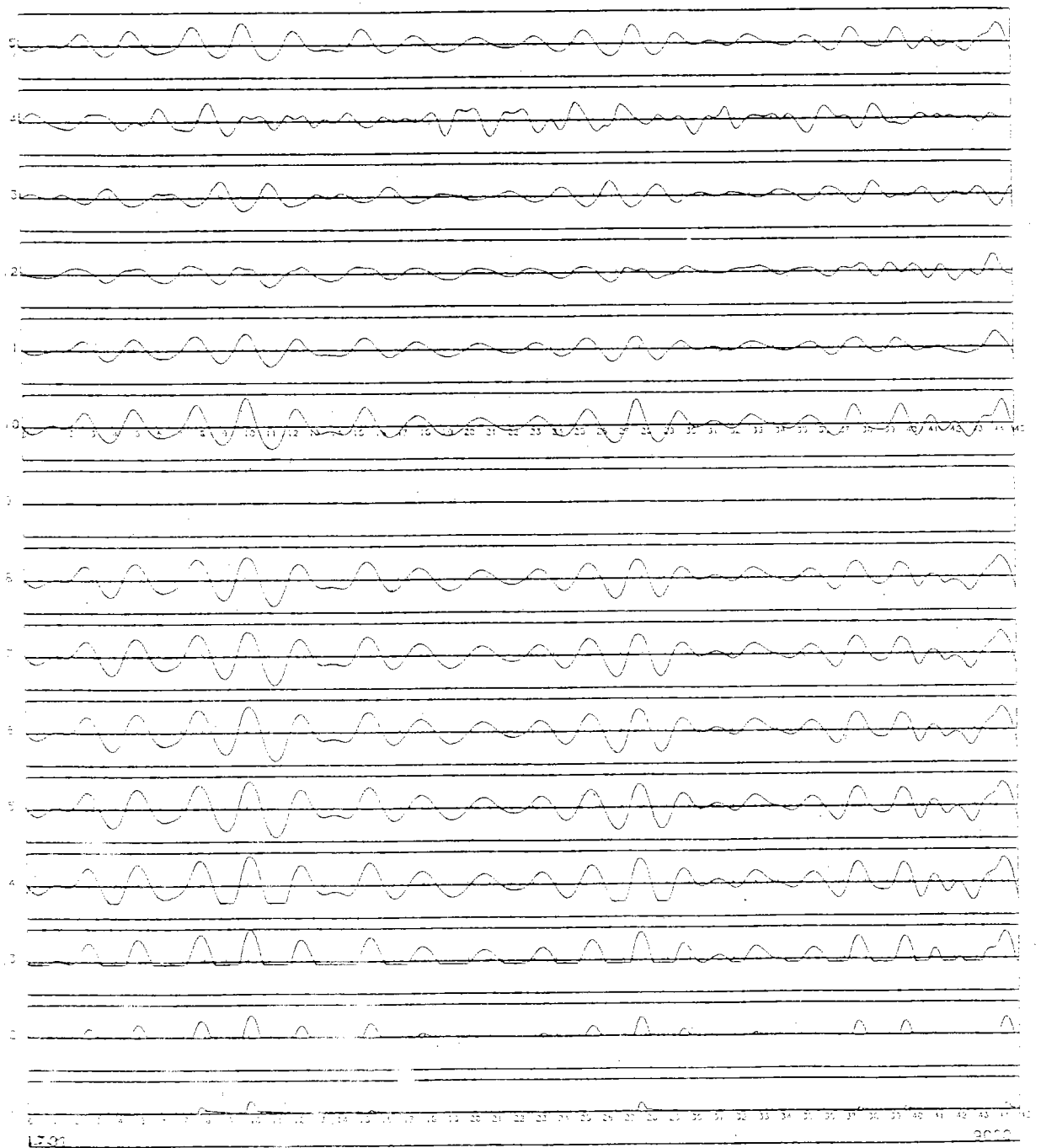


圖 5 - 1 (c) 波壓及波浪試驗延時變化圖

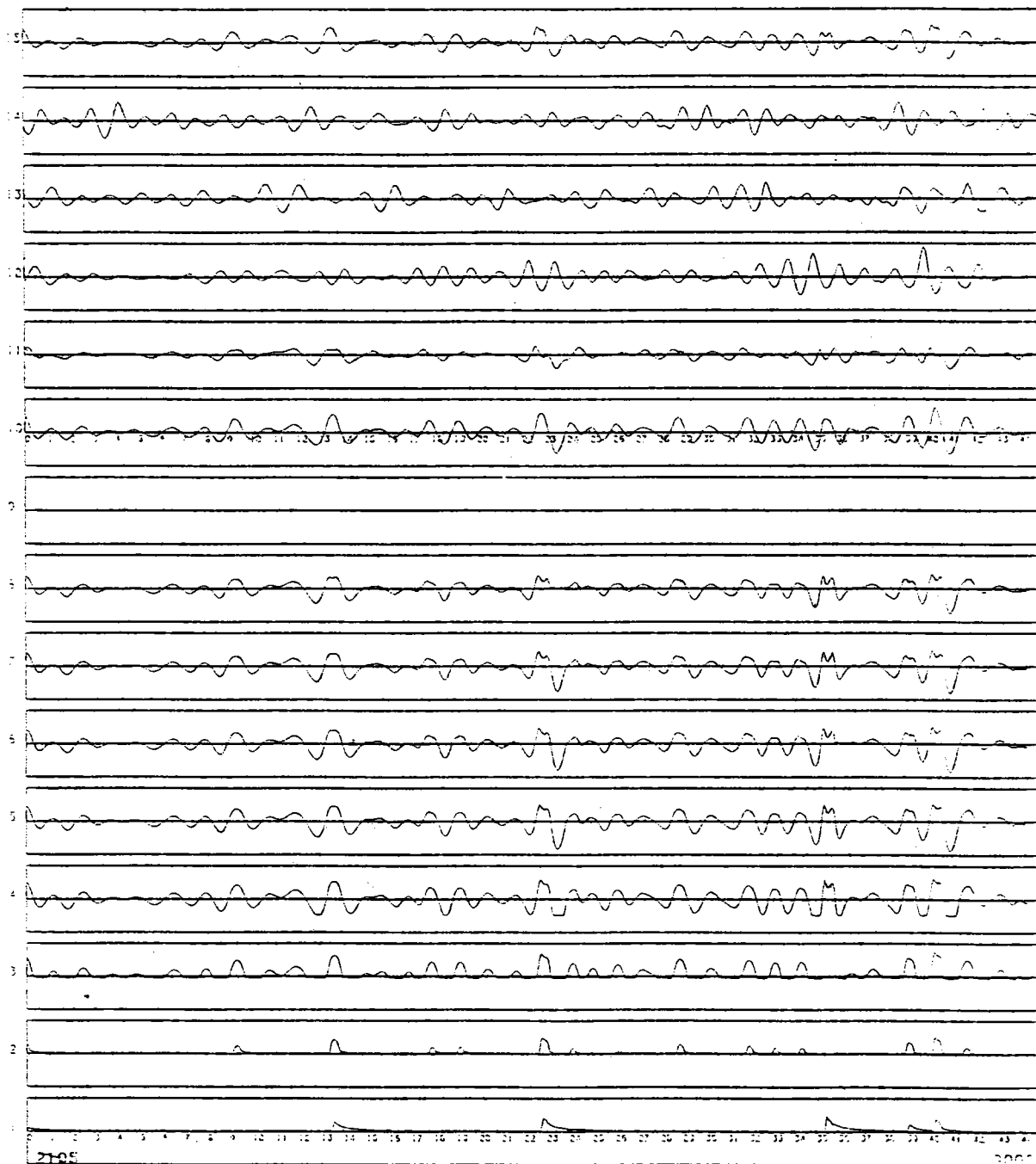


圖 5 - 1 (d) 波壓及波浪試驗延時變化圖

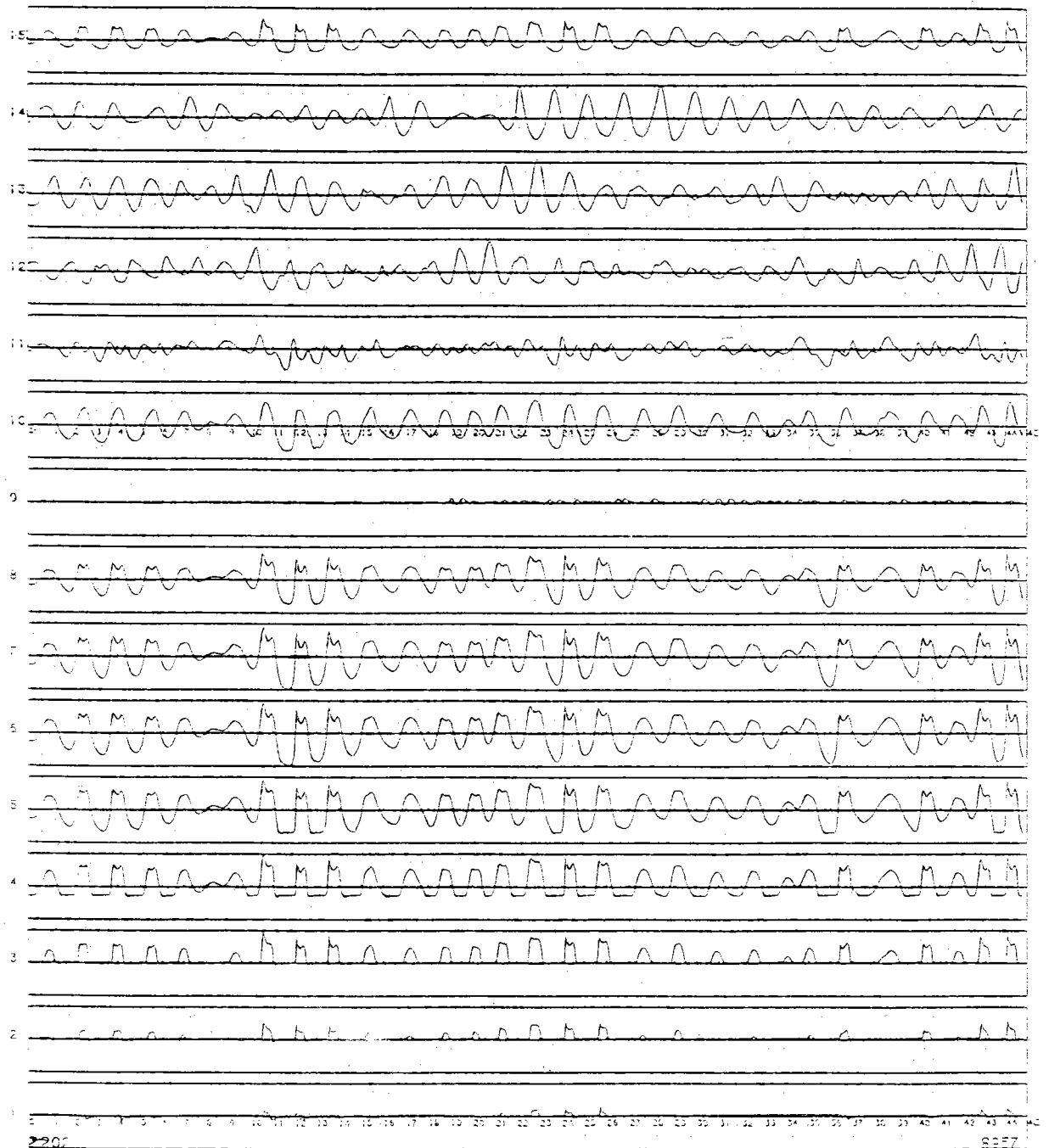


圖 5 - 1 (e) 波壓及波浪試驗延時變化圖

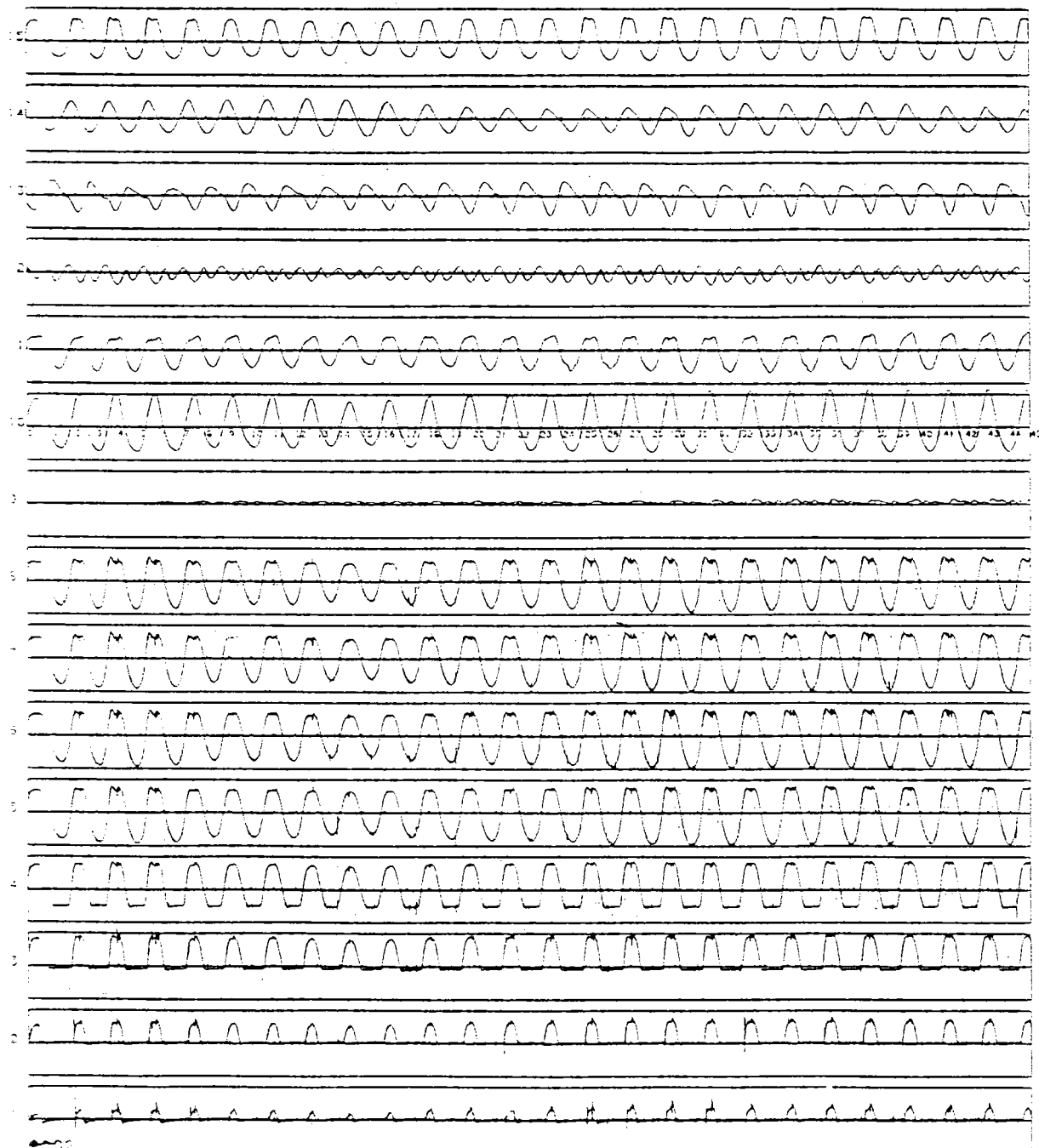


圖 5 - 1 (f) 波壓及波浪試驗延時變化圖

表 5 - 1 波峯及波谷波壓統計表

DOJA1:C1HMT11305.DUTC:1

5-JUN-198

CASE :: 1305

----- CREST AMPLITUDE

CHANNEL	NW	N1/3	T1/3	MAX	1/10	1/3	1/2	9000 MIN
1	5	2	3.49	2.95*****	2.84	2.52	0.94	
2	25	3	2.59	7.12	7.09	6.30	5.91	1.47
3	31	10	1.54	10.00	9.74	9.18	8.81	2.66
4	31	10	1.40	8.41	8.16	7.71	7.45	2.21
5	31	10	1.39	7.41	7.09	6.66	6.41	1.73
6	31	10	1.40	6.39	6.35	5.90	5.68	1.30
7	31	10	1.58	5.70	5.44	4.97	4.74	0.59
8	31	10	1.35	5.21	5.03	4.55	4.34	0.51
9	0*****							
10	31	10	1.43	17.16	16.84	15.00	14.03	4.80
11	30	10	1.76	6.29	6.15	5.05	4.45	1.19
12	25	11	1.30	10.87	10.42	7.97	6.87	0.73
13	31	10	1.34	15.44	15.39	10.29	9.16	0.57
14	32	10	1.41	16.77	15.32	11.36	9.60	1.04
15	31	10	1.76	6.80	5.49	5.36	5.70	1.19

DOJA1:C1HMT11305.DUTT:1

5-JUN-198

CASE :: 1305

----- TROUGH AMPLITUDE

CHANNEL	NW	N1/3	T1/3	MAX	1/10	1/3	1/2	9000 MIN
1	8	2	3.69	1.13*****	1.03	0.90	0.56	
2	25	3	3.69	1.23	0.87	0.53	0.47	0.26
3	31	10	1.54	2.93	2.91	2.89	2.89	2.82
4	31	10	1.40	9.65	9.63	9.53	9.50	2.96
5	31	10	1.39	13.66	13.05	11.26	10.47	2.45
6	31	10	1.40	12.83	12.34	10.64	9.91	2.25
7	31	10	1.58	12.48	12.19	10.51	9.81	2.46
8	31	10	1.35	11.25	11.04	9.54	8.98	1.96
9	0*****							
10	31	10	1.43	13.18	12.70	10.91	10.07	2.03
11	30	10	1.76	8.14	7.95	6.75	6.25	1.44
12	25	11	1.30	10.57	9.59	7.61	6.80	1.31
13	31	10	1.34	11.00	10.21	9.29	8.57	1.76
14	32	10	1.41	11.21	10.54	9.31	7.43	1.49
15	31	10	1.76	8.19	7.97	7.12	6.75	2.04

大十分之一波高  $H_{1/10}$ ，最大三分之一波高  $H_{1/3}$  或  $H_s$  等，平均週期為試驗時間除以波數，波高統計如表 5-2。全部試驗資料統計分析結果如表 5-3。

#### 4. 波浪波壓能譜分析

試驗波浪及波壓能譜分析結果如圖 5-2。尖峯能量週期  $T_p$ ，約為平均週期  $T_z$  之一半。波壓能譜尖峯週期接近波浪尖峯週期。長週期波壓能量所佔比例較長週期波浪顯得大些。

#### (二) 波壓統計特性

試驗所測得之波壓，除水面以上測點為間斷性感應外，水面下測點均隨入射波水位變化。為使不規則波所產生之波壓力時能與波浪統計特性作比較，波壓統計採用波浪統計方法。

##### 1. 波高與波壓力分佈

試驗波高，水面測點波壓力 (Ch. 3)，及垂直斷面平均波壓力之累積超過率如圖 5-3。圖中顯示各種試驗情況，不論波高，水平點波壓及斷面平均波壓，均甚符合理萊分佈 (Rayleigh distribution)。

##### 2. 波壓無因次參數 $p/wH$ 與堤前相對水深 $h/L_0$ 之關係

深水直立式防波堤所受波壓力與入射波高成正比，入射波高是影響波壓最重要之因素。當波峯作用於堤面時，平均水位附近所受靜壓力約為  $wH$ ， $w$  為水之單位體積重量。因此試驗波壓與入射波高所產生之靜水壓之比  $p/wH$  為衡量波壓常用之無因次參數。

##### (1) 水平測點波壓無因次參數 $p/wH$ 與相對水深 $h/L_0$ 之關係

直立式防波堤受波浪作用時，理論上靜水面附近所受波壓力最大。試驗中所得靜水面測點 (Ch. 3) 波壓強度與相對應之波高無因次參數分別為  $p_{1/3}/wH_{1/3}$ ， $p_{1/10}/wH_{1/10}$  及  $p_{max}/wH_{max}$ 。圖 5-4 為  $p/wH$  與  $h/L_0$  之關係。本試驗採用三種水深所得資料顯示在試驗範圍內， $p/wH$  受堤前水深  $h$  影響不顯著。 $p_{1/3}/wH_{1/3}$ ， $p_{1/10}/wH_{1/10}$  及  $p_{max}/wH_{max}$  三者與  $h/L_0$  之關係極為一致。當  $h/L_0 < 0.1$  時， $p/wH$  隨  $h/L_0$  減小而增大；而  $h/L_0 > 0.2$  時， $p/wH$  則隨  $h/L_0$  增加而稍微加大。 $h/L_0$  約為 0.15 時， $p/wH$  之值最低。 $p/wH$  值大多介於 0.7 與 0.9 之間，顯示波峯作用於堤

表 5-2 波高、週期統計表

DJA1:CIHMTJ1305.CUT:1

5-JUN-1987

CASE :: 1305

CHANNEL	NW	N1/3	T1/3	MAX	1/10	----- FULL RANGE -----		
						1/3	1/2	MIN
1	3	2	3.99	3.82*****	3.64	3.34	1.50	
2	25	3	3.69	7.43	7.42	6.72	5.29	1.92
3	21	10	1.94	12.82	12.42	12.05	11.62	5.54
4	31	10	1.40	17.88	17.67	17.14	16.81	5.16
5	31	10	1.39	20.72	20.05	17.54	16.67	4.18
6	31	10	1.40	19.17	18.56	16.20	15.39	3.55
7	31	10	1.58	17.82	17.45	15.13	14.36	3.06
8	31	10	1.35	16.32	15.83	13.77	13.08	2.57
9	0*****	0*****	0*****	0*****	0*****	0*****	0*****	0*****
10	31	10	1.43	30.24	29.01	25.55	23.93	6.83
11	30	10	1.76	13.57	12.53	11.23	10.48	2.68
12	35	11	1.20	20.14	18.69	15.33	13.46	2.58
13	31	10	1.34	25.26	23.70	19.33	17.54	3.27
14	32	10	1.41	23.50	23.86	19.23	16.89	3.03
15	31	10	1.76	14.70	14.27	12.77	12.28	3.23

DJA1:CIHMTJ1606.OUT:1

5-JUN-1987

CASE :: 1606

CHANNEL	NW	N1/3	T1/3	MAX	1/10	----- FULL RANGE -----		
						1/3	1/2	MIN
1	10	3	0.90	11.81	11.81	6.64	7.65	2.31
2	15	5	2.20	15.39	15.39	13.02	12.62	2.81
3	19	5	1.96	21.33	21.33	19.54	19.95	3.46
4	12	5	2.13	26.50	25.50	24.39	24.24	3.83
5	18	5	2.19	32.38	32.38	30.45	28.62	3.05
6	13	5	2.47	33.34	33.24	30.69	28.58	2.63
7	17	5	2.01	32.37	32.37	30.87	29.31	2.25
8	17	5	2.01	31.35	31.35	29.26	27.70	1.85
9	5	2	0.62	3.20*****	3.06	2.99	1.44	
10	19	5	1.90	41.66	41.66	36.25	34.30	4.18
11	14	4	2.57	32.14	32.14	30.12	26.64	3.52
12	15	5	3.04	23.52	23.52	21.01	20.20	4.99
13	21	7	2.59	32.39	30.40	25.63	23.55	2.56
14	20	5	1.25	29.85	29.82	24.48	21.21	1.21
15	16	5	1.88	25.17	25.17	23.31	22.10	2.48

表 5-3(a) 試驗資料分析統計結果

表 5-3(b) 試驗資料分析統計結果

樣本 號	樣本 數 ( $n$ )	平均值 $\bar{x}$		標準差 $s$		樣本 方差 $s^2$		樣本 標準誤 $s_{\bar{x}}$		樣本 置信區間 $\bar{x} \pm s_{\bar{x}}$		樣本 置信範圍 $\bar{x} \pm t s_{\bar{x}}$	
		樣本 均值 ( $\bar{x}_{\text{av}}$ )	樣本 標準差 ( $s_{\text{av}}$ )	樣本 均值 ( $\bar{x}_{\text{av}}$ )	樣本 標準差 ( $s_{\text{av}}$ )	樣本 均值 ( $\bar{x}_{\text{av}}$ )	樣本 標準差 ( $s_{\text{av}}$ )						
1603	75.00	1.51	3.07	6.51	7.39	3.92	6.19	2.33	2.93	1.54	5.55	5.47	
1604	75.00	1.52	3.01	6.51	7.39	3.92	6.19	2.33	2.93	1.54	5.55	5.47	
1605	75.00	1.53	3.02	6.50	7.38	3.91	6.18	2.32	2.92	1.53	5.54	5.46	
1606	75.00	1.54	3.03	6.49	7.37	3.90	6.17	2.31	2.91	1.54	5.53	5.45	
1607	75.00	1.55	3.04	6.48	7.36	3.89	6.16	2.30	2.90	1.55	5.52	5.44	
1608	75.00	1.56	3.05	6.47	7.35	3.88	6.15	2.29	2.89	1.56	5.51	5.43	
1609	75.00	1.57	3.06	6.46	7.34	3.87	6.14	2.28	2.88	1.57	5.50	5.42	
1610	75.00	1.58	3.07	6.45	7.33	3.86	6.13	2.27	2.87	1.58	5.49	5.41	
1611	75.00	1.59	3.08	6.44	7.32	3.85	6.12	2.26	2.86	1.59	5.48	5.40	
1612	75.00	1.60	3.09	6.43	7.31	3.84	6.11	2.25	2.85	1.60	5.47	5.39	
1613	75.00	1.61	3.10	6.42	7.30	3.83	6.10	2.24	2.84	1.61	5.46	5.38	
1614	75.00	1.62	3.11	6.41	7.29	3.82	6.09	2.23	2.83	1.62	5.45	5.37	
1615	75.00	1.63	3.12	6.40	7.28	3.81	6.08	2.22	2.82	1.63	5.44	5.36	
1616	75.00	1.64	3.13	6.39	7.27	3.80	6.07	2.21	2.81	1.64	5.43	5.35	
1617	75.00	1.65	3.14	6.38	7.26	3.79	6.06	2.20	2.80	1.65	5.42	5.34	
1618	75.00	1.66	3.15	6.37	7.25	3.78	6.05	2.19	2.79	1.66	5.41	5.33	
1619	75.00	1.67	3.16	6.36	7.24	3.77	6.04	2.18	2.78	1.67	5.40	5.32	
1620	75.00	1.68	3.17	6.35	7.23	3.76	6.03	2.17	2.77	1.68	5.39	5.31	
1621	75.00	1.69	3.18	6.34	7.22	3.75	6.02	2.16	2.76	1.69	5.38	5.30	
1622	75.00	1.70	3.19	6.33	7.21	3.74	6.01	2.15	2.75	1.70	5.37	5.29	
1623	75.00	1.71	3.20	6.32	7.20	3.73	6.00	2.14	2.74	1.71	5.36	5.28	
1624	75.00	1.72	3.21	6.31	7.19	3.72	5.99	2.13	2.73	1.72	5.35	5.27	
1625	75.00	1.73	3.22	6.30	7.18	3.71	5.98	2.12	2.72	1.73	5.34	5.26	
1626	75.00	1.74	3.23	6.29	7.17	3.70	5.97	2.11	2.71	1.74	5.33	5.25	
1627	75.00	1.75	3.24	6.28	7.16	3.69	5.96	2.10	2.70	1.75	5.32	5.24	
1628	75.00	1.76	3.25	6.27	7.15	3.68	5.95	2.09	2.69	1.76	5.31	5.23	
1629	75.00	1.77	3.26	6.26	7.14	3.67	5.94	2.08	2.68	1.77	5.30	5.22	
1630	75.00	1.78	3.27	6.25	7.13	3.66	5.93	2.07	2.67	1.78	5.29	5.21	
1631	75.00	1.79	3.28	6.24	7.12	3.65	5.92	2.06	2.66	1.79	5.28	5.20	
1632	75.00	1.80	3.29	6.23	7.11	3.64	5.91	2.05	2.65	1.80	5.27	5.19	
1633	75.00	1.81	3.30	6.22	7.10	3.63	5.90	2.04	2.64	1.81	5.26	5.18	
1634	75.00	1.82	3.31	6.21	7.09	3.62	5.89	2.03	2.63	1.82	5.25	5.17	
1635	75.00	1.83	3.32	6.20	7.08	3.61	5.88	2.02	2.62	1.83	5.24	5.16	
1636	75.00	1.84	3.33	6.19	7.07	3.60	5.87	2.01	2.61	1.84	5.23	5.15	
1637	75.00	1.85	3.34	6.18	7.06	3.59	5.86	2.00	2.60	1.85	5.22	5.14	
1638	75.00	1.86	3.35	6.17	7.05	3.58	5.85	1.99	2.59	1.86	5.21	5.13	
1639	75.00	1.87	3.36	6.16	7.04	3.57	5.84	1.98	2.58	1.87	5.20	5.12	
1640	75.00	1.88	3.37	6.15	7.03	3.56	5.83	1.97	2.57	1.88	5.19	5.11	
1641	75.00	1.89	3.38	6.14	7.02	3.55	5.82	1.96	2.56	1.89	5.18	5.10	
1642	75.00	1.90	3.39	6.13	7.01	3.54	5.81	1.95	2.55	1.90	5.17	5.09	
1643	75.00	1.91	3.40	6.12	7.00	3.53	5.80	1.94	2.54	1.91	5.16	5.08	
1644	75.00	1.92	3.41	6.11	6.99	3.52	5.79	1.93	2.53	1.92	5.15	5.07	
1645	75.00	1.93	3.42	6.10	6.98	3.51	5.78	1.92	2.52	1.93	5.14	5.06	
1646	75.00	1.94	3.43	6.09	6.97	3.50	5.77	1.91	2.51	1.94	5.13	5.05	
1647	75.00	1.95	3.44	6.08	6.96	3.49	5.76	1.90	2.50	1.95	5.12	5.04	
1648	75.00	1.96	3.45	6.07	6.95	3.48	5.75	1.89	2.49	1.96	5.11	5.03	
1649	75.00	1.97	3.46	6.06	6.94	3.47	5.74	1.88	2.48	1.97	5.10	5.02	
1650	75.00	1.98	3.47	6.05	6.93	3.46	5.73	1.87	2.47	1.98	5.09	5.01	
1651	75.00	1.99	3.48	6.04	6.92	3.45	5.72	1.86	2.46	1.99	5.08	5.00	
1652	75.00	2.00	3.49	6.03	6.91	3.44	5.71	1.85	2.45	2.00	5.07	4.99	
1653	75.00	2.01	3.50	6.02	6.90	3.43	5.70	1.84	2.44	2.01	5.06	4.98	
1654	75.00	2.02	3.51	6.01	6.89	3.42	5.69	1.83	2.43	2.02	5.05	4.97	
1655	75.00	2.03	3.52	6.00	6.88	3.41	5.68	1.82	2.42	2.03	5.04	4.96	
1656	75.00	2.04	3.53	5.99	6.87	3.40	5.67	1.81	2.41	2.04	5.03	4.95	
1657	75.00	2.05	3.54	5.98	6.86	3.39	5.66	1.80	2.40	2.05	5.02	4.94	
1658	75.00	2.06	3.55	5.97	6.85	3.38	5.65	1.79	2.39	2.06	5.01	4.93	
1659	75.00	2.07	3.56	5.96	6.84	3.37	5.64	1.78	2.38	2.07	5.00	4.92	
1660	75.00	2.08	3.57	5.95	6.83	3.36	5.63	1.77	2.37	2.08	4.99	4.91	
1661	75.00	2.09	3.58	5.94	6.82	3.35	5.62	1.76	2.36	2.09	4.98	4.90	
1662	75.00	2.10	3.59	5.93	6.81	3.34	5.61	1.75	2.35	2.10	4.97	4.89	
1663	75.00	2.11	3.60	5.92	6.80	3.33	5.60	1.74	2.34	2.11	4.96	4.88	
1664	75.00	2.12	3.61	5.91	6.79	3.32	5.59	1.73	2.33	2.12	4.95	4.87	
1665	75.00	2.13	3.62	5.90	6.78	3.31	5.58	1.72	2.32	2.13	4.94	4.86	
1666	75.00	2.14	3.63	5.89	6.77	3.30	5.57	1.71	2.31	2.14	4.93	4.85	
1667	75.00	2.15	3.64	5.88	6.76	3.29	5.56	1.70	2.30	2.15	4.92	4.84	
1668	75.00	2.16	3.65	5.87	6.75	3.28	5.55	1.69	2.29	2.16	4.91	4.83	
1669	75.00	2.17	3.66	5.86	6.74	3.27	5.54	1.68	2.28	2.17	4.90	4.82	
1670	75.00	2.18	3.67	5.85	6.73	3.26	5.53	1.67	2.27	2.18	4.89	4.81	
1671	75.00	2.19	3.68	5.84	6.72	3.25	5.52	1.66	2.26	2.19	4.88	4.80	
1672	75.00	2.20	3.69	5.83	6.71	3.24	5.51	1.65	2.25	2.20	4.87	4.79	
1673	75.00	2.21	3.70	5.82	6.70	3.23	5.50	1.64	2.24	2.21	4.86	4.78	
1674	75.00	2.22	3.71	5.81	6.69	3.22	5.49	1.63	2.23	2.22	4.85	4.77	
1675	75.00	2.23	3.72	5.80	6.68	3.21	5.48	1.62	2.22	2.23	4.84	4.76	
1676	75.00	2.24	3.73	5.79	6.67	3.20	5.47	1.61	2.21	2.24	4.83	4.75	
1677	75.00	2.25	3.74	5.78	6.66	3.19	5.46	1.60	2.20	2.25	4.82	4.74	
1678	75.00	2.26	3.75	5.77	6.65	3.18	5.45	1.59	2.19	2.26	4.81	4.73	
1679	75.00	2.27	3.76	5.76	6.64	3.17	5.44	1.58	2.18	2.27	4.80	4.72	
1680	75.00	2.28	3.77	5.75	6.63	3.16	5.43	1.57	2.17	2.28	4.79	4.71	
1681	75.00	2.29	3.78	5.74	6.62	3.15	5.42	1.56	2.16	2.29	4.78	4.70	
1682	75.00	2.30	3.79	5.73	6.61	3.14	5.41	1.55	2.15	2.30	4.77	4.69	
1683	75.00	2.											

表 5-3(c) 試驗資料統計分析結果

EQUILIBRIUM PARTITION COEFFICIENTS									
CASE NO.	WATER CONC. (M)	CH <sub>3</sub> C <sub>6</sub> H <sub>5</sub> CO <sub>2</sub> CONC. (M)	CH <sub>3</sub> C <sub>6</sub> H <sub>5</sub> CO <sub>2</sub> PART. (%)	CH <sub>3</sub> C <sub>6</sub> H <sub>5</sub> CO <sub>2</sub> PART. (%)	WATER CONC. (M)	CH <sub>3</sub> C <sub>6</sub> H <sub>5</sub> CO <sub>2</sub> CONC. (M)	CH <sub>3</sub> C <sub>6</sub> H <sub>5</sub> CO <sub>2</sub> PART. (%)	CH <sub>3</sub> C <sub>6</sub> H <sub>5</sub> CO <sub>2</sub> PART. (%)	EQUILIBRIUM PARTITION COEFFICIENT
1.00	1.00	1.00	1.00	1.00	1.00	1.00	1.00	1.00	1.00
2.00	0.50	1.00	1.00	1.00	0.50	1.00	1.00	1.00	0.50
3.00	0.33	1.00	1.00	1.00	0.33	1.00	1.00	1.00	0.33
4.00	0.25	1.00	1.00	1.00	0.25	1.00	1.00	1.00	0.25
5.00	0.20	1.00	1.00	1.00	0.20	1.00	1.00	1.00	0.20
6.00	0.17	1.00	1.00	1.00	0.17	1.00	1.00	1.00	0.17
7.00	0.14	1.00	1.00	1.00	0.14	1.00	1.00	1.00	0.14
8.00	0.12	1.00	1.00	1.00	0.12	1.00	1.00	1.00	0.12
9.00	0.10	1.00	1.00	1.00	0.10	1.00	1.00	1.00	0.10
10.00	0.08	1.00	1.00	1.00	0.08	1.00	1.00	1.00	0.08
11.00	0.07	1.00	1.00	1.00	0.07	1.00	1.00	1.00	0.07
12.00	0.06	1.00	1.00	1.00	0.06	1.00	1.00	1.00	0.06
13.00	0.05	1.00	1.00	1.00	0.05	1.00	1.00	1.00	0.05
14.00	0.04	1.00	1.00	1.00	0.04	1.00	1.00	1.00	0.04
15.00	0.03	1.00	1.00	1.00	0.03	1.00	1.00	1.00	0.03
16.00	0.02	1.00	1.00	1.00	0.02	1.00	1.00	1.00	0.02
17.00	0.01	1.00	1.00	1.00	0.01	1.00	1.00	1.00	0.01
18.00	0.00	1.00	1.00	1.00	0.00	1.00	1.00	1.00	0.00
19.00	0.00	0.99	1.00	1.00	0.00	0.99	1.00	1.00	0.00
20.00	0.00	0.98	1.00	1.00	0.00	0.98	1.00	1.00	0.00
21.00	0.00	0.97	1.00	1.00	0.00	0.97	1.00	1.00	0.00
22.00	0.00	0.96	1.00	1.00	0.00	0.96	1.00	1.00	0.00
23.00	0.00	0.95	1.00	1.00	0.00	0.95	1.00	1.00	0.00
24.00	0.00	0.94	1.00	1.00	0.00	0.94	1.00	1.00	0.00
25.00	0.00	0.93	1.00	1.00	0.00	0.93	1.00	1.00	0.00
26.00	0.00	0.92	1.00	1.00	0.00	0.92	1.00	1.00	0.00
27.00	0.00	0.91	1.00	1.00	0.00	0.91	1.00	1.00	0.00
28.00	0.00	0.90	1.00	1.00	0.00	0.90	1.00	1.00	0.00
29.00	0.00	0.89	1.00	1.00	0.00	0.89	1.00	1.00	0.00
30.00	0.00	0.88	1.00	1.00	0.00	0.88	1.00	1.00	0.00
31.00	0.00	0.87	1.00	1.00	0.00	0.87	1.00	1.00	0.00
32.00	0.00	0.86	1.00	1.00	0.00	0.86	1.00	1.00	0.00
33.00	0.00	0.85	1.00	1.00	0.00	0.85	1.00	1.00	0.00
34.00	0.00	0.84	1.00	1.00	0.00	0.84	1.00	1.00	0.00
35.00	0.00	0.83	1.00	1.00	0.00	0.83	1.00	1.00	0.00
36.00	0.00	0.82	1.00	1.00	0.00	0.82	1.00	1.00	0.00
37.00	0.00	0.81	1.00	1.00	0.00	0.81	1.00	1.00	0.00
38.00	0.00	0.80	1.00	1.00	0.00	0.80	1.00	1.00	0.00
39.00	0.00	0.79	1.00	1.00	0.00	0.79	1.00	1.00	0.00
40.00	0.00	0.78	1.00	1.00	0.00	0.78	1.00	1.00	0.00
41.00	0.00	0.77	1.00	1.00	0.00	0.77	1.00	1.00	0.00
42.00	0.00	0.76	1.00	1.00	0.00	0.76	1.00	1.00	0.00
43.00	0.00	0.75	1.00	1.00	0.00	0.75	1.00	1.00	0.00
44.00	0.00	0.74	1.00	1.00	0.00	0.74	1.00	1.00	0.00
45.00	0.00	0.73	1.00	1.00	0.00	0.73	1.00	1.00	0.00
46.00	0.00	0.72	1.00	1.00	0.00	0.72	1.00	1.00	0.00
47.00	0.00	0.71	1.00	1.00	0.00	0.71	1.00	1.00	0.00
48.00	0.00	0.70	1.00	1.00	0.00	0.70	1.00	1.00	0.00
49.00	0.00	0.69	1.00	1.00	0.00	0.69	1.00	1.00	0.00
50.00	0.00	0.68	1.00	1.00	0.00	0.68	1.00	1.00	0.00
51.00	0.00	0.67	1.00	1.00	0.00	0.67	1.00	1.00	0.00
52.00	0.00	0.66	1.00	1.00	0.00	0.66	1.00	1.00	0.00
53.00	0.00	0.65	1.00	1.00	0.00	0.65	1.00	1.00	0.00
54.00	0.00	0.64	1.00	1.00	0.00	0.64	1.00	1.00	0.00
55.00	0.00	0.63	1.00	1.00	0.00	0.63	1.00	1.00	0.00
56.00	0.00	0.62	1.00	1.00	0.00	0.62	1.00	1.00	0.00
57.00	0.00	0.61	1.00	1.00	0.00	0.61	1.00	1.00	0.00
58.00	0.00	0.60	1.00	1.00	0.00	0.60	1.00	1.00	0.00
59.00	0.00	0.59	1.00	1.00	0.00	0.59	1.00	1.00	0.00
60.00	0.00	0.58	1.00	1.00	0.00	0.58	1.00	1.00	0.00
61.00	0.00	0.57	1.00	1.00	0.00	0.57	1.00	1.00	0.00
62.00	0.00	0.56	1.00	1.00	0.00	0.56	1.00	1.00	0.00
63.00	0.00	0.55	1.00	1.00	0.00	0.55	1.00	1.00	0.00
64.00	0.00	0.54	1.00	1.00	0.00	0.54	1.00	1.00	0.00
65.00	0.00	0.53	1.00	1.00	0.00	0.53	1.00	1.00	0.00
66.00	0.00	0.52	1.00	1.00	0.00	0.52	1.00	1.00	0.00
67.00	0.00	0.51	1.00	1.00	0.00	0.51	1.00	1.00	0.00
68.00	0.00	0.50	1.00	1.00	0.00	0.50	1.00	1.00	0.00
69.00	0.00	0.49	1.00	1.00	0.00	0.49	1.00	1.00	0.00
70.00	0.00	0.48	1.00	1.00	0.00	0.48	1.00	1.00	0.00
71.00	0.00	0.47	1.00	1.00	0.00	0.47	1.00	1.00	0.00
72.00	0.00	0.46	1.00	1.00	0.00	0.46	1.00	1.00	0.00
73.00	0.00	0.45	1.00	1.00	0.00	0.45	1.00	1.00	0.00
74.00	0.00	0.44	1.00	1.00	0.00	0.44	1.00	1.00	0.00
75.00	0.00	0.43	1.00	1.00	0.00	0.43	1.00	1.00	0.00
76.00	0.00	0.42	1.00	1.00	0.00	0.42	1.00	1.00	0.00
77.00	0.00	0.41	1.00	1.00	0.00	0.41	1.00	1.00	0.00
78.00	0.00	0.40	1.00	1.00	0.00	0.40	1.00	1.00	0.00
79.00	0.00	0.39	1.00	1.00	0.00	0.39	1.00	1.00	0.00
80.00	0.00	0.38	1.00	1.00	0.00	0.38	1.00	1.00	0.00
81.00	0.00	0.37	1.00	1.00	0.00	0.37	1.00	1.00	0.00
82.00	0.00	0.36	1.00	1.00	0.00	0.36	1.00	1.00	0.00
83.00	0.00	0.35	1.00	1.00	0.00	0.35	1.00	1.00	0.00
84.00	0.00	0.34	1.00	1.00	0.00	0.34	1.00	1.00	0.00
85.00	0.00	0.33	1.00	1.00	0.00	0.33	1.00	1.00	0.00
86.00	0.00	0.32	1.00	1.00	0.00	0.32	1.00	1.00	0.00
87.00	0.00	0.31	1.00	1.00	0.00	0.31	1.00	1.00	0.00
88.00	0.00	0.30	1.00	1.00	0.00	0.30	1.00	1.00	0.00
89.00	0.00	0.29	1.00	1.00	0.00	0.29	1.00	1.00	0.00
90.00	0.00	0.28	1.00	1.00	0.00	0.28	1.00	1.00	0.00
91.00	0.00	0.27	1.00	1.00	0.00	0.27	1.00	1.00	0.00
92.00	0.00	0.26	1.00	1.00	0.00	0.26	1.00	1.00	0.00
93.00	0.00	0.25	1.00	1.00	0.00	0.25	1.00	1.00	0.00
94.00	0.00	0.24	1.00	1.00	0.00	0.24	1.00	1.00	0.00
95.00	0.00	0.23	1.00	1.00	0.00	0.23	1.00	1.00	0.00
96.00	0.00	0.22	1.00	1.00	0.00	0.22	1.00	1.00	0.00
97.00	0.00	0.21	1.00	1.00	0.00	0.21	1.00	1.00	0.00
98.00	0.00	0.20	1.00	1.00	0.00	0.20	1.00	1.00	0.00
99.00	0.00	0.19	1.00	1.00	0.00	0.19	1.00	1.00	0.00
100.00	0.00	0.18	1.00	1.00	0.00	0.18	1.00	1.00	0.00
101.00	0.00	0.17	1.00	1.00	0.00	0.17	1.00	1.00	0.00
102.00	0.00	0.16	1.00	1.00	0.00	0.16	1.00	1.00	0.00
103.00	0.00	0.15	1.00	1.00	0.00	0.15	1.00	1.00	0.00
104.00	0.00	0.14	1.00	1.00	0.00	0.14	1.00	1.00	0.00
105.00	0.00	0.13	1.00	1.00	0.00	0.13	1.00	1.00	0.00
106.00	0.00	0.12	1.00	1.00	0.00	0.12	1.00	1.00	0.00
107.00	0.00	0.11	1.00	1.00	0.00	0.11	1.00	1.00	0.00
108.00	0.00	0.10	1.00	1.00	0.00	0.10	1.00	1.00	0.00
109.00	0.00	0.09	1.00	1.00	0.00	0.09	1.00	1.00	0.00
110.00	0.00	0.08	1.00	1.00	0.00	0.08	1.00	1.00	0.00
111.00	0.00	0.07	1.00	1.00	0.00	0.07	1.00	1.00	0.00
112.00	0.00	0.06	1.00	1.00	0.00	0.06	1.00	1.00	0.00
113.00	0.00	0.05	1.00	1.00	0.00	0.05	1.00	1.00	0.00
114.00	0.00	0.04	1.00	1.00	0.00	0.04	1.00	1.00	0.00
115.00	0.00	0.03	1.00	1.00	0.00	0.03	1.00	1.00	0.00
116.00	0.00	0.02	1.00	1.00	0.00	0.02	1.00	1.00	0.00
117.00	0.00	0.01	1.00	1.00	0.00	0.01	1.00	1.00	0.00
118.00	0.00	0.00	1.00	1.00	0.00	0.00	1.00	1.00	0.00
119.00	0.00	-0.01	1.00	1.00	0.00	-0.01	1.00	1.00	0.00
120.00	0.00	-0.02	1.00	1.00	0.00	-0.02			

表 5-3(d) 試驗資料統計分析結果

### 表 5-3(e) 試驗資料分析統計結果

卷之三

۱۰ : ۲۷ دی - ۱۳۹۷

表 5-3(f) 試驗資料分析統計結果

CASE No.	Lu (cm)	Lz (cm)	MSD	PS/S	P1C/W10	P1A/W10	PS/W10	PSF/KPS	P1U/W10	P1U/KPS	P10/W10	P10/KPS	H1U/W10	H1U/KPS	H10/W10	H10/KPS	7-JUL-1957 16:10			
																	PSF/KPS	P1U/W10	P1U/KPS	H1U/W10
1602	0.24	0.07	0.31	0.34	0.77	0.45	0.45	0.45	0.23	1.23	1.30	1.30	1.30	1.30	1.30	1.30	1.30	1.30	1.30	1.30
1604	0.27	0.59	0.32	0.36	0.36	0.54	0.48	0.48	0.46	2.13	2.45	2.61	2.61	2.61	2.61	2.61	2.61	2.61	2.61	2.61
1606	0.28	0.11	0.15	0.78	0.73	0.59	0.51	0.47	1.26	1.25	1.44	1.44	1.44	1.44	1.44	1.44	1.44	1.44	1.44	1.44
1701	0.15	1.01	1.01	0.51	0.52	0.79	0.79	0.75	1.22	1.22	1.22	1.22	1.22	1.22	1.22	1.22	1.22	1.22	1.22	1.22
1702	0.15	0.22	0.22	0.50	0.50	0.72	0.72	0.72	1.23	1.23	1.24	1.24	1.24	1.24	1.24	1.24	1.24	1.24	1.24	1.24
1704	0.15	0.23	0.23	0.50	0.50	0.75	0.74	0.74	1.14	1.14	1.14	1.14	1.14	1.14	1.14	1.14	1.14	1.14	1.14	1.14
1801	0.05	0.97	0.05	0.95	0.92	0.52	0.57	0.55	1.27	1.27	1.27	1.27	1.27	1.27	1.27	1.27	1.27	1.27	1.27	1.27
1802	0.05	0.07	0.07	0.10	0.01	0.01	0.79	0.79	1.31	1.31	1.31	1.31	1.31	1.31	1.31	1.31	1.31	1.31	1.31	1.31
1803	0.05	0.07	0.02	0.15	0.01	0.01	0.79	0.79	1.32	1.32	1.32	1.32	1.32	1.32	1.32	1.32	1.32	1.32	1.32	1.32
1804	0.05	0.02	0.02	0.15	0.01	0.01	0.79	0.79	1.30	1.30	1.30	1.30	1.30	1.30	1.30	1.30	1.30	1.30	1.30	1.30
1805	0.05	0.02	0.02	0.15	0.01	0.01	0.79	0.79	1.22	1.22	1.22	1.22	1.22	1.22	1.22	1.22	1.22	1.22	1.22	1.22
1806	0.05	0.02	0.02	0.15	0.01	0.01	0.79	0.79	1.22	1.22	1.22	1.22	1.22	1.22	1.22	1.22	1.22	1.22	1.22	1.22
1807	0.05	0.02	0.02	0.15	0.01	0.01	0.79	0.79	1.22	1.22	1.22	1.22	1.22	1.22	1.22	1.22	1.22	1.22	1.22	1.22
1901	0.05	0.07	0.03	1.12	1.15	0.80	0.80	0.81	1.11	1.11	1.11	1.11	1.11	1.11	1.11	1.11	1.11	1.11	1.11	1.11
1902	0.05	0.07	0.06	0.98	0.91	0.91	0.75	0.75	1.23	1.23	1.23	1.23	1.23	1.23	1.23	1.23	1.23	1.23	1.23	1.23
1903	0.05	0.06	0.12	1.09	1.21	1.21	0.83	0.83	1.00	1.00	1.00	1.00	1.00	1.00	1.00	1.00	1.00	1.00	1.00	1.00
1904	0.05	0.06	0.06	0.20	0.35	0.35	0.79	0.79	1.15	1.15	1.15	1.15	1.15	1.15	1.15	1.15	1.15	1.15	1.15	1.15
1905	0.05	0.06	0.06	0.20	0.35	0.35	0.79	0.79	1.15	1.15	1.15	1.15	1.15	1.15	1.15	1.15	1.15	1.15	1.15	1.15
1906	0.05	0.06	0.06	0.20	0.35	0.35	0.79	0.79	1.15	1.15	1.15	1.15	1.15	1.15	1.15	1.15	1.15	1.15	1.15	1.15
1907	0.05	0.06	0.06	0.20	0.35	0.35	0.79	0.79	1.15	1.15	1.15	1.15	1.15	1.15	1.15	1.15	1.15	1.15	1.15	1.15
2001	0.05	0.25	0.04	1.24	1.17	1.14	0.54	0.54	1.10	1.10	1.10	1.10	1.10	1.10	1.10	1.10	1.10	1.10	1.10	1.10
2101	0.05	0.25	0.03	0.98	0.98	0.98	0.51	0.51	1.20	1.20	1.20	1.20	1.20	1.20	1.20	1.20	1.20	1.20	1.20	1.20
2102	0.05	0.25	0.03	0.98	0.98	0.98	0.51	0.51	1.29	1.29	1.29	1.29	1.29	1.29	1.29	1.29	1.29	1.29	1.29	1.29
2103	0.05	0.25	0.03	0.98	0.98	0.98	0.51	0.51	1.26	1.26	1.26	1.26	1.26	1.26	1.26	1.26	1.26	1.26	1.26	1.26
2104	0.05	0.25	0.13	0.22	0.22	0.65	0.77	0.77	1.17	1.17	1.17	1.17	1.17	1.17	1.17	1.17	1.17	1.17	1.17	1.17
2105	0.05	0.24	0.20	0.15	0.36	0.36	0.77	0.77	1.25	1.25	1.25	1.25	1.25	1.25	1.25	1.25	1.25	1.25	1.25	1.25
2201	0.05	0.23	0.23	0.16	0.37	0.37	0.69	0.69	1.19	1.19	1.19	1.19	1.19	1.19	1.19	1.19	1.19	1.19	1.19	1.19
2202	0.05	0.23	0.23	0.16	0.37	0.37	0.69	0.69	1.22	1.22	1.22	1.22	1.22	1.22	1.22	1.22	1.22	1.22	1.22	1.22
2301	0.05	0.23	0.17	0.19	0.21	0.21	0.79	0.79	1.47	1.47	1.47	1.47	1.47	1.47	1.47	1.47	1.47	1.47	1.47	1.47
2302	0.05	0.23	0.15	0.15	0.15	0.15	0.69	0.69	1.26	1.26	1.26	1.26	1.26	1.26	1.26	1.26	1.26	1.26	1.26	1.26

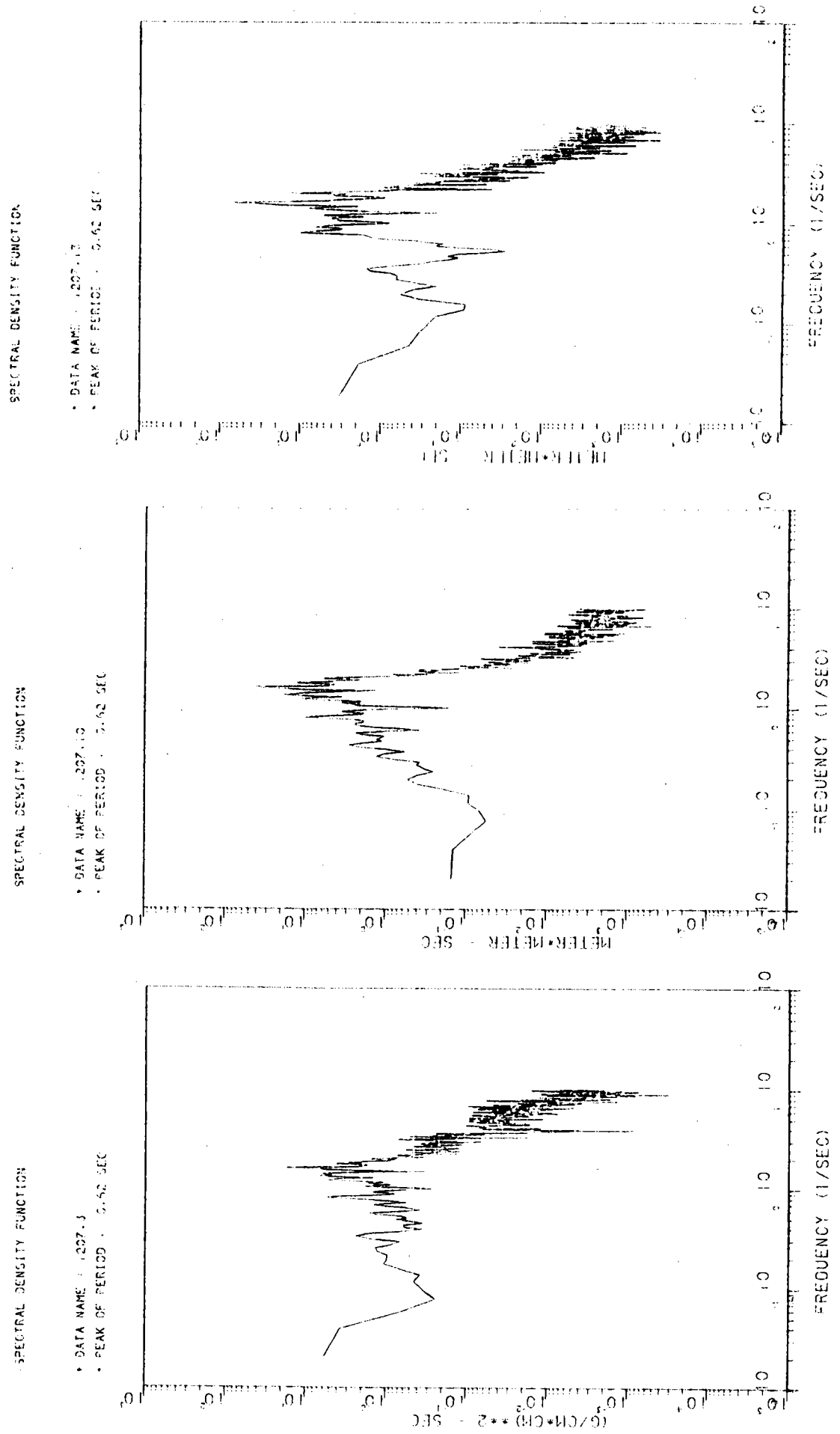


圖 5 — 2 (a) 波浪及波壓能譜分析圖

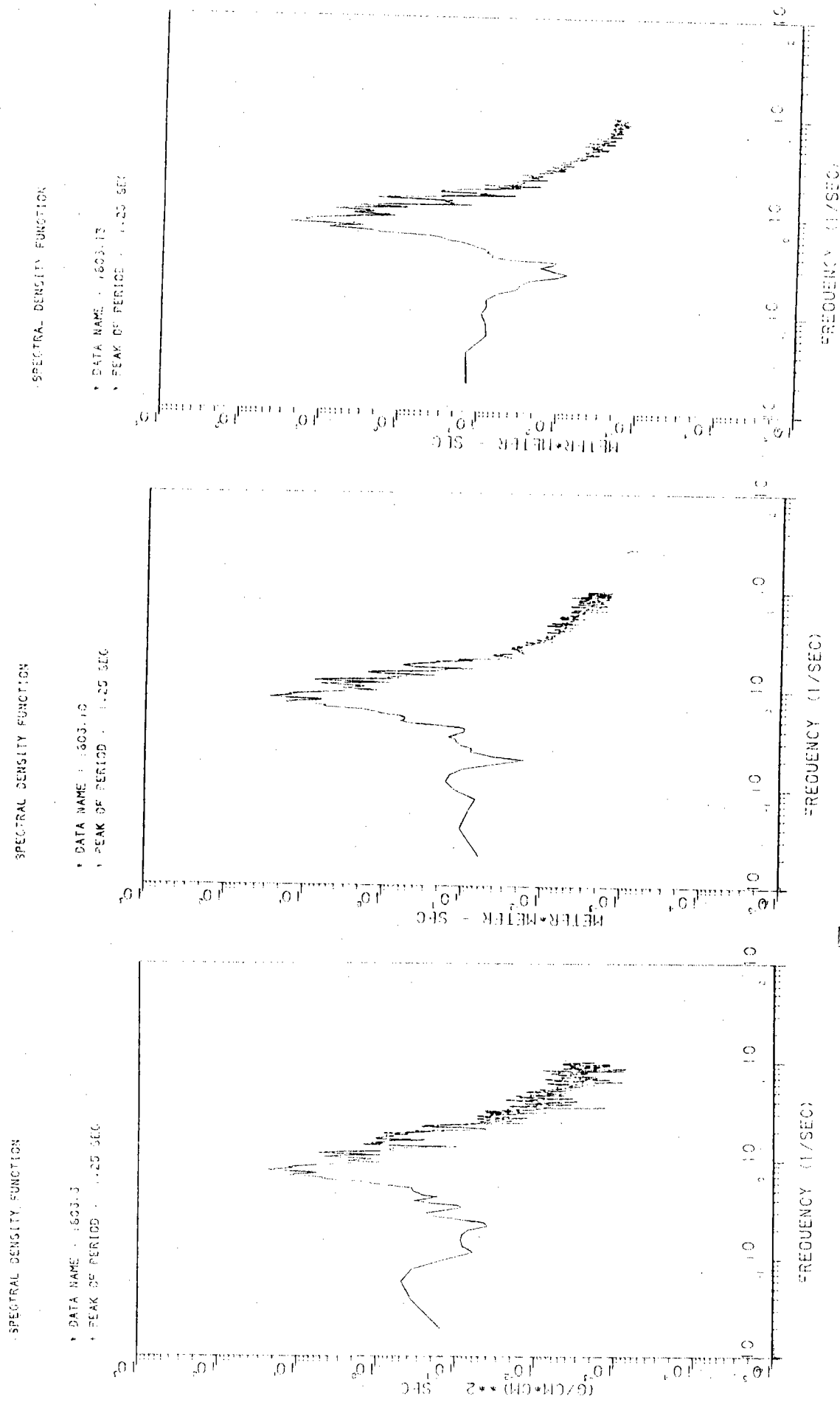


圖 5—2 (b) 波浪及波壓能譜分析圖

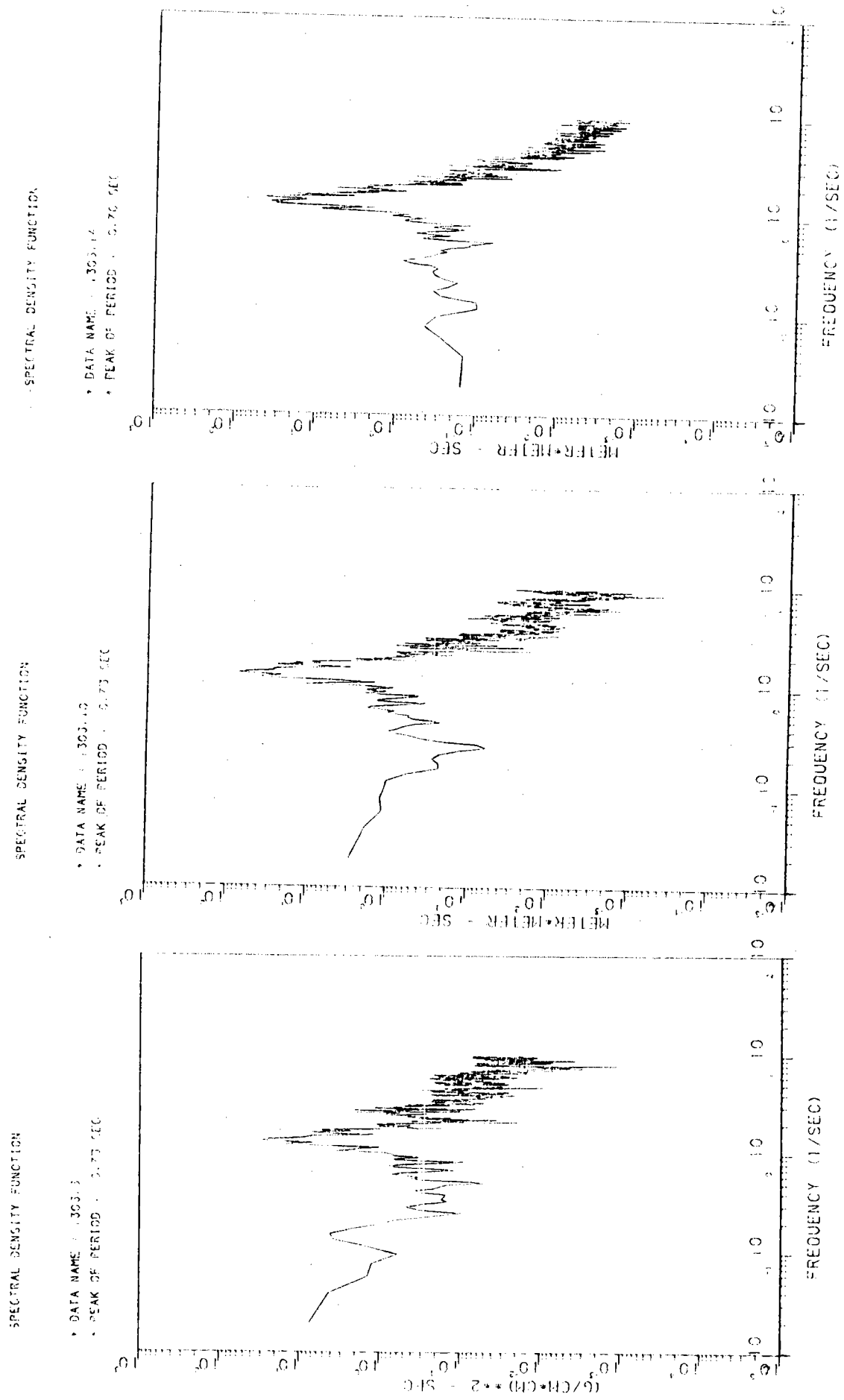


圖 5—2(C) 波浪及波壓能譜分析圖

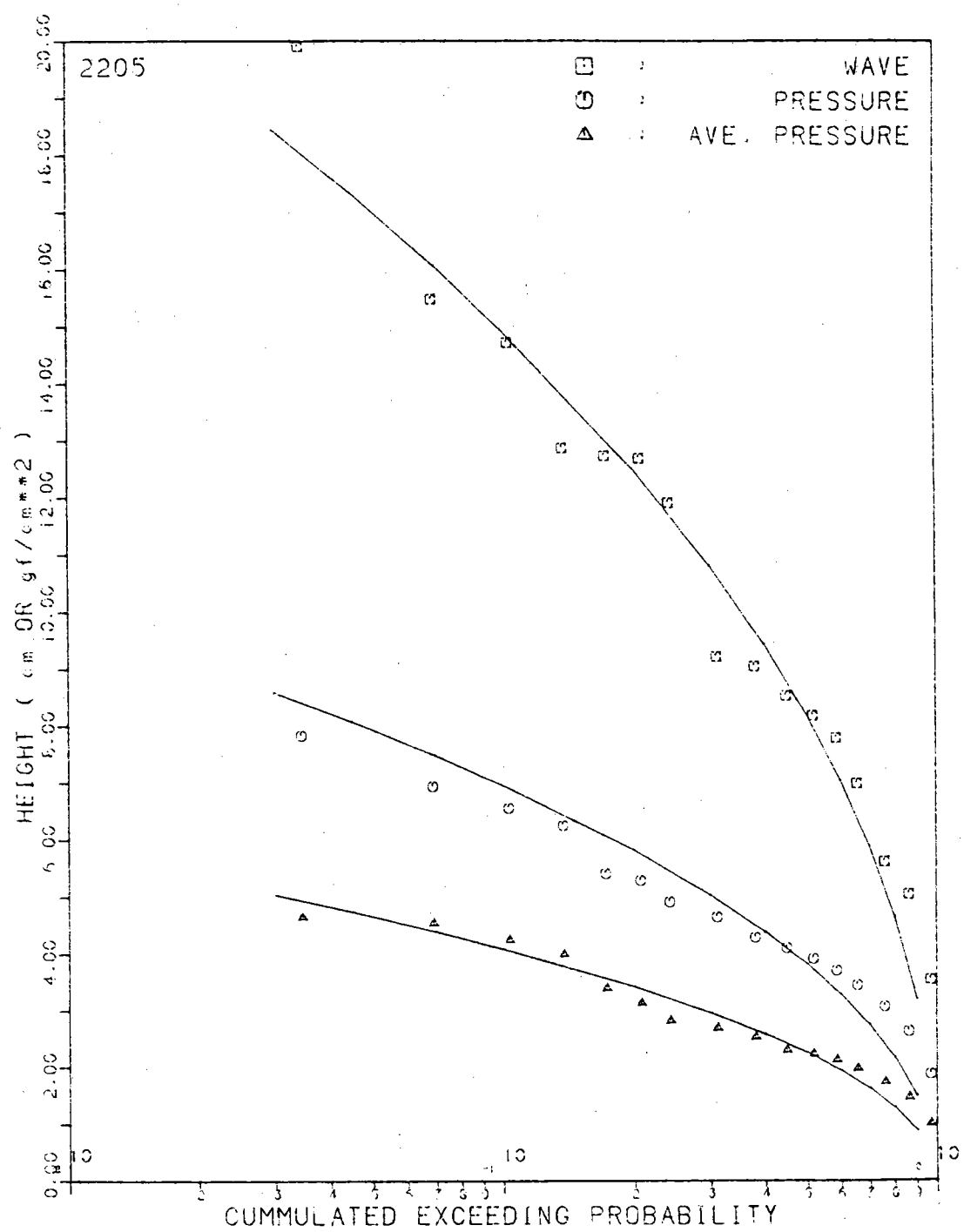


圖 5 — 3 (a) 波高，水面點波壓及斷面平均波壓之累積概率

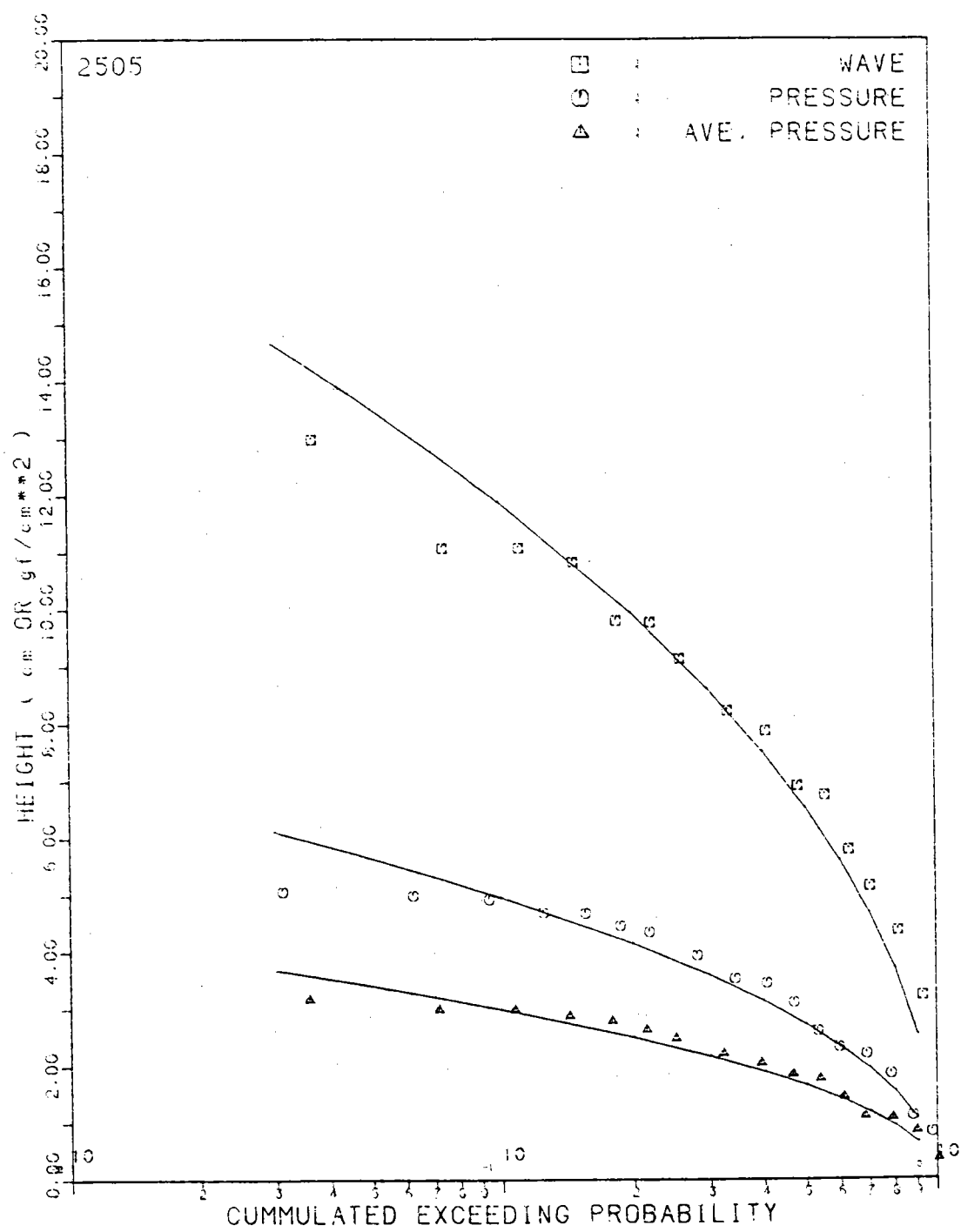


圖 5 - 3 (b) 波高，水面點波壓及斷面平均波壓之累積概率

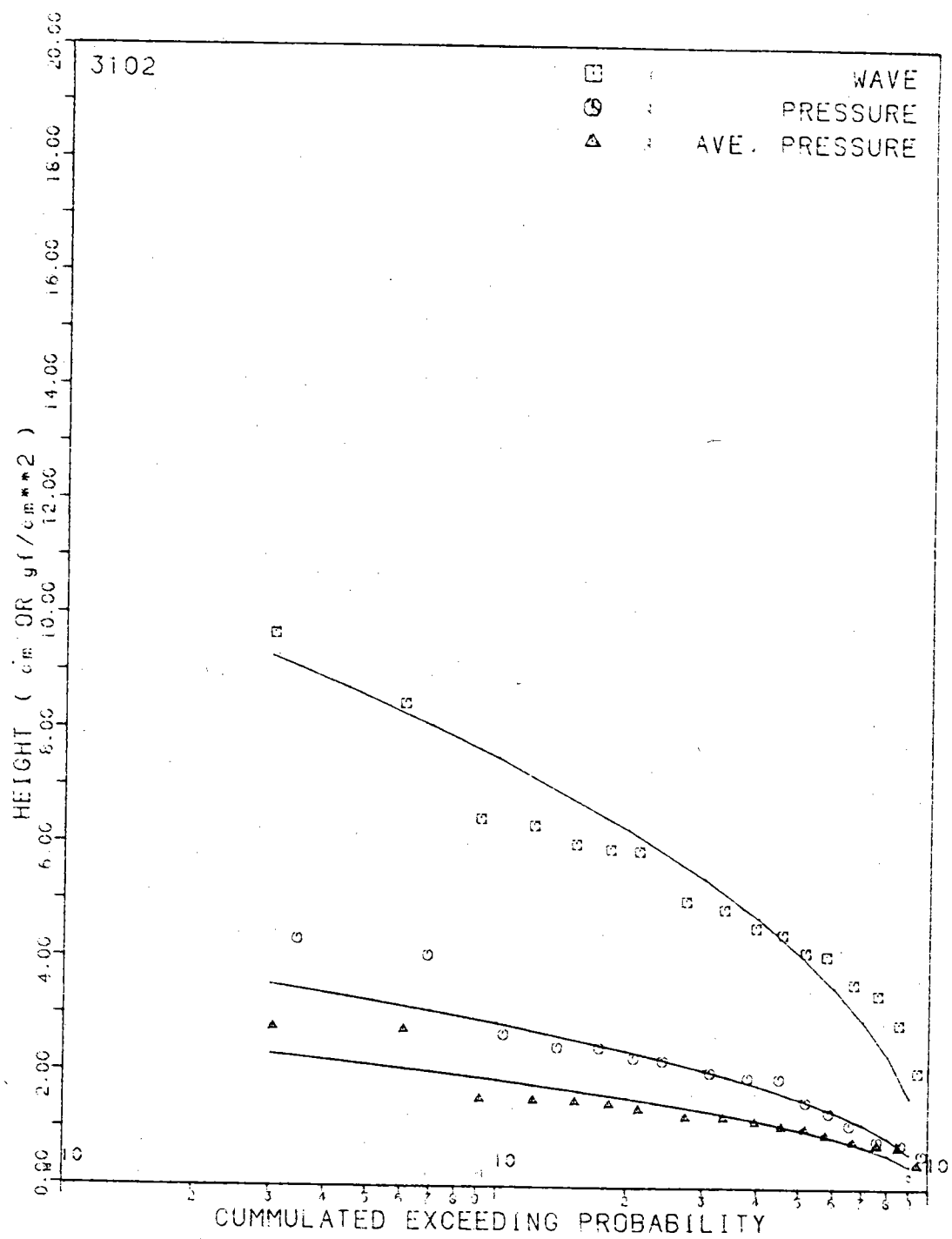


圖 5-3(c) 波高，水面點波壓及斷面平均波壓之累積概率

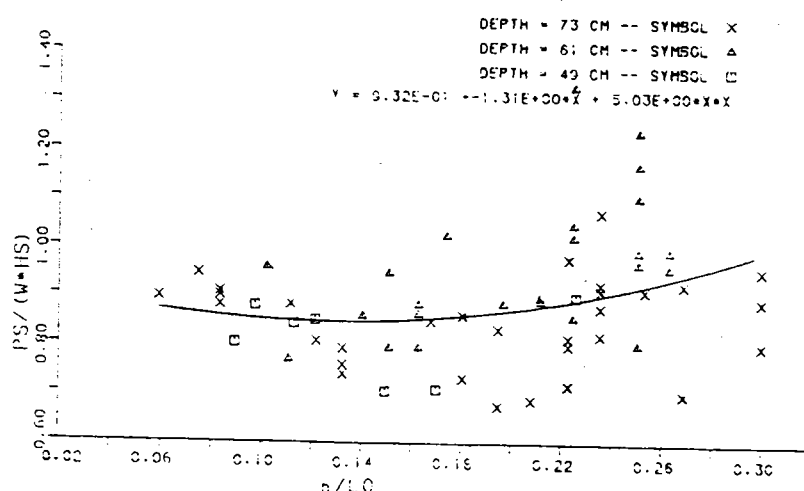
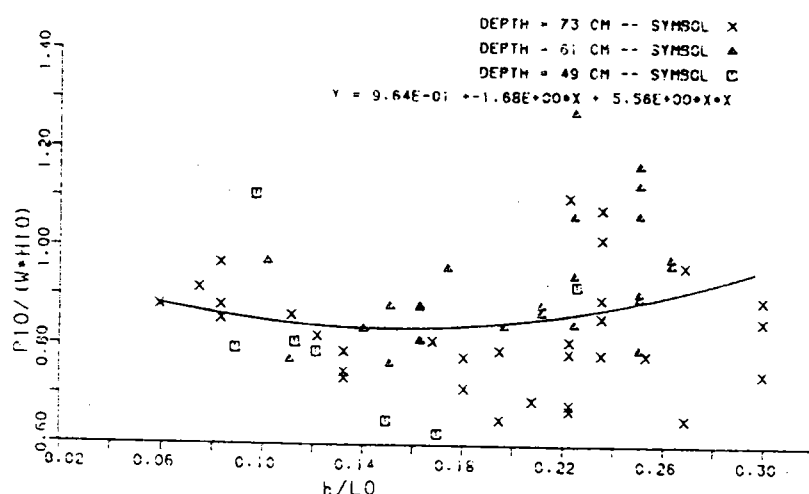
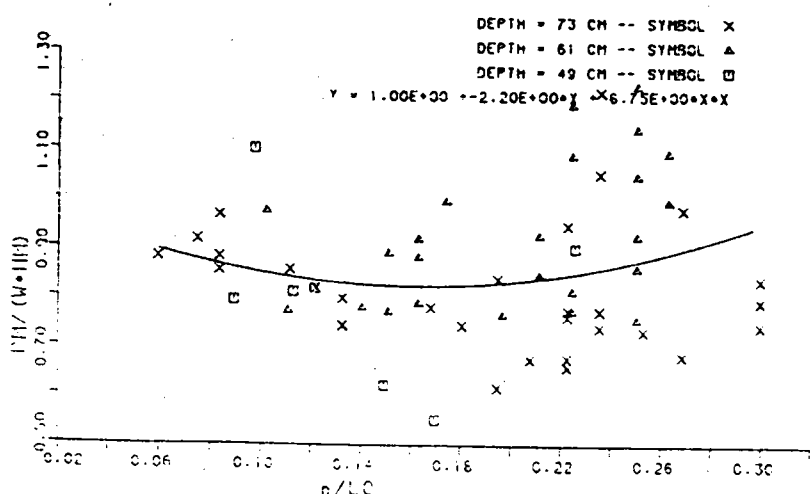


圖 5-4  $p/\bar{w}H$  與  $h/L$  之關係

面時，水面點所產生之波壓力小於波峯點之靜水靜力。 $p/wH$  與  $h/L_o$  利用二次迴歸所得代表方程式分別為：

$$P_{1/3}/wH_{1/3} = 0.932 - 1.31(h/L_o) + 5.03(h/L_o)^2$$

$$P_{1/10}/wH_{1/10} = 0.964 - 1.68(h/L_o) + 5.56(h/L_o)^2$$

$$P_{max}/wH_{max} = 1.00 - 2.20(h/L_o) + 6.75(h/L_o)^2$$

## (2) 斷面平均波壓無因次參數 $\bar{p}/wH$ 與 $h/L_o$ 之關係

斷面平均波壓， $\bar{p}$  與相對應波高無因次參數  $\bar{p}_{1/3}/wH_{1/3}$  、 $\bar{p}_{1/10}/wH_{1/10}$  及  $\bar{p}_{max}/wH_{max}$  與  $h/L_o$  之關係如圖 5—5。試驗資料顯示， $\bar{p}/wH$  與  $h/L_o$  之關係相當良好。 $\bar{p}_{1/3}/wH_{1/3}$  、 $\bar{p}_{1/10}/wH_{1/10}$  與  $\bar{p}_{max}/wH_{max}$  均隨  $h/L_o$  增加而略為減小。換言之，當水深  $h$  相同時平均波壓隨波長減小而略為減小；在  $h/L_o$  小於 0.1 時較為顯著。此種趨勢與波壓理論相符合。

$\bar{p}/wH$  之值大多介於 0.45 與 0.70 之間，二次迴歸曲線分別為：

$$\bar{p}_{1/3}/wH_{1/3} = 0.827 - 2.32(h/L_o) + 4.35(h/L_o)^2$$

$$\bar{p}_{1/10}/wH_{1/10} = 0.830 - 2.23(h/L_o) + 3.83(h/L_o)^2$$

$$\bar{p}_{max}/wH_{max} = 0.834 - 2.18(h/L_o) + 3.43(h/L_o)^2$$

## 3. 波壓無因次參數 $p/wH$ 與相對波高 $H/h$ 之關係

相對波高  $H/h$  為影響碎波重要參數。理論上  $H/h$  小於 0.5 時，屬於未碎波(Non-breaking waves)，波壓受  $H/h$  之影響不顯著。

### (1) 水面測點波壓無因次參數 $p/wH$ 與相對波高 $H/h$ 之關係

試驗所得水面測點波壓無因次參數  $p/wH$  與相對波高  $H/h$  之關係如圖 5—6。

圖中橫坐標，波高  $H$  為  $H_{1/3}$ 。無因次關係圖顯示， $p/wH$  與  $H/h$  之關係極為一致， $p/wH$  隨  $H/h$  增加而略微減小。受試驗水深影響不明顯。二次迴歸曲線分別為：

$$P_{1/3}/wH_{1/3} = 1.12 - 2.42(H_s/h) + 4.31(H_s/h)^2$$

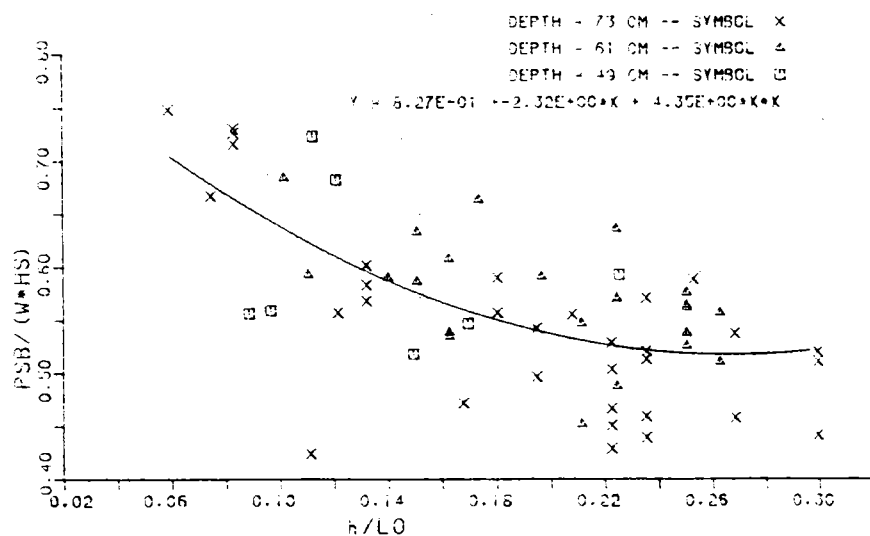
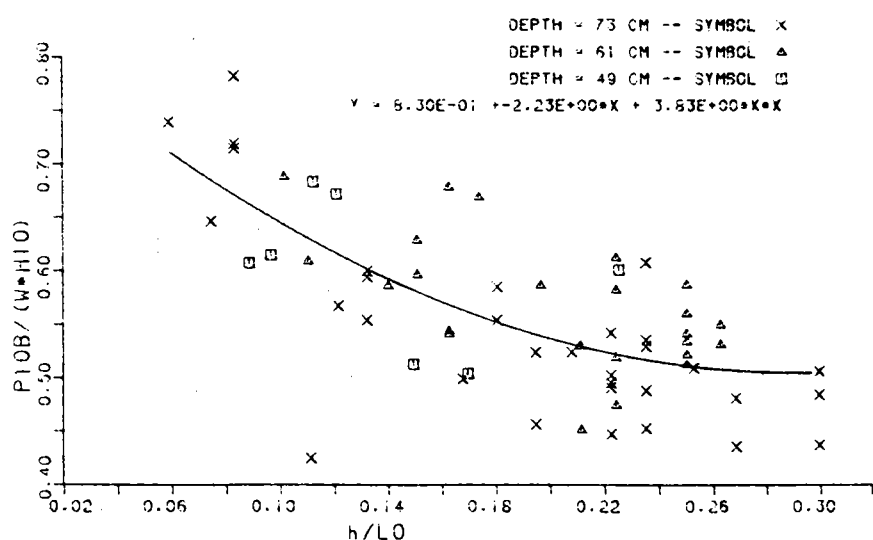
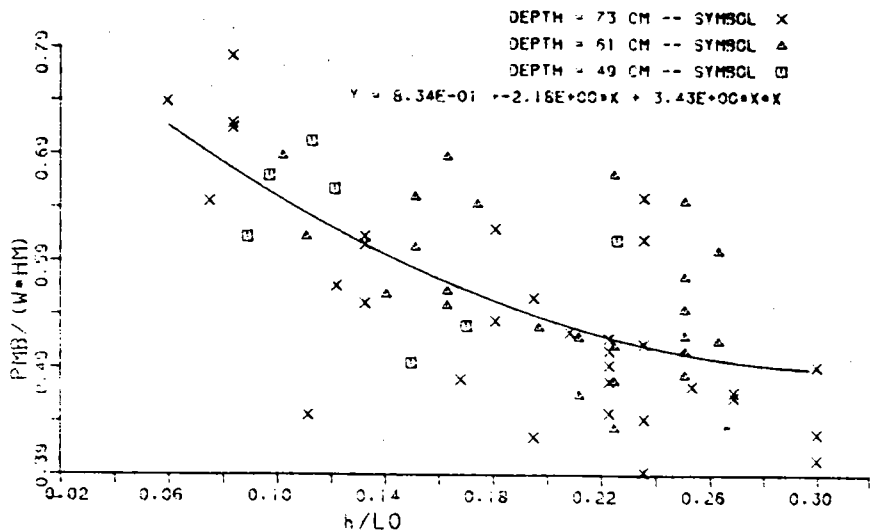


圖 5 — 5  $\bar{p}/wH$  與  $h/L$  之關係

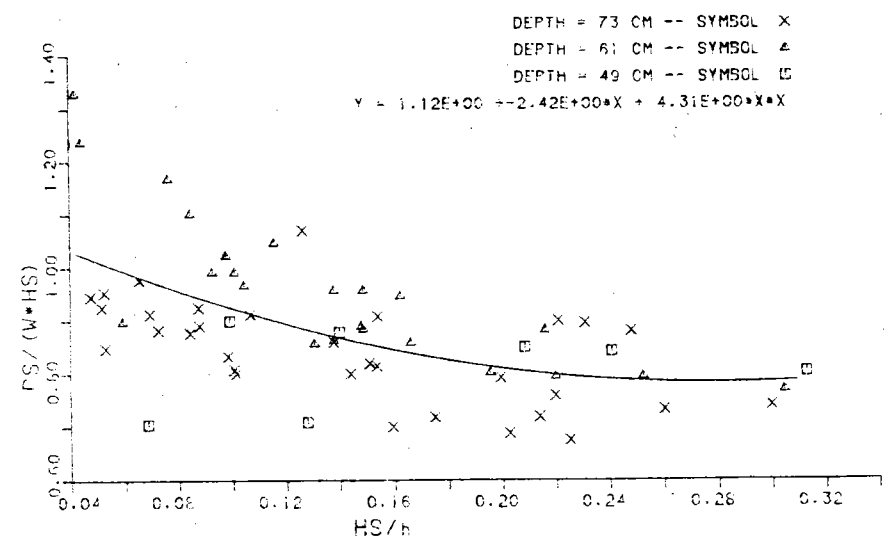
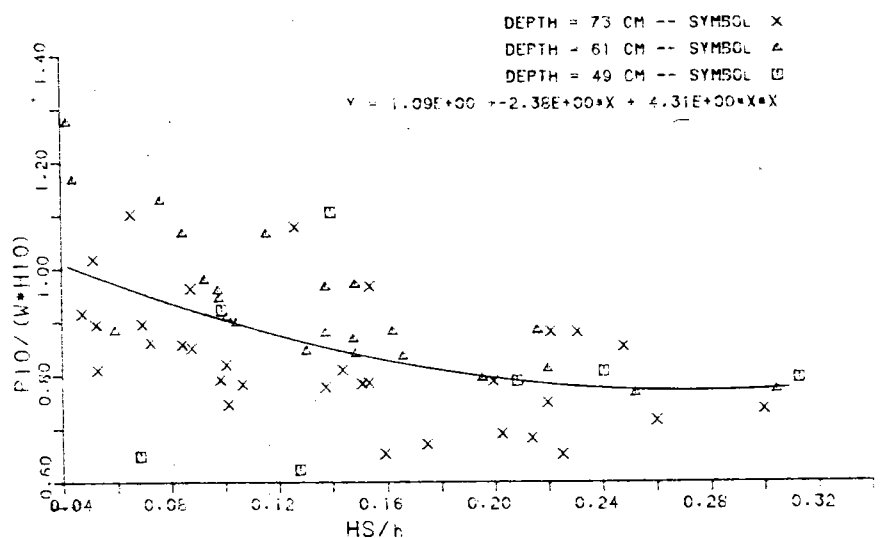
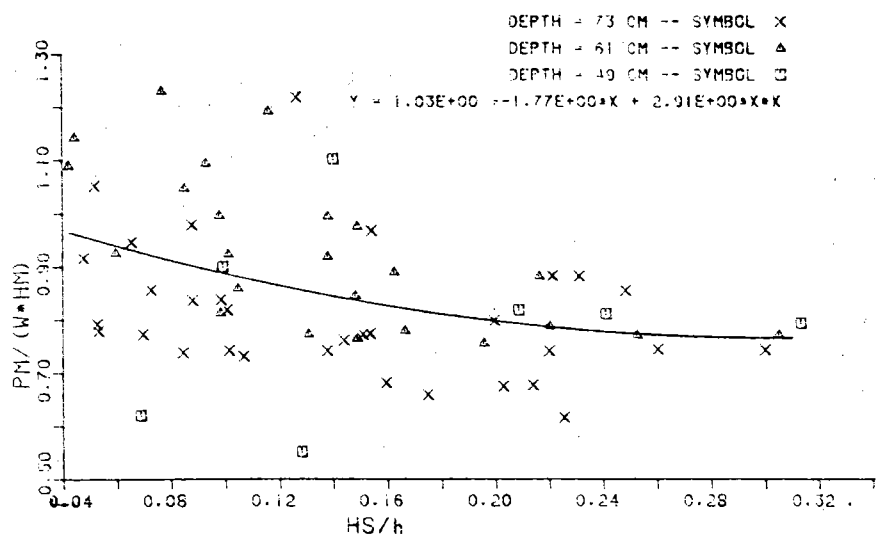


圖 5-6 p/wH 與 H/h 之關係

$$P_{1/10}/wH_{1/10} = 1.09 - 2.38(H_s/h) + 4.31(H_s/h)^2$$

$$P_{max}/wH_{max} = 1.03 - 1.77(H_s/h) + 2.91(H_s/h)^2$$

(2) 斷面平均波壓無因次參數  $\bar{p}/wH$  與相對波高  $H/h$  之關係

三種統計值斷面平均波壓無因次參數  $\bar{p}_{1/3}/wH_{1/3}$ ,  $\bar{p}_{1/10}/wH_{1/10}$  及  $\bar{p}_{max}/wH_{max}$  與相對波高  $H/h$  之關係如圖 5-7。圖中橫坐標  $H$  為  $H_{1/3}$ 。 $\bar{p}/wH$  與  $H/h$  之關係較為散亂。在試驗範圍內， $\bar{p}/wH$  隨  $H/h$  增加而略微增大，此種趨勢與理論值一致。二次迴歸曲線分別為：

$$\bar{p}_{1/3}/wH_{1/3} = 0.491 + 0.57(H_s/h) - 0.524(H_s/h)^2$$

$$\bar{p}_{1/10}/wH_{1/10} = 0.496 + 0.419(H_s/h) + 0.096(H_s/h)^2$$

$$\bar{p}_{max}/wH_{max} = 0.475 + 0.619(H_s/h) - 0.274(H_s/h)^2$$

#### 4. 波高與波壓各種概率平均值間之關係

本次試驗為避免二次反射影響，每次試驗僅錄取其中 45 秒鐘之資料，波浪數約為 30 個。以示性波高  $H_{1/3}$  為參考值，最大波高  $H_{max}$  及最大十分之一波高  $H_{1/10}$  與  $H_{1/3}$  之比值分別為  $H_{max}/H_{1/3}$  及  $H_{1/10}/H_{1/3}$ 。 $H_{1/10}/H_{1/3}$  之值大多介於 1.1 與 1.4 之間，分佈較為集中，而  $H_{max}/H_{1/3}$  之值則因波數不足，分佈較為散亂。有些試驗  $H_{max}$  與  $H_{1/10}$  相等，其比值大多在 1.1 與 1.6 之間。

水面測點波壓以概率三分之一  $p_{1/3}$  為參考值， $P_{1/10}/p_{1/3}$ ,  $P_{max}/p_{1/3}$  之分佈範圍分別為 1.1 至 1.3 及 1.1 至 1.5 之間。 $P_{1/10}/p_{1/3}$ 、 $P_{max}/p_{1/3}$  與  $h/L_o$  及  $P_{1/10}/p_{1/3}$ ,  $P_{max}/p_{1/3}$  與  $H_s/h$  之關係分別如圖 5-8 及 5-9。斷面平均波壓力各種概率平均值之比  $\bar{P}_{1/10}/\bar{P}_{1/3}$  及  $\bar{P}_{max}/\bar{P}_{1/3}$  則分別介於 1.1 至 1.35 及 1.1 至 1.5 之間。 $\bar{P}_{1/10}/\bar{P}_{1/3}$  及  $\bar{P}_{max}/\bar{P}_{1/3}$  隨  $h/L_o$  變化情形如圖 5-10， $\bar{P}_{1/10}/\bar{P}_{1/3}$  及  $\bar{P}_{max}/\bar{P}_{1/3}$  與  $H_{1/3}/h$  之關係如圖 5-11。

各種概率斷面平均波壓力比值  $\bar{P}_{1/10}/\bar{P}_{1/3}$  及  $\bar{P}_{max}/\bar{P}_{1/3}$  與相對應概率波高比值  $H_{1/10}/H_{1/3}$  及  $H_{max}/H_{1/3}$  之關係分別如圖 5-12 及 5-13。

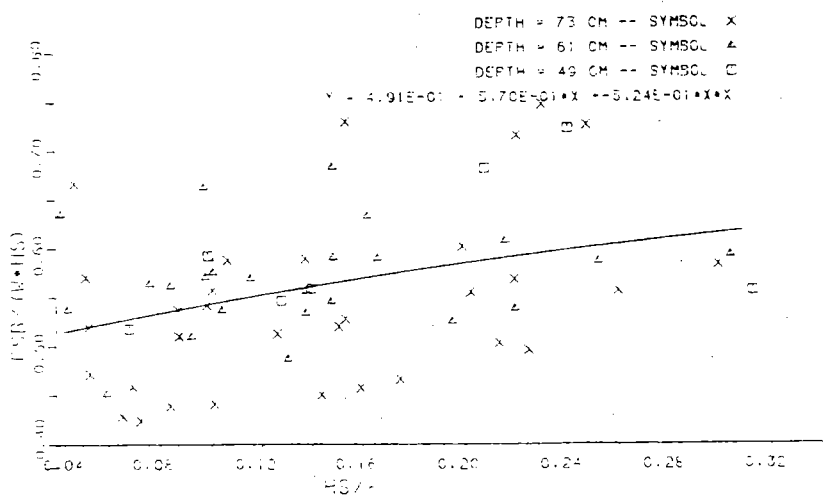
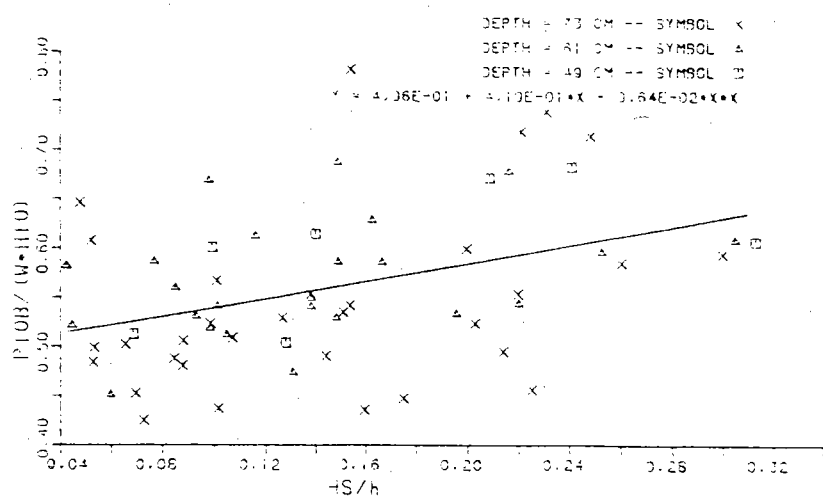
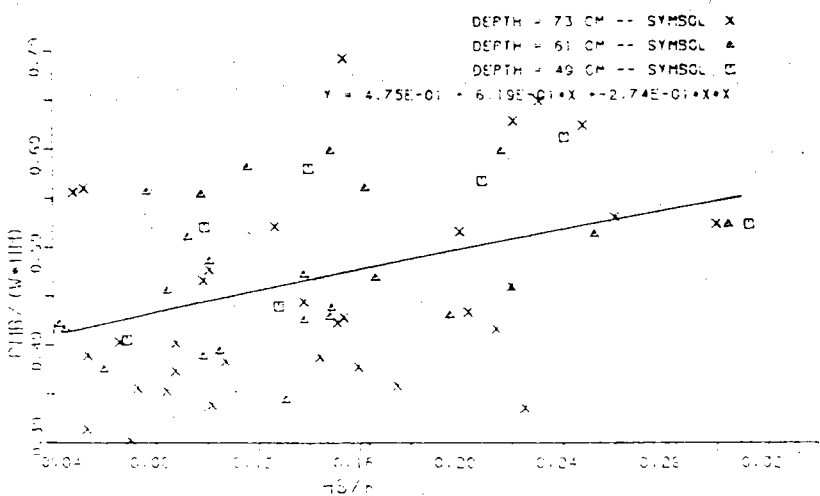


圖 5 — 7  $\bar{p}/WH$  與  $H/h$  之關係

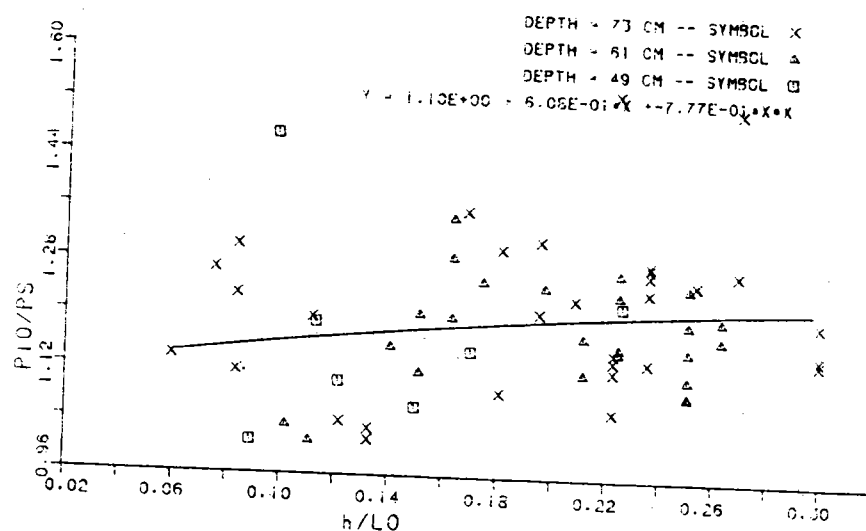
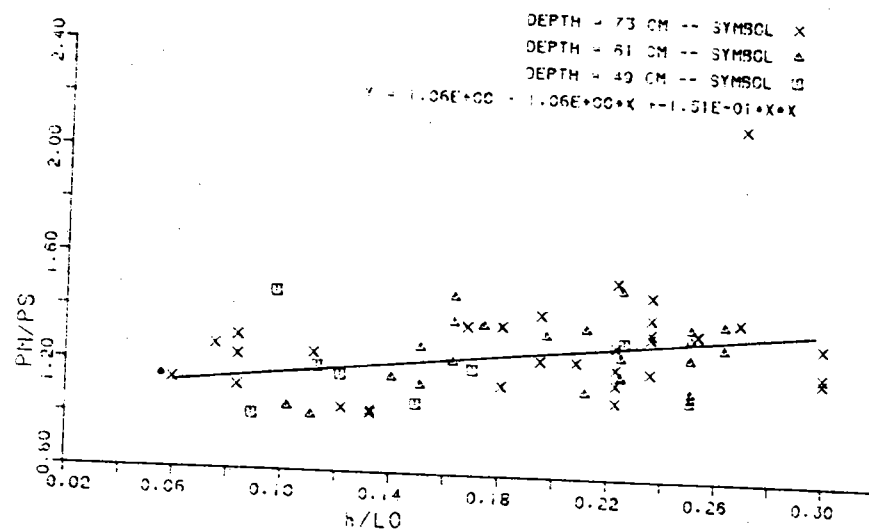


圖 5-8  $P_{1/10} / P_{1/3}$ ,  $P_{max} / P_{1/3}$  與  $h/L_0$  之關係

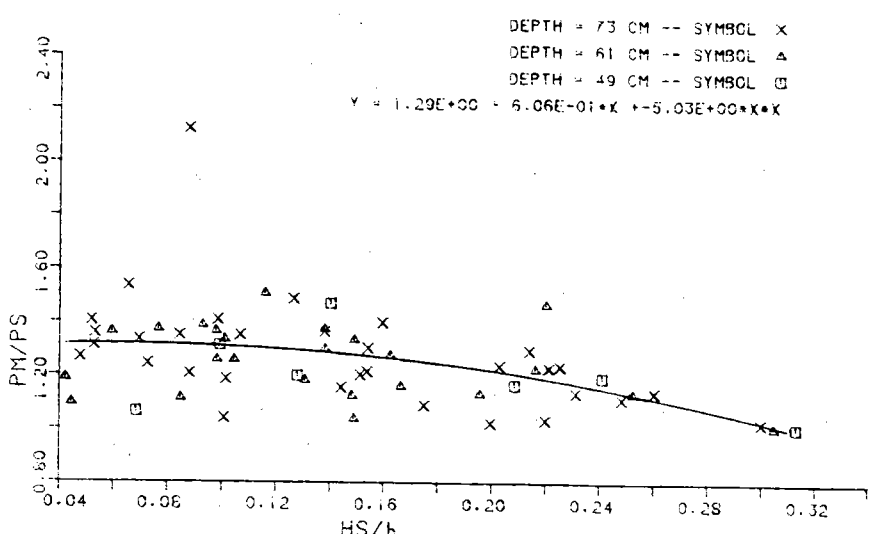
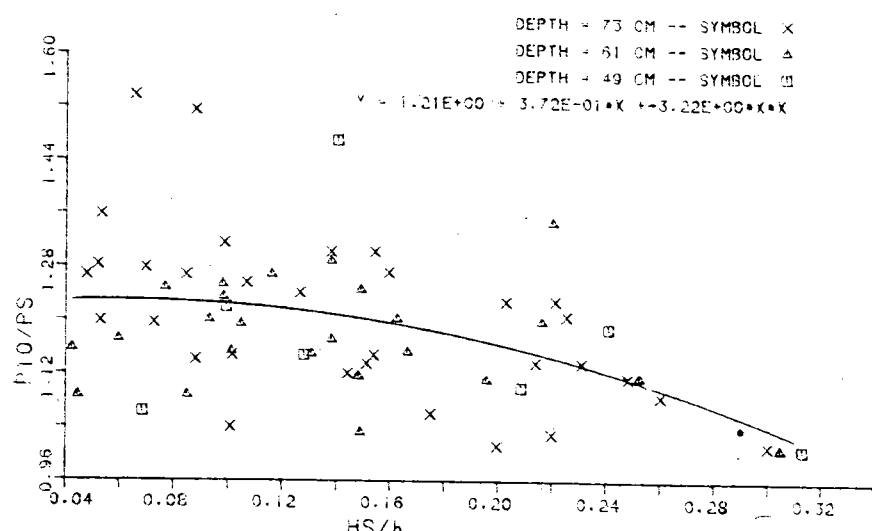


圖 5 — 9  $p_{1/10}/p_{1/3}$ ,  $p_{max}/p_{1/3}$  與  $H/h$  之關係

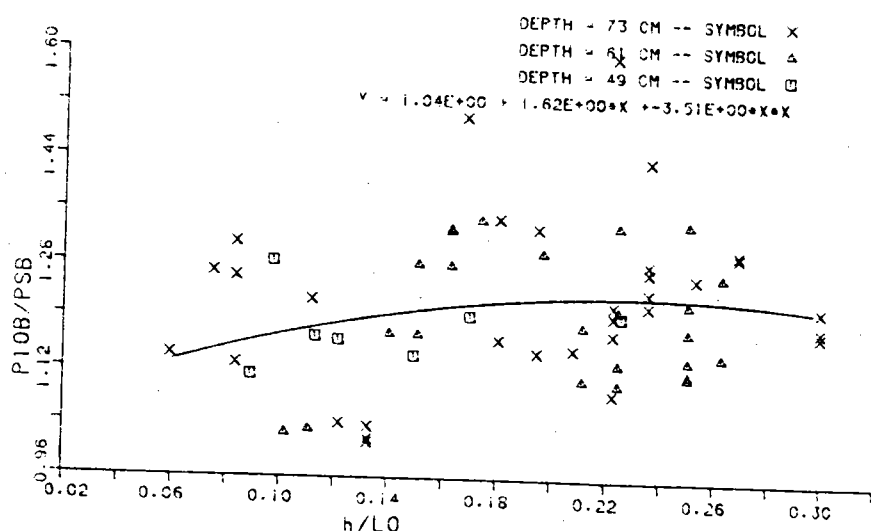
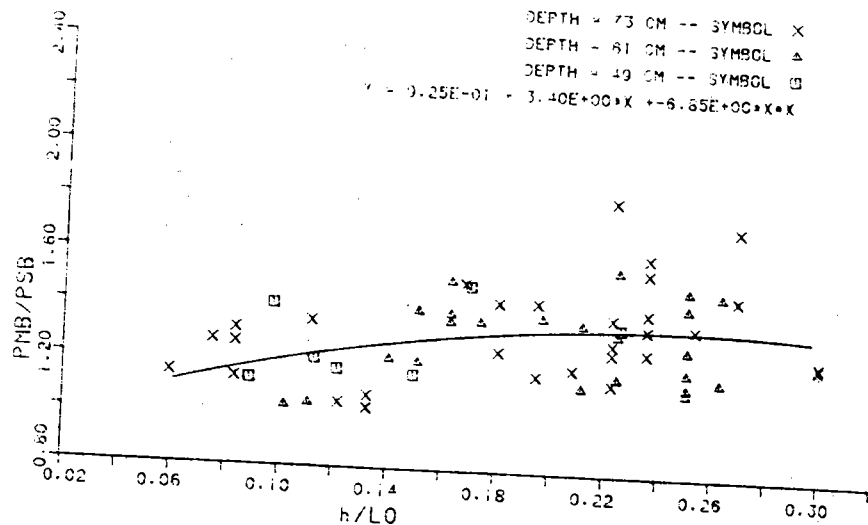


圖 5-10  $\bar{p}_{1/10} / \bar{p}_{1/3}$ ,  $\bar{p}_{max} / \bar{p}_{1/3}$  與  $h/L_0$  之關係

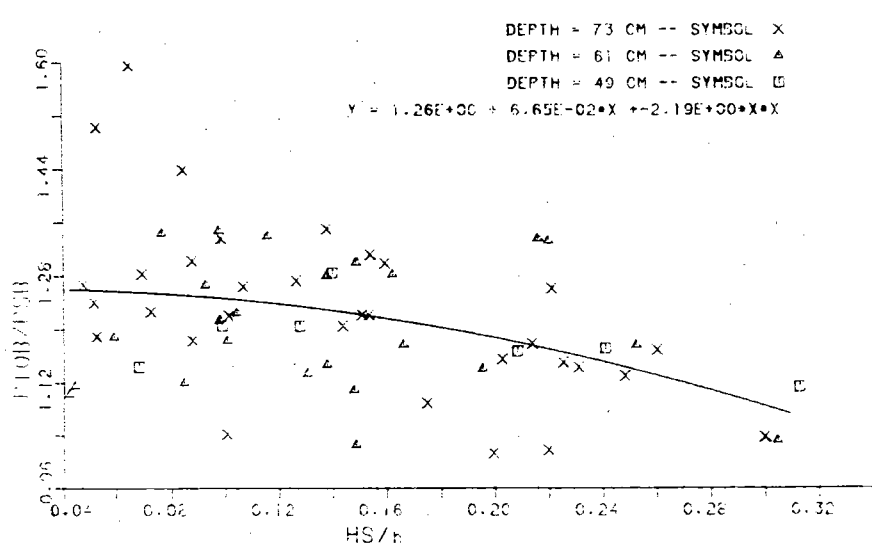
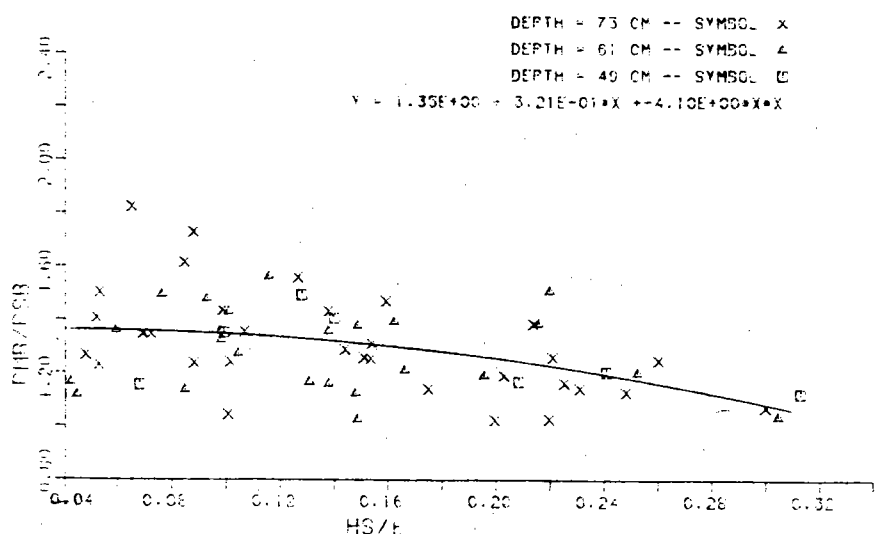


圖 5-11  $\bar{p}_{1/10}/\bar{p}_{1/3}$ ,  $\bar{p}_{\max}/\bar{p}_{1/3}$  與  $H/h$  之關係

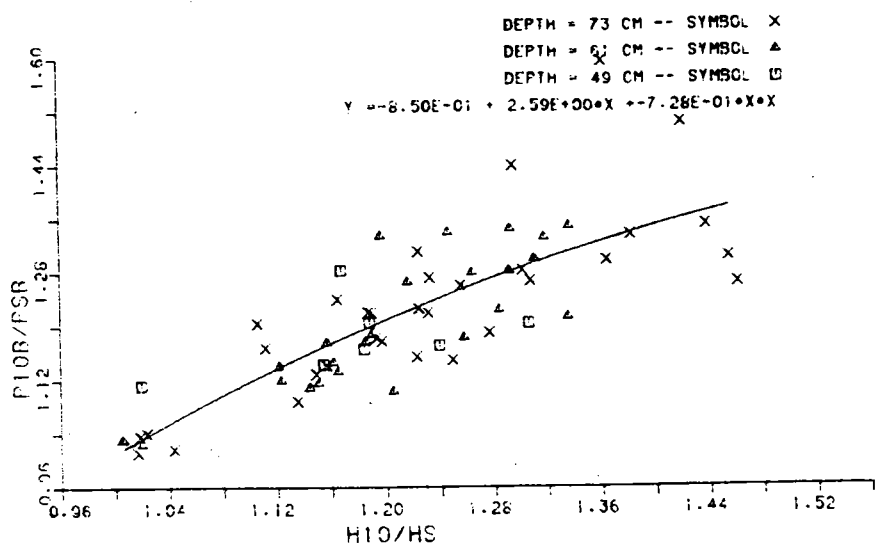


圖 5-12  $\bar{p}_{1/10} / \bar{p}_{1/3}$  與  $H_{1/10} / H_{1/3}$  之關係

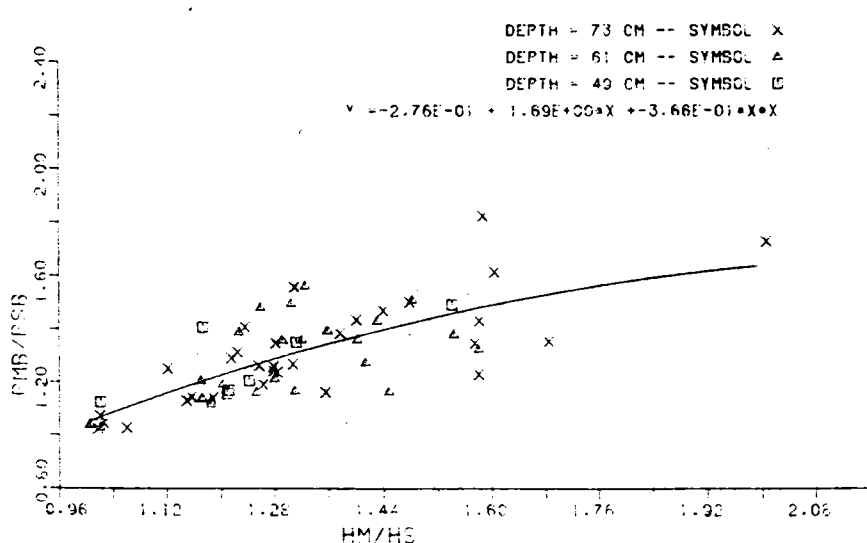


圖 5-13  $\bar{p}_{\max} / \bar{p}_{1/3}$  與  $H_{\max} / H_{1/3}$  之關係

兩無因次參數間資料成扇形分佈，迴歸線斜率接近  $1 : 1$ 。此種現象顯示，在統計上不規則波群中，較大的波高造成較高波壓之趨勢，但如果利用波群中，統計上慣用之示性波高  $H_{1/3}$  所得之波壓力  $\bar{p}_{1/3}$  推估  $\bar{p}_{1/10}$  及  $\bar{p}_{\max}$ ，則隨  $H_{1/10}/H_{1/3}$  或  $H_{\max}/H_{1/3}$  之值增加而產生較大之偏差。

### 5. 水平總壓力試驗值與計算值之比較

作用於合成堤直立部份之水平總壓力  $F$ ，與靜水壓力之比  $F/wd^2$ ， $d$  為防波堤直立部份之水深，隨堤前相對水深  $h/L$  及相對波高  $H/d$  增加而加大。因為試驗所採用之相對水深並未固定，為便於與波壓計算公式比較，將  $h/L$  按大小歸併成四組，分別為  $0.10 \leq h/L \leq 0.139$ ， $0.160 \leq h/L \leq 0.200$ ， $0.220 \leq h/L \leq 0.259$ ， $0.260 \leq h/L \leq 0.280$ 。波壓計算為 Nagai 公式及 Sainflou 公式兩種， $h/L$  值依次分別為  $0.120$ 、 $0.180$ 、 $0.240$  及  $0.270$ 。

圖 5-14 為不同之  $h/L$  值  $F/wd^2$  與  $H/d$  關係試驗值與 Nagai 公式計算值之比較。當  $h/L < 0.135$  時，Nagai 波壓計算公式歸為淺水，計算所得  $F/wd^2$  隨相對波高  $H/d$  增加而急遽加大， $h/L = 0.120$  時，Nagai 公式計算值與試驗值之差異隨  $H/d$  增加而更顯著。試驗資料  $F/wd^2$  與  $H/d$  呈現近似  $1:1$  之增加趨勢。 $0.135 \leq h/L \leq 0.35$  時 Nagai 公式列為中水深，當  $h/L$  增為  $0.180$  時，Nagai 公式計算值與試驗值差異已顯著減小，但所得  $F/wd^2$  仍較試驗略大。 $h/L$  增加為  $0.24$  時，計算值更接近試驗值，但仍稍微偏大。當  $h/L$  增為  $0.27$  時，試驗值均較計算值大。由此可知利用 Nagai 公式計算波壓，在淺水時 ( $h/L < 0.135$ ) 顯著偏大，且隨  $H/d$  增大而與試驗值差異愈大。 $h/L$  增至  $0.27$  接近深水界限線 ( $h/L \geq 0.35$ )，計算值較試驗值有偏小之趨勢。

上述比較試驗水平總波壓力  $F$  係採用概率最大三分之一斷面平均波壓  $\bar{p}_{1/3}$  計算。因此，試驗波壓力  $F$ ，若採用  $\bar{p}_{1/10}$  或  $\bar{p}_{\max}$  計算，則 Nagai 公式在計算中水深 ( $0.135 \leq h/L < 0.35$ ) 波壓力所造成差異將更大。

$F/wd^2$  試驗值與 Sainflou 公式計算值比較如圖 5-15。當  $h/L = 0.120$  時，Sainflou 公式所求得波壓力與試驗值相當符合。Sainflou 公式計算值，隨  $h/L$  增加

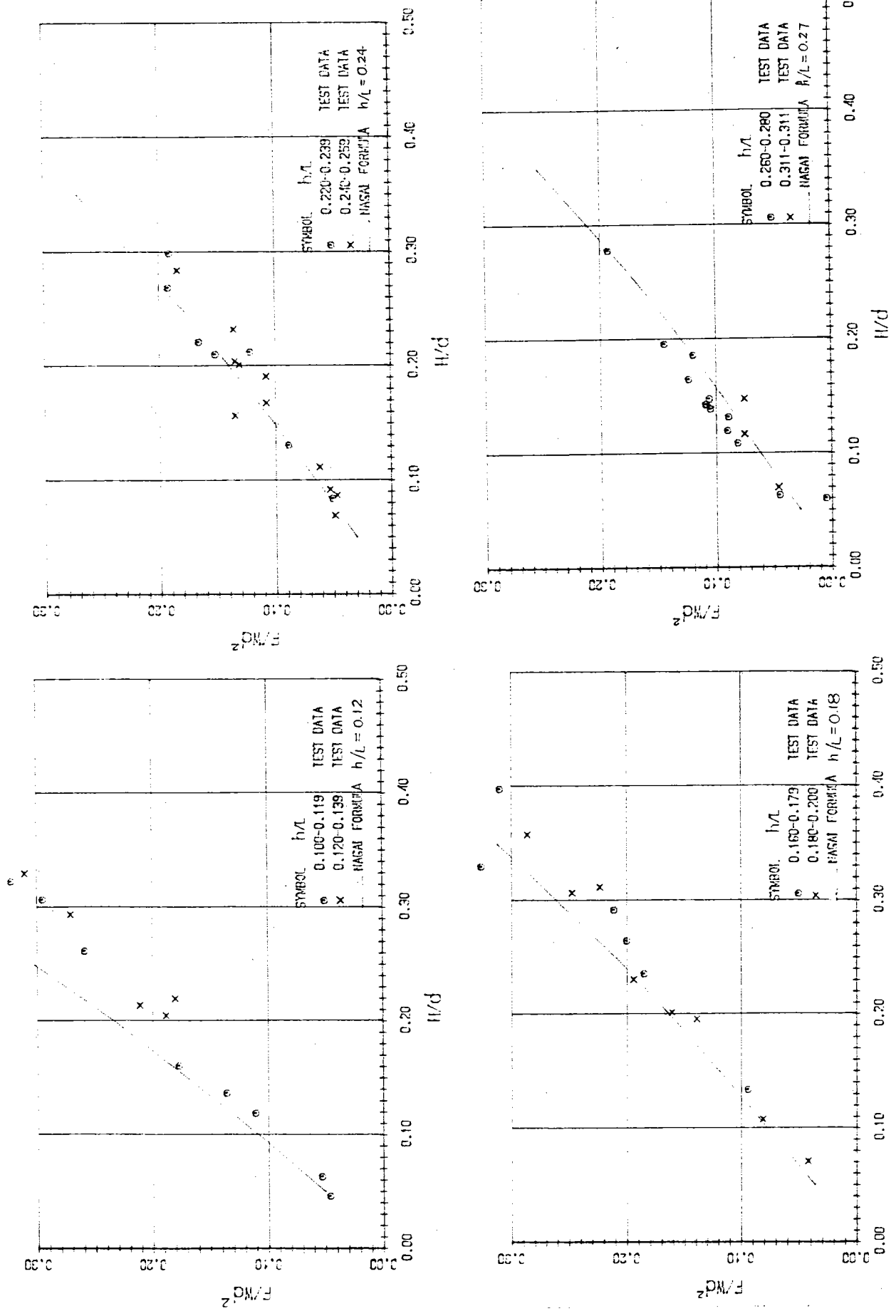
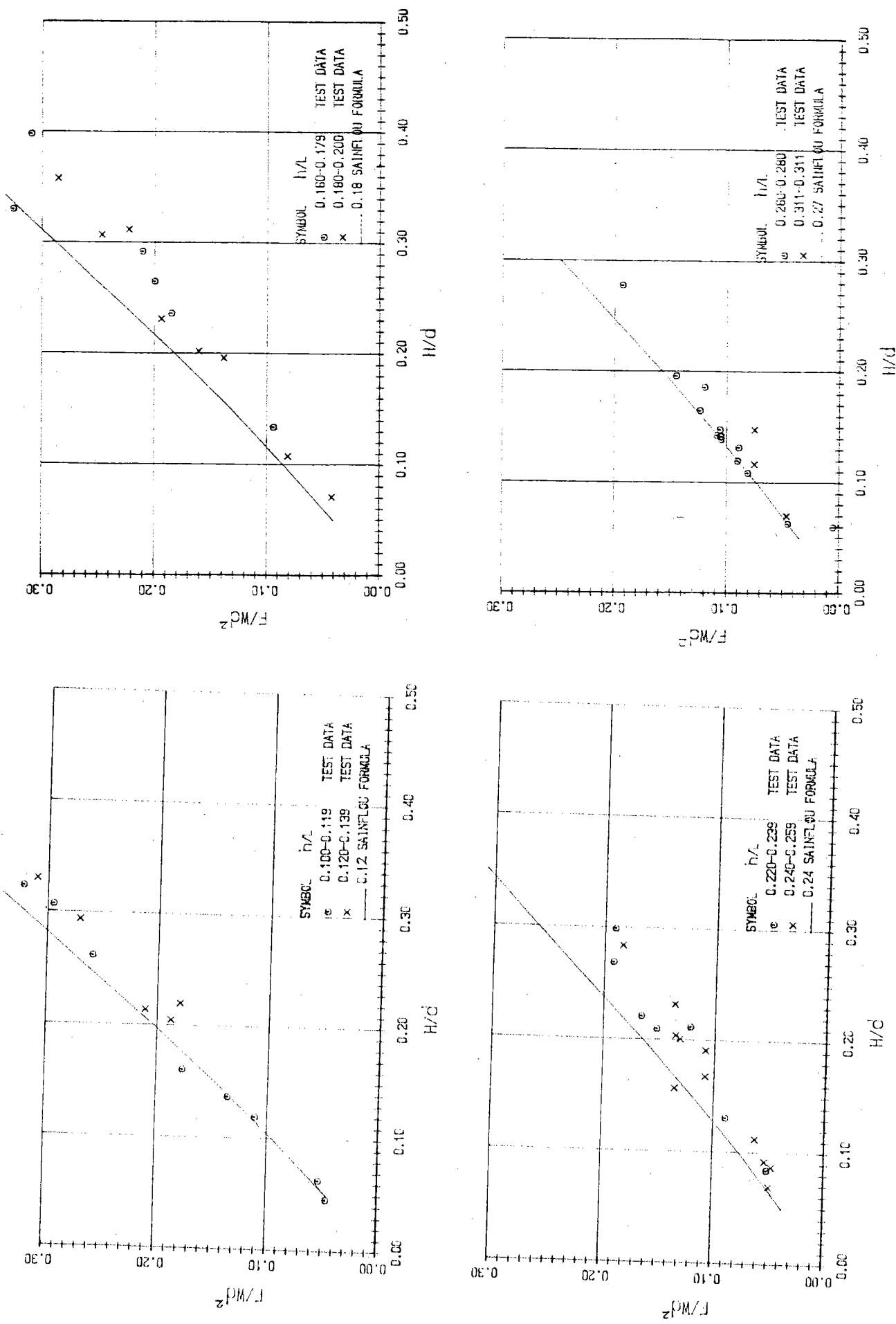


圖 5 — 14  $F / wd^2$  與  $H / d$  試驗值與 Nagaï 計算值比較

圖 5—15  $F/\sqrt{wd^2}$  與  $H/d$  試驗值與 Sa inflow 計算值比較



而漸大於試驗值。但若試驗值採用  $\bar{p}_1$  計算水平總壓力，則計值較試驗值有偏小之趨勢。

### (三)最大波壓統計分析特性

本次試驗共完成三種試驗水位，共計 72 個試驗情況。試驗最大波高  $H_{max}$  由 3 cm 至 22 cm，示性週期  $T \frac{1}{3}$  由 0.8 sec 至 2.5 sec，涵蓋範圍甚廣。其中有 32 個試驗最大波高已達碎波(Breaking Wave)界限  $H_{max}/d \geq 2.0$  (其中含 10 個越波試驗情況)，另外 40 個試驗屬於重複波範圍。本節僅就重複波試驗情況，加以討論其最大波壓統計特性及垂直分佈狀況。

#### 1. 波壓試驗值與計算值垂直分佈

試驗資料經整理後，各試驗情況最大波壓垂直分佈與 Sainflou 公式及 Goda 公式計算值比較如圖 5—16。根據本試驗研究所推導之波壓計算公式計算值亦標示於圖中。

計算公式所採用波高為試驗波群中最大波高  $H_{max}$ 。週期為示性週期  $T \frac{1}{3}$ 。當相對水深  $h/L$  值較小時，Goda 公式計算值遠較 Sainflou 公式計算值為大。隨著相對水深值之增加，二種波壓公式之計算值則趨於一致。壁面受波峯作用時，試驗波壓分佈顯示，最大動壓力值大部發生在水面測點；但當拋石基礎面上水深  $d$  值減小時，發生最大動壓力值之位置則有往水面下移之趨勢，如(S)及(t)圖之最大動壓力試驗值均在水面下。相對波高  $H_{max}/h$  較大時，兩種公式之計算值均較試驗值為大。Goda 公式所求得波壓較 Sainflou 計算波壓值大。 $H_{max}/h$  隨著入射波高之減小而減低，試驗值與計算值則逐漸趨於一致。Sainflou 及 Goda 二種公式之計算值亦相當接近。

#### 2. 波峯時波壓特性

當壁面為波峯時，水面測點之最大動壓力  $\bar{p}_1$  與入射波群之最大波高  $H_{max}$  無因次參數  $p_1/\sqrt{\omega}H_{max}$  與合成堤基相對水深  $h/L$  之關係如圖 5—17。 $p_1/\sqrt{\omega}H_{max}$  之值介於 0.7 與 1.0 之間，受  $h/L$  影響不顯著。 $p_1/\sqrt{\omega}H_{max}$  值較前節所得結果略高，主要係本節分析採用最大波高為第 13 頻道波浪，較前節所採用波高略低。波峯時沈箱底部波壓力  $p_2$  與最大波壓之比值  $p_2/p_{max}$  隨堤基相對水深  $h/L$

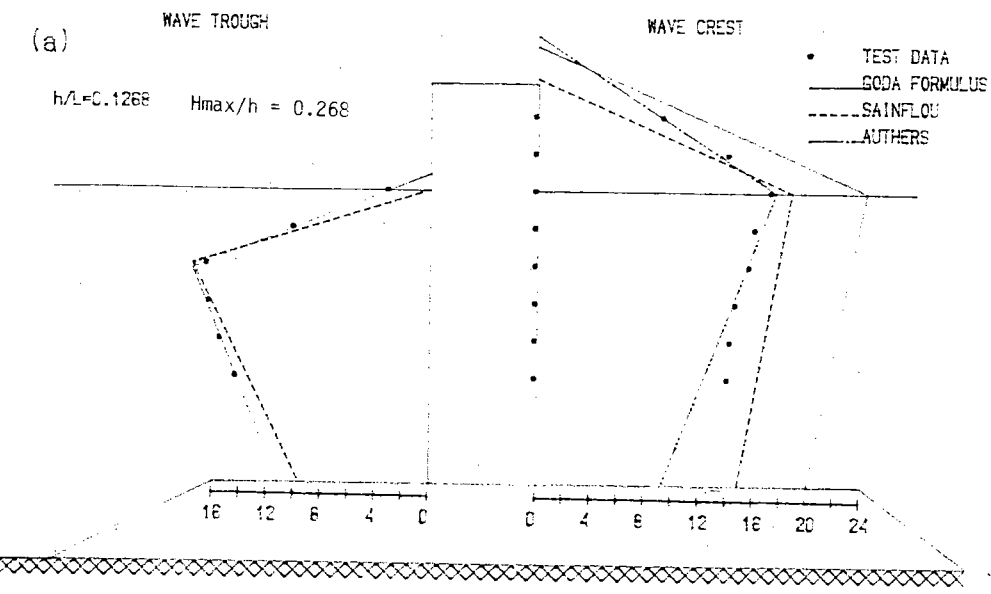


圖 5 — 16 (a) 最大波壓斷面分佈試驗與計算值比較

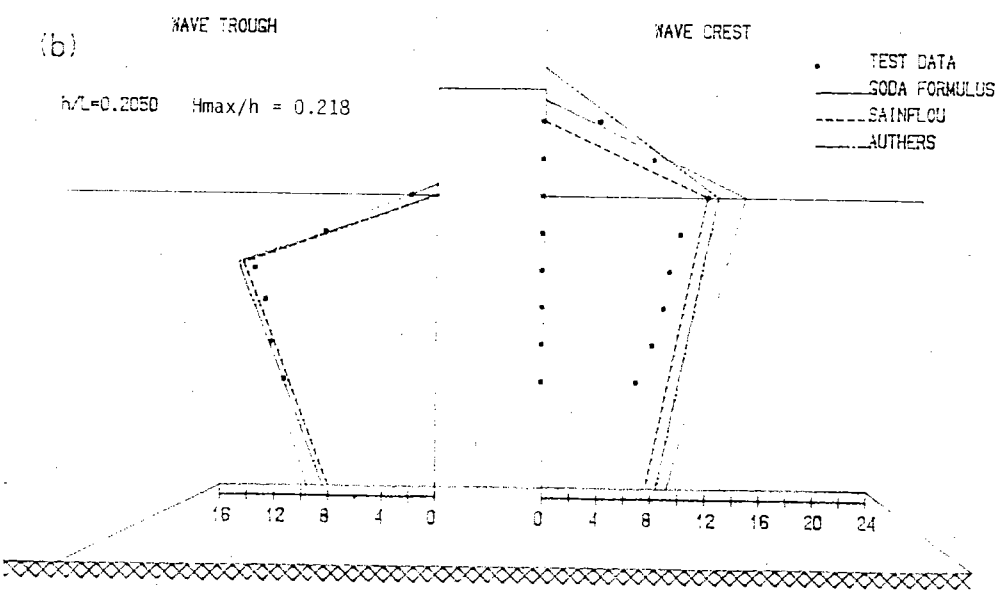


圖 5 — 16 (b) 最大波壓斷面分佈試驗與計算值比較

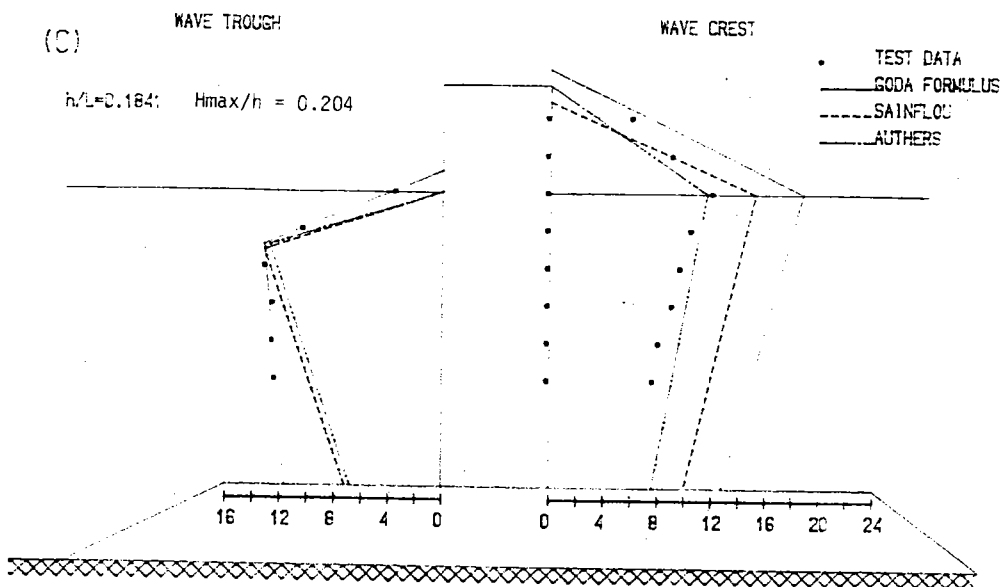


圖 5 — 16(c) 最大波壓斷面分佈試驗與計算值比較

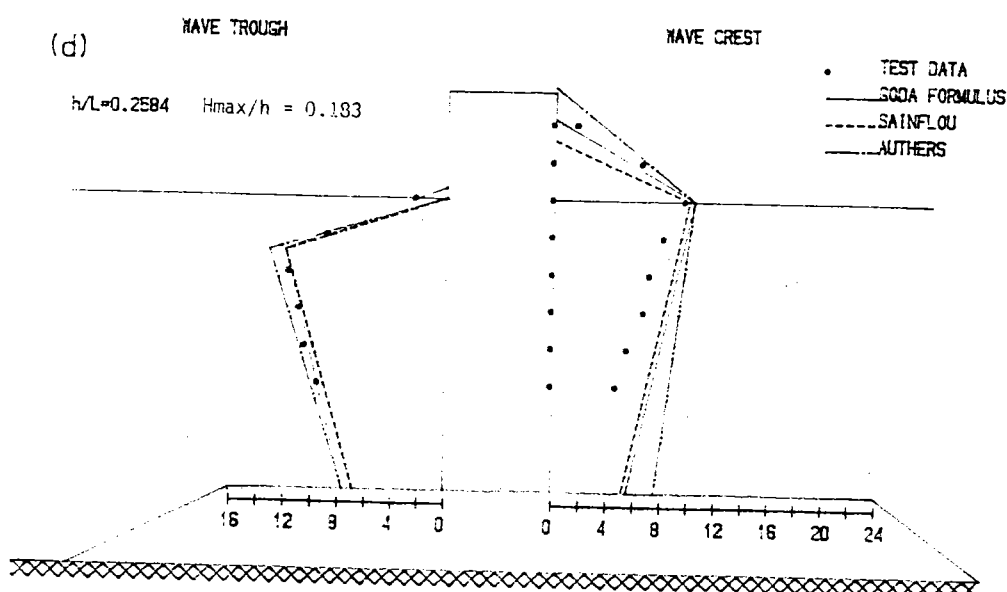


圖 5 — 16(d) 最大波壓斷面分佈試驗與計算值比較

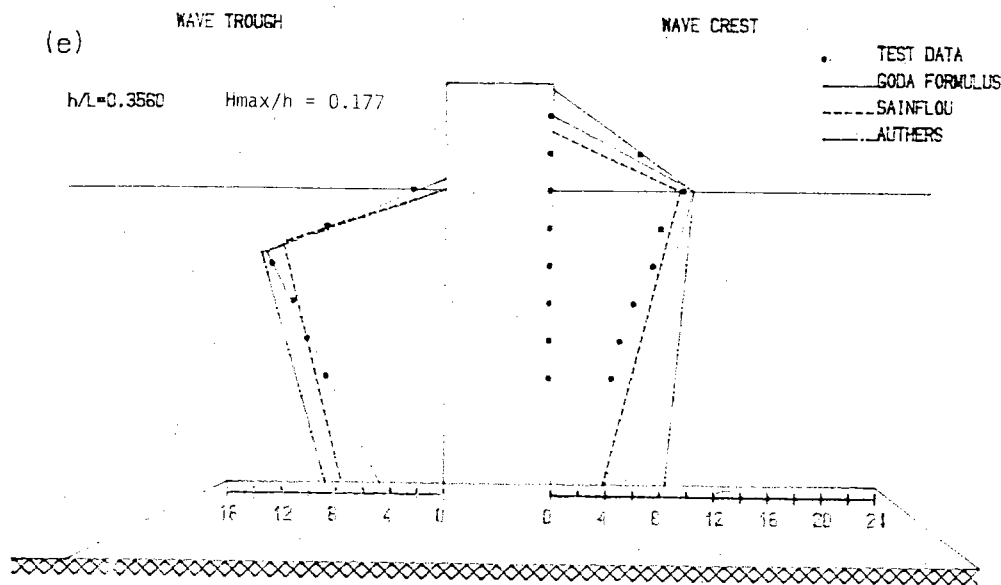


圖 5 — 16 (e) 最大波壓斷面分佈試驗與計算值比較

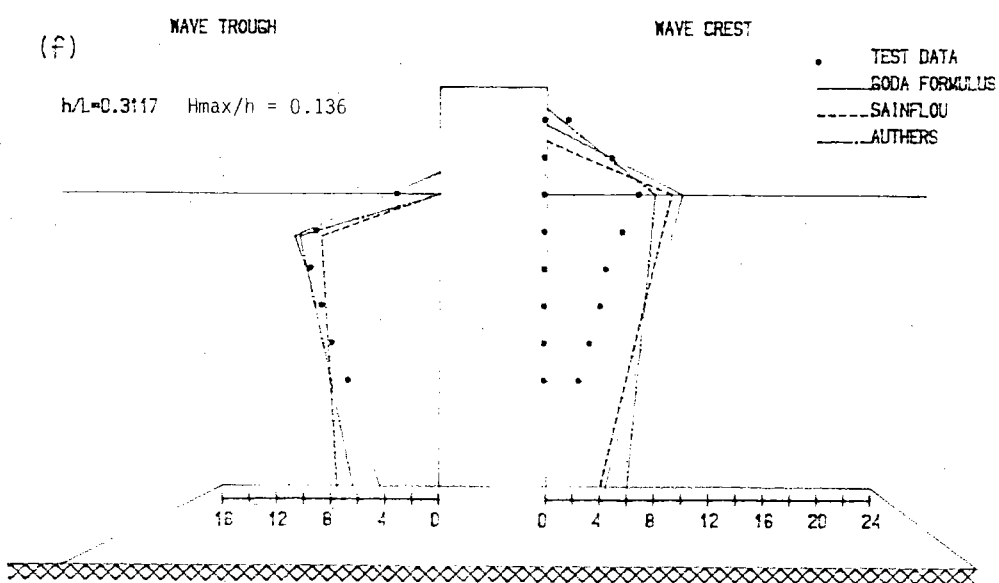


圖 5 — 16 (f) 最大波壓斷面分佈試驗與計算值比較

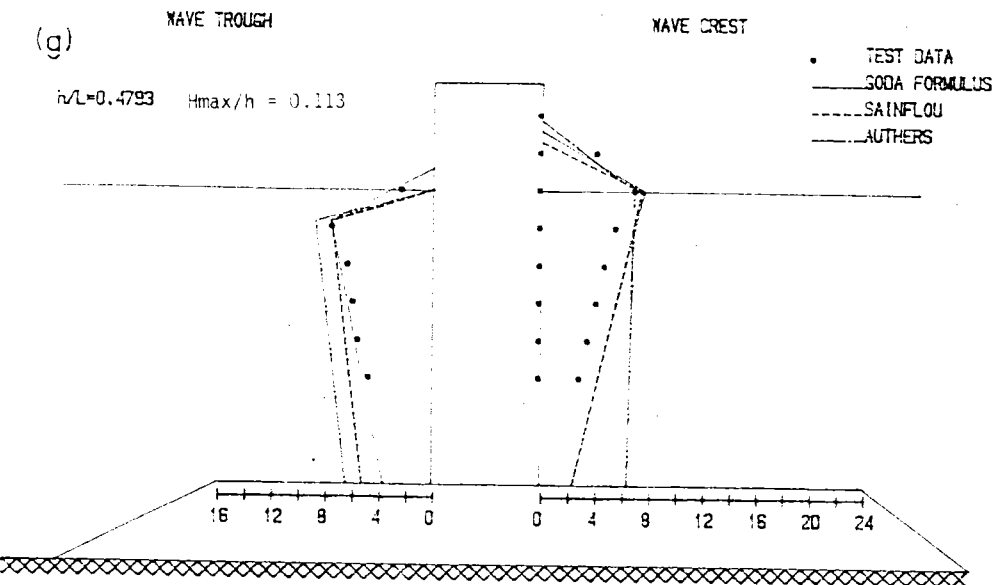


圖 5 — 16 (g) 最大波壓斷面分佈試驗與計算值比較

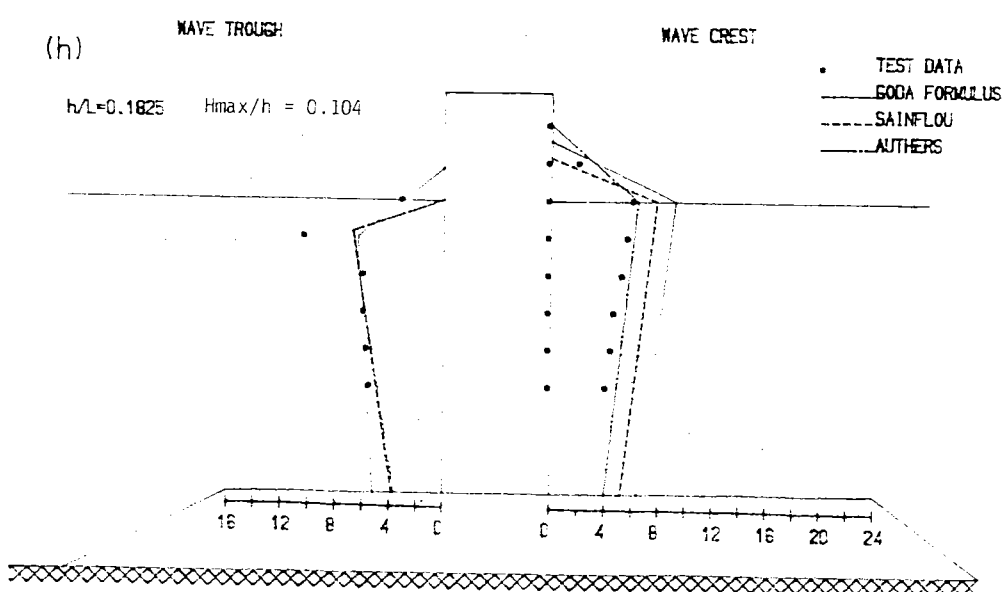


圖 5 — 16 (h) 最大波壓斷面分佈試驗與計算值比較

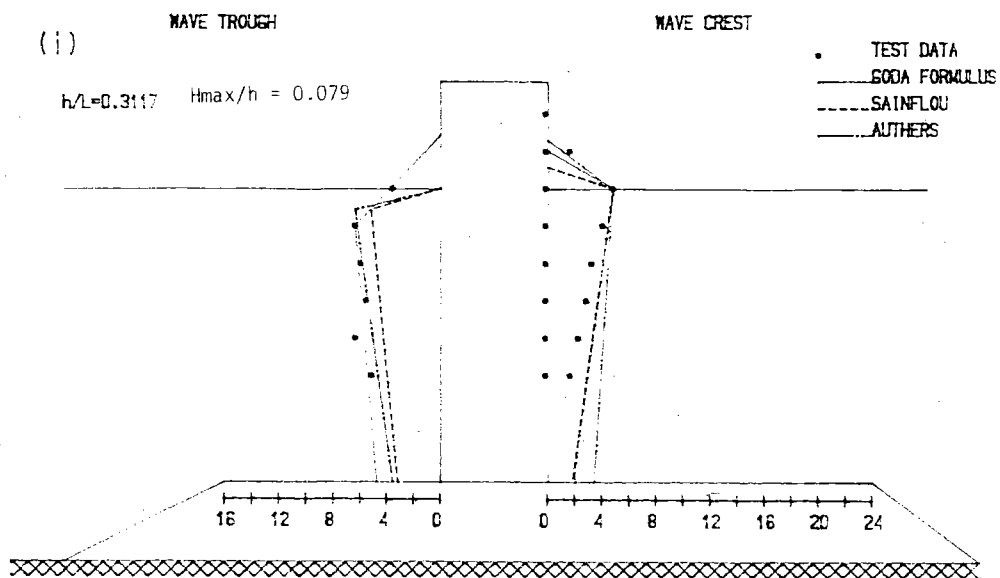


圖 5 — 16 (i) 最大波壓斷面分佈試驗與計算值比較

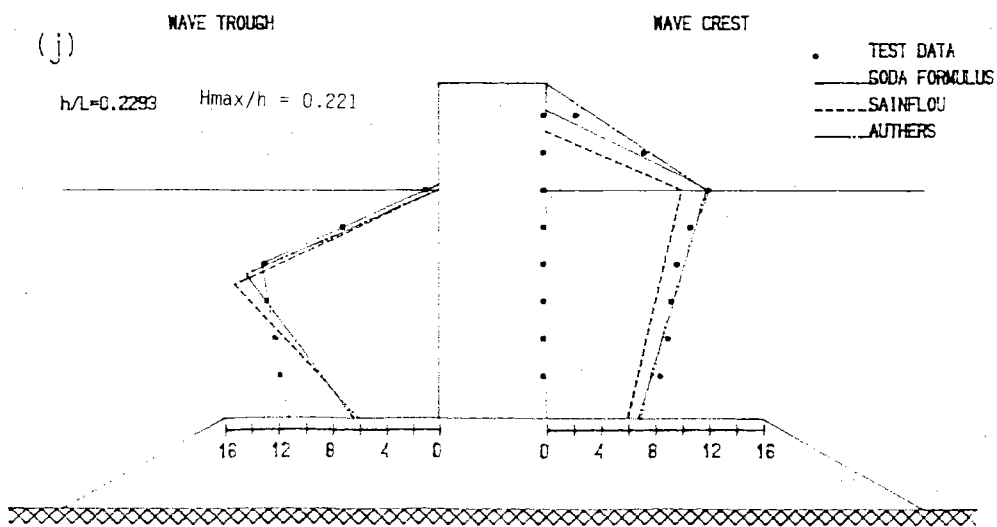


圖 5 — 16 (j) 最大波壓斷面分佈試驗與計算值比較

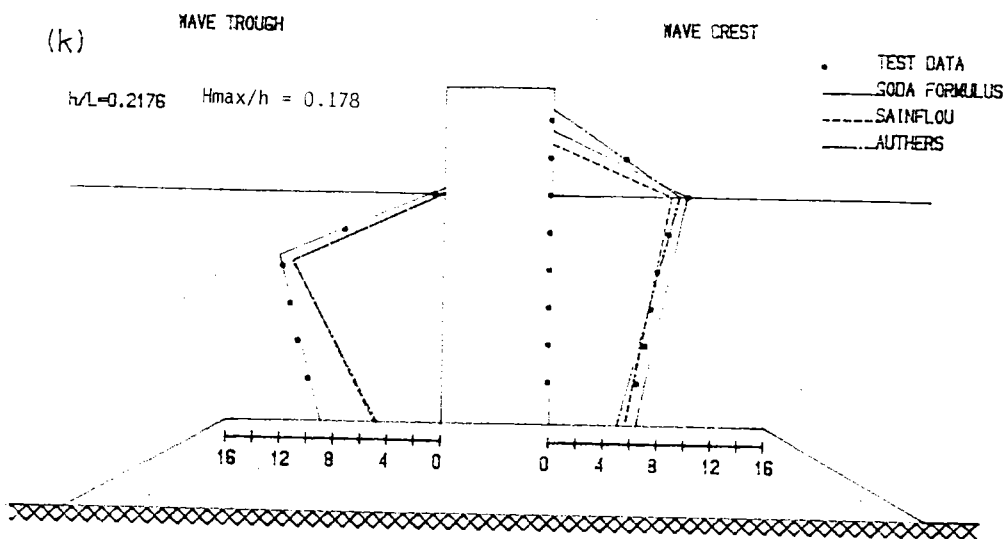


圖 5-16(k) 最大波壓斷面分佈試驗與計算值比較

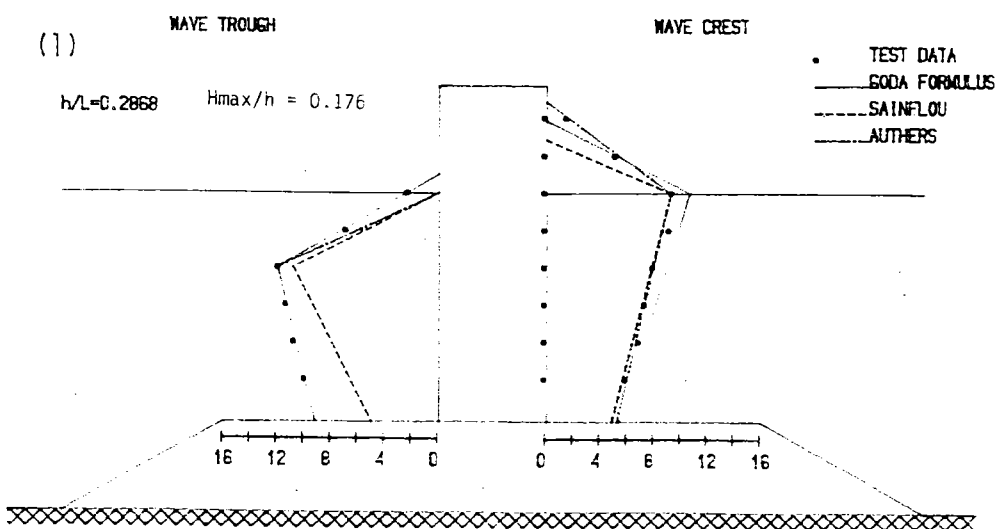


圖 5-16(l) 最大波壓斷面分佈試驗與計算值比較

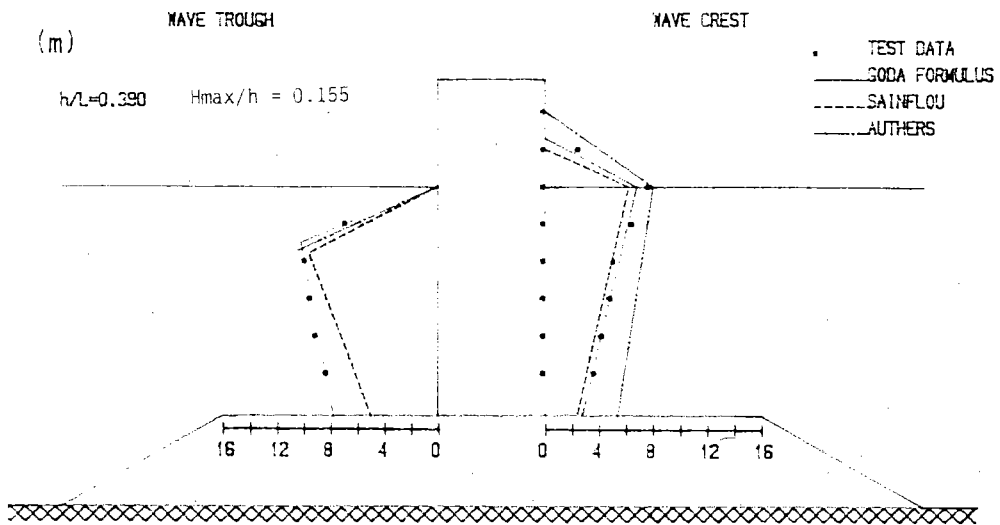


圖 5-16(m) 最大波壓斷面分佈試驗與計算值比較

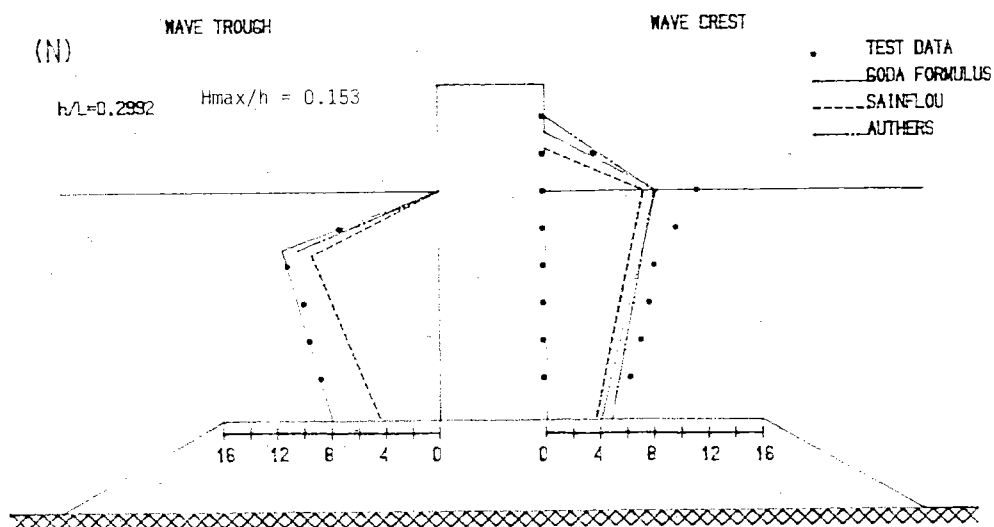


圖 5-16(n) 最大波壓斷面分佈試驗與計算值比較

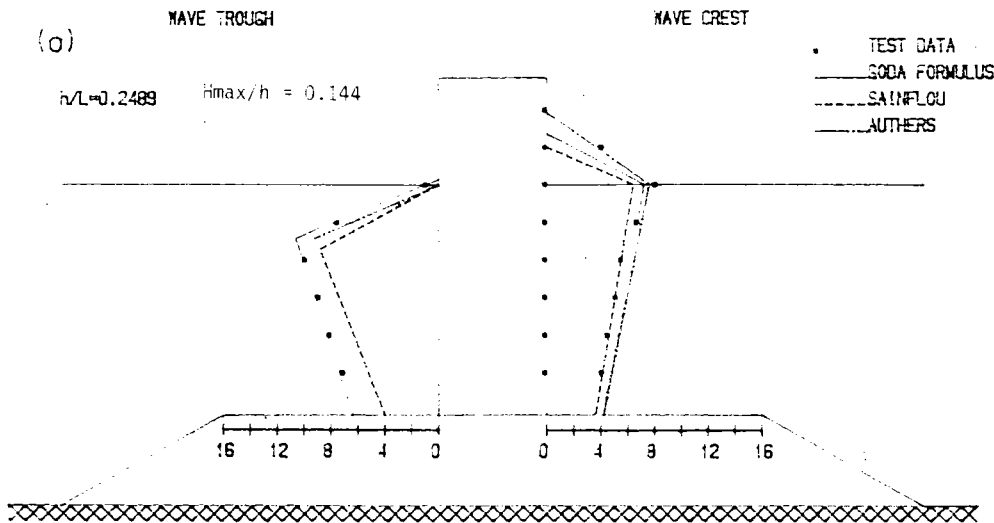


圖 5-16(o) 最大波壓斷面分佈試驗與計算值比較

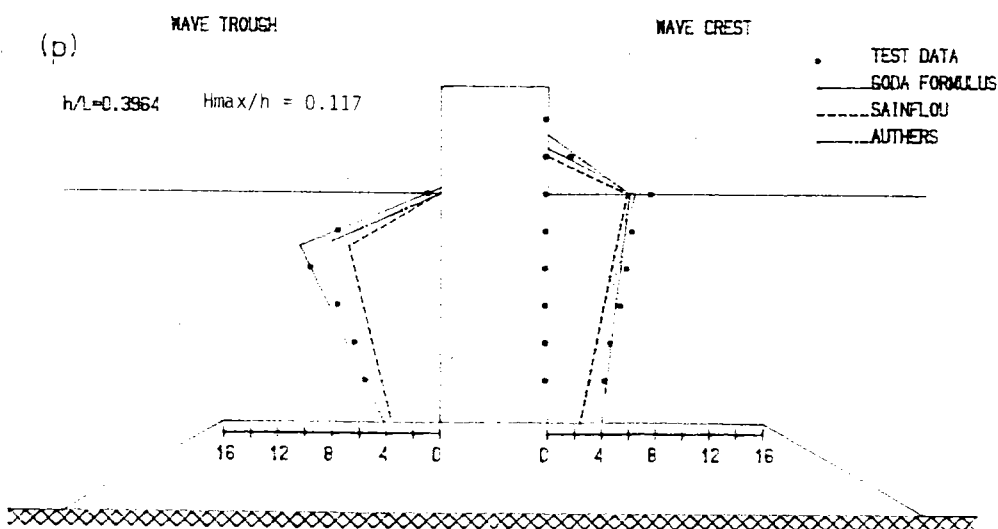


圖 5-16(p) 最大波壓斷面分佈試驗與計算值比較

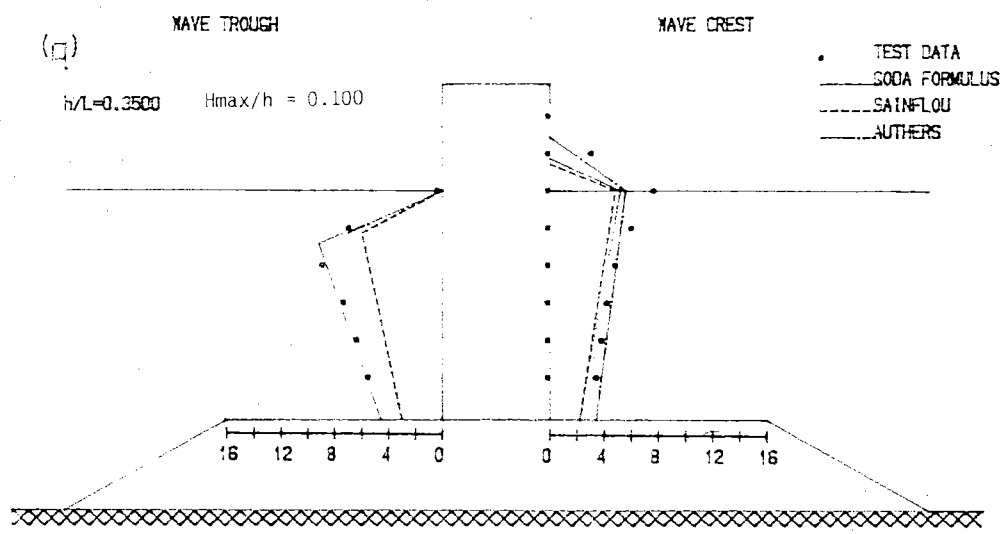


圖 5-16(Q) 最大波壓斷面分佈試驗與計算值比較

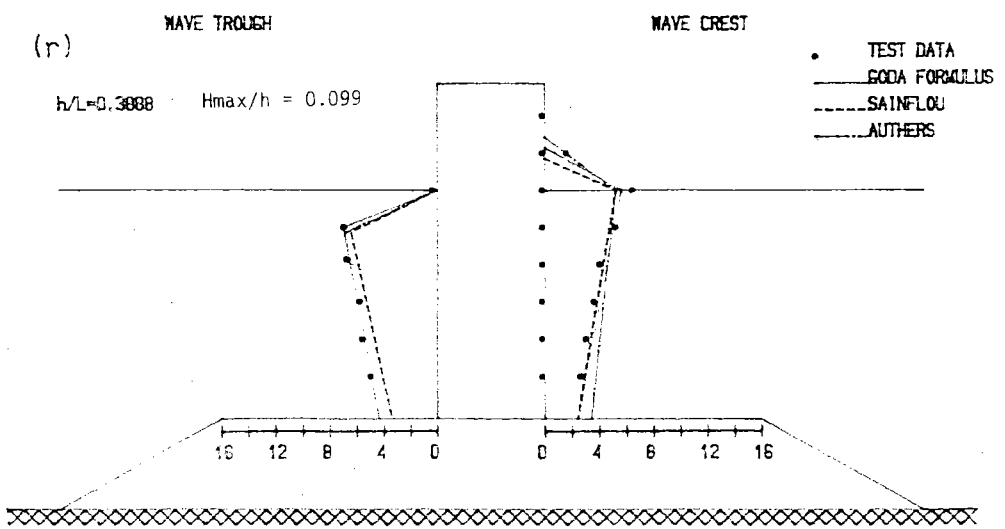


圖 5-16(r) 最大波壓斷面分佈試驗與計算值比較

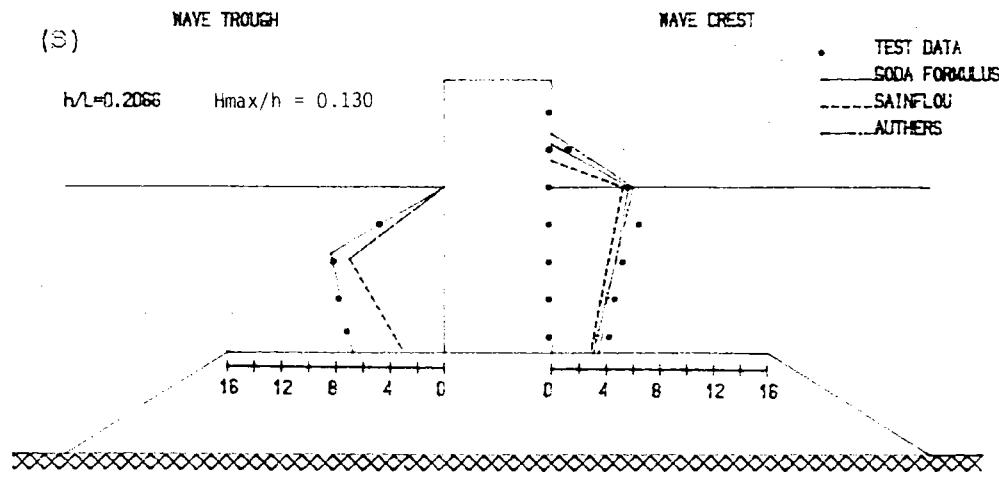


圖 5-16(S) 最大波壓斷面分佈試驗與計算值比較

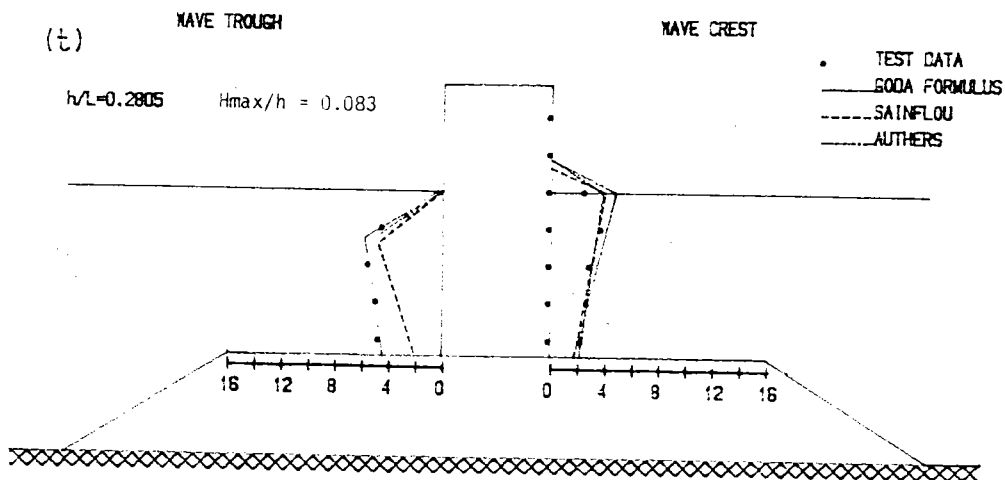


圖 5-16(t) 最大波壓斷面分佈試驗與計算值比較

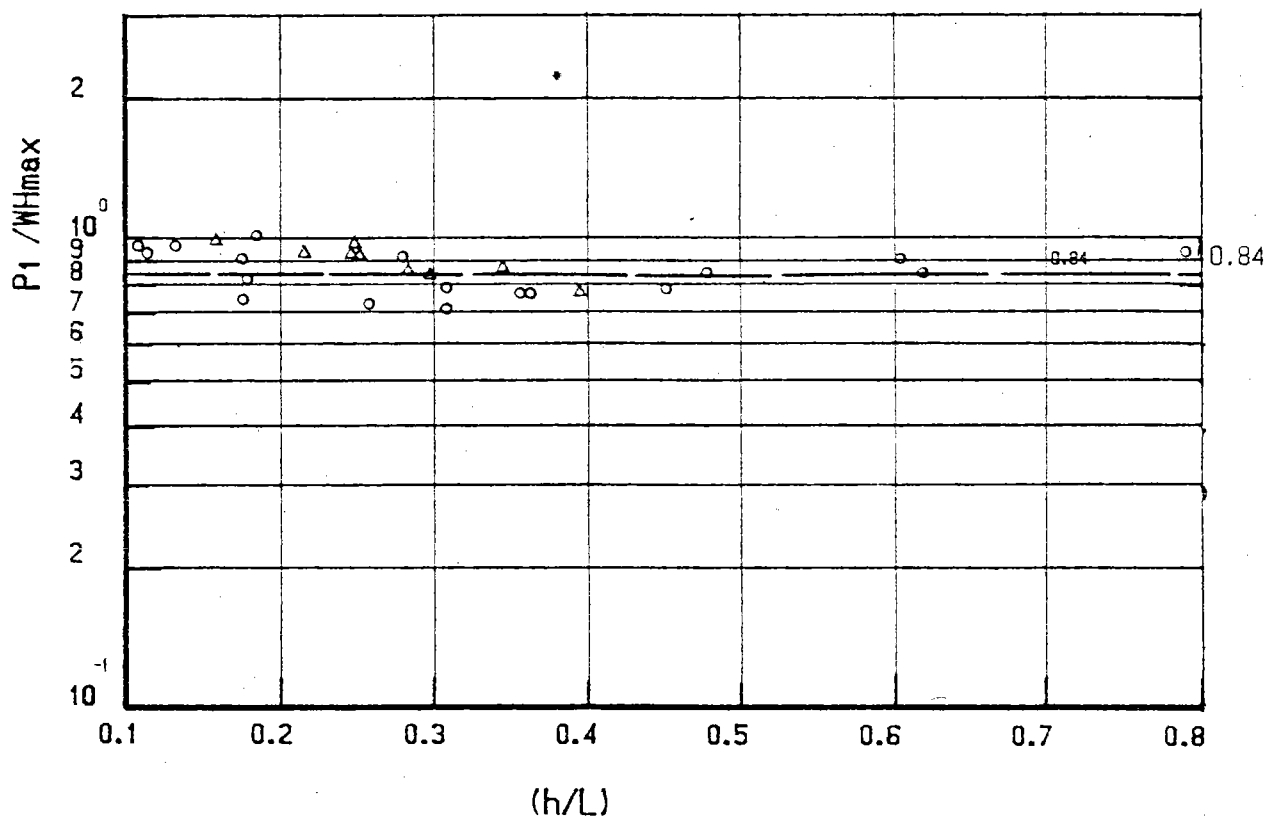


圖 5-17  $p_1 / wH_{\max}$  與  $h / L$  之關係

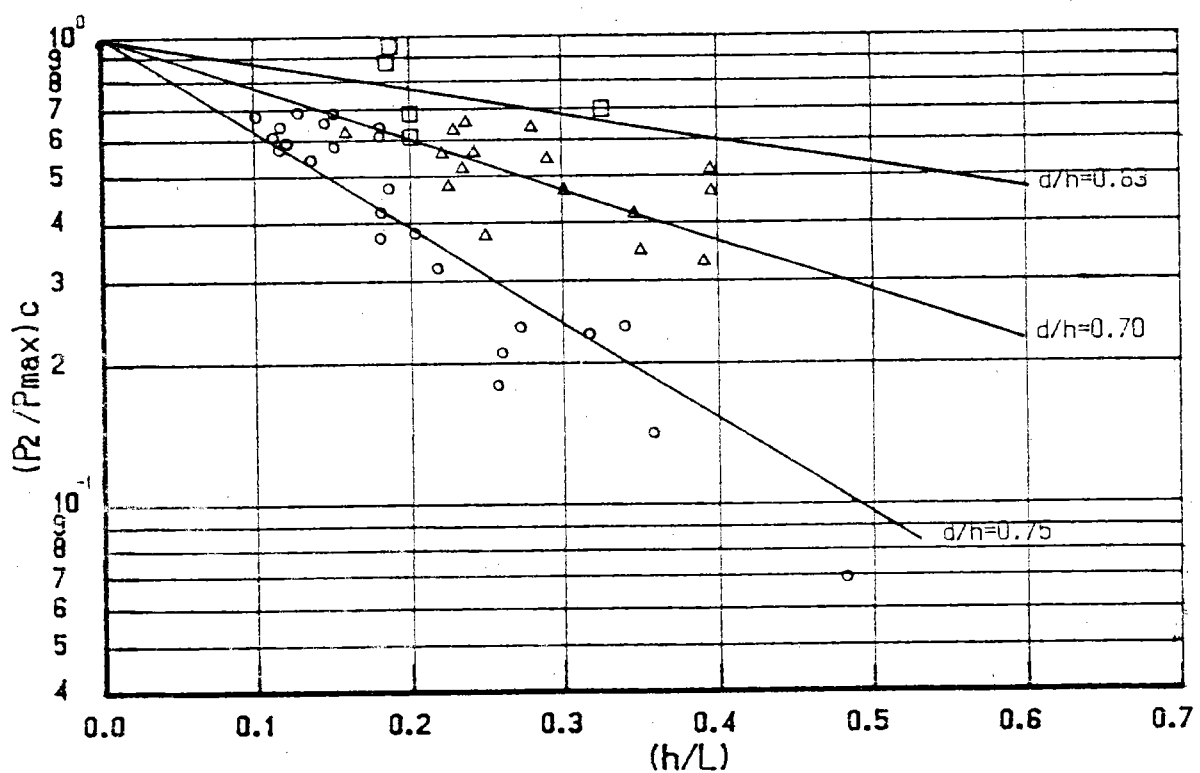


圖 5-18  $p_2 / p_{\max}$  與  $h / L$  之關係

增加而減小，如圖 5 — 18。同一相對水深  $p_2$  值隨著拋石基礎面上水深  $d$  增加而成指數分佈減小。當  $h/L = 0$  時  $p_2$  等於  $p_{max}$ 。

垂直堤面上波峯時水位上升值  $R$  與入射波群最大波高  $H_{max}$ ，比值  $R/H_{max}$  與  $h/L$  關係如圖 5 — 19。 $R/H_{max}$  值不隨  $h/L$  增減而改變；與試驗水深亦無直接關係。 $R/H_{max}$  之值介於 1.1 至 1.9 之間，大部份集中於 1.5 即  $R \doteq 1.5 H_{max}$ 。

### 3. 波谷時波壓特性

當壁面為波谷時，其發生最大動壓力  $p'_1$  距離水面下之位置  $R'$  與入射波群之最大波高  $H_{max}$  比值  $R'/H_{max}$  與堤基相對水深  $h/L$  關係如圖 5 — 20。 $h/L$  相同時， $R'$  值隨著  $d/h$  值之增加而相對減小，此意謂著，當  $h$  固定時，拋石基礎面上之水深  $d$  增加時， $R'$  值有減小趨勢。圖 5 — 21 為防波堤直立壁面為波谷時，其最大動壓力值與入射波群最大波高  $H_{max}$  比值  $p'_1/wH_{max}$  與  $h/L$  之關係，圖中顯示  $p'_1/wH_{max}$  隨著拋石基礎面上水深  $d$  之增加而減小。圖 5 — 22 為壁面為波谷時，合成堤拋石基礎面上最大動壓力  $p'_2$  與整個垂直斷面發生最大動壓力  $p'_1$ ，比值  $p'_2/p'_1$  之分佈隨著相對水深  $h/L$  以及  $d/h$  比值增加而減小。堤基相對水深  $h/L = 0$  時  $p'_1/p'_2$  值趨近於 1.0。

### 4. 波峯、波谷時水面波壓比較

波谷時，堤前動壓力最大值  $p'_1$  與波峯時動壓力最大值  $p_1$  之比  $p'_1/p_1$  與  $h/L$  之關係如圖 5 — 23。試驗資料顯示相對水深  $h/L > 0.175$  時，則壁面為波谷時，其最大動壓力值  $p'_1$  遠較壁面為波峯時所發生之最大動壓力值  $p_1$  為大。此種結果顯示，深水防波堤最大動壓力值並非絕對發生在壁面為波峯作用時，而可能發生在壁面為波谷時。此時最大動壓力方向與波浪前進方向相反。

### 5. 根據試驗資料推導波壓公式

根據本次研究各種試驗所得資料，推導重複波波壓公式如下：

堤面受波峯作用時

$$p_1 = \alpha_1 w H_{max}$$

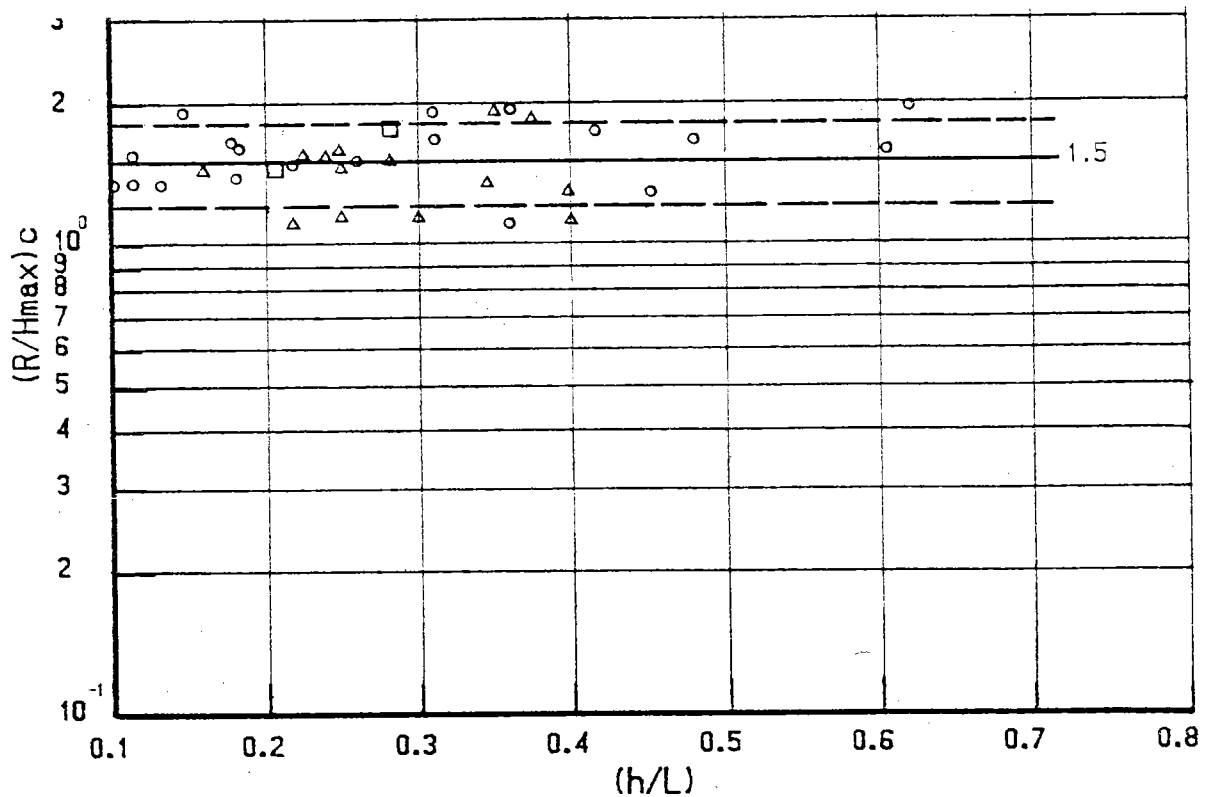


圖 5-19  $R / H_{\max}$  與  $h / L$  之關係

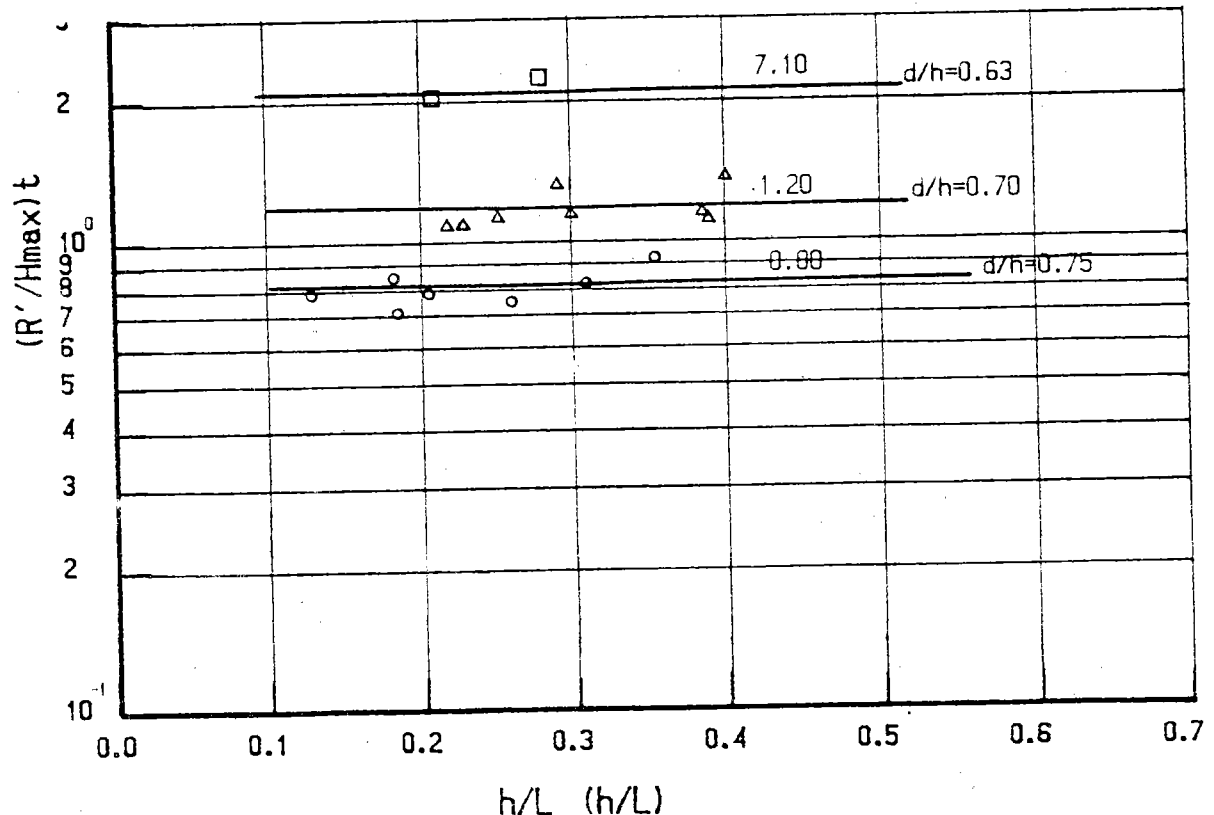


圖 5-20  $R' / H_{\max}$  與  $h / L$  之關係

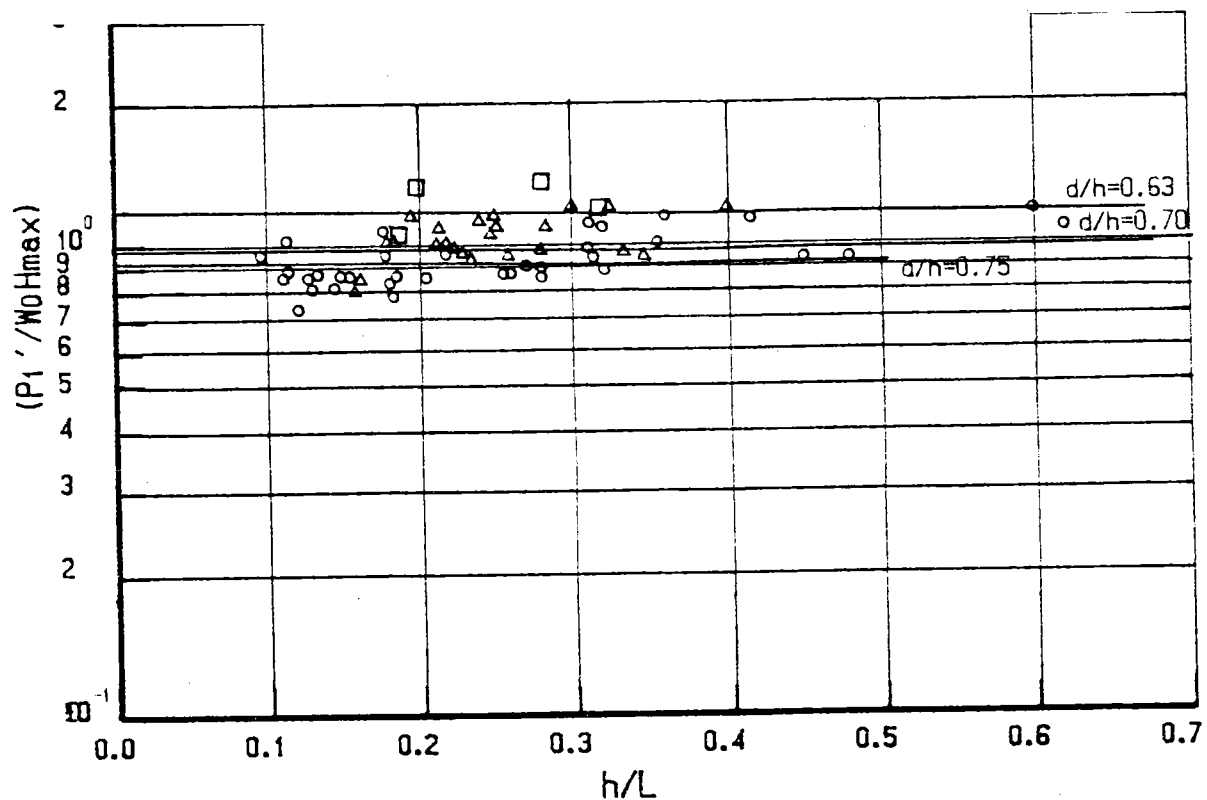


圖 5 - 21  $P_1' / wH_{\max}$  與  $h / L$  之關係

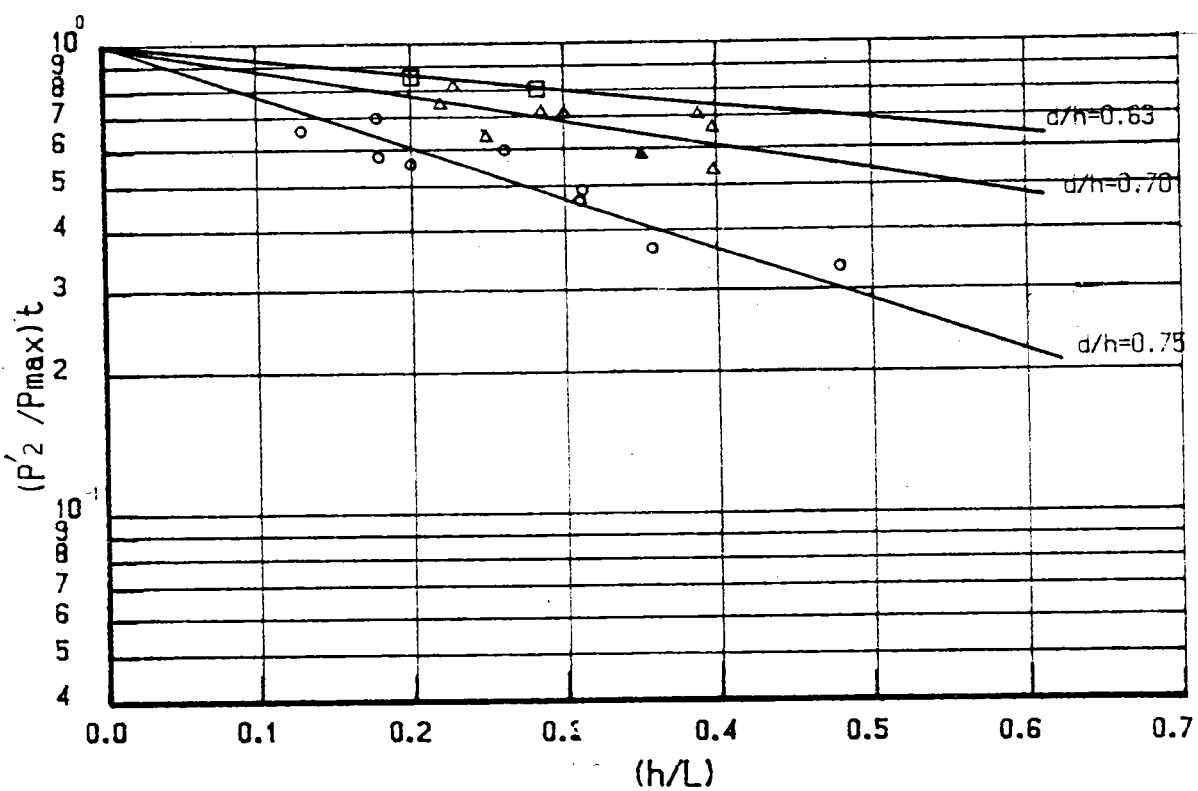


圖 5 - 22  $P_2' / P_1'$  與  $h / L$  之關係

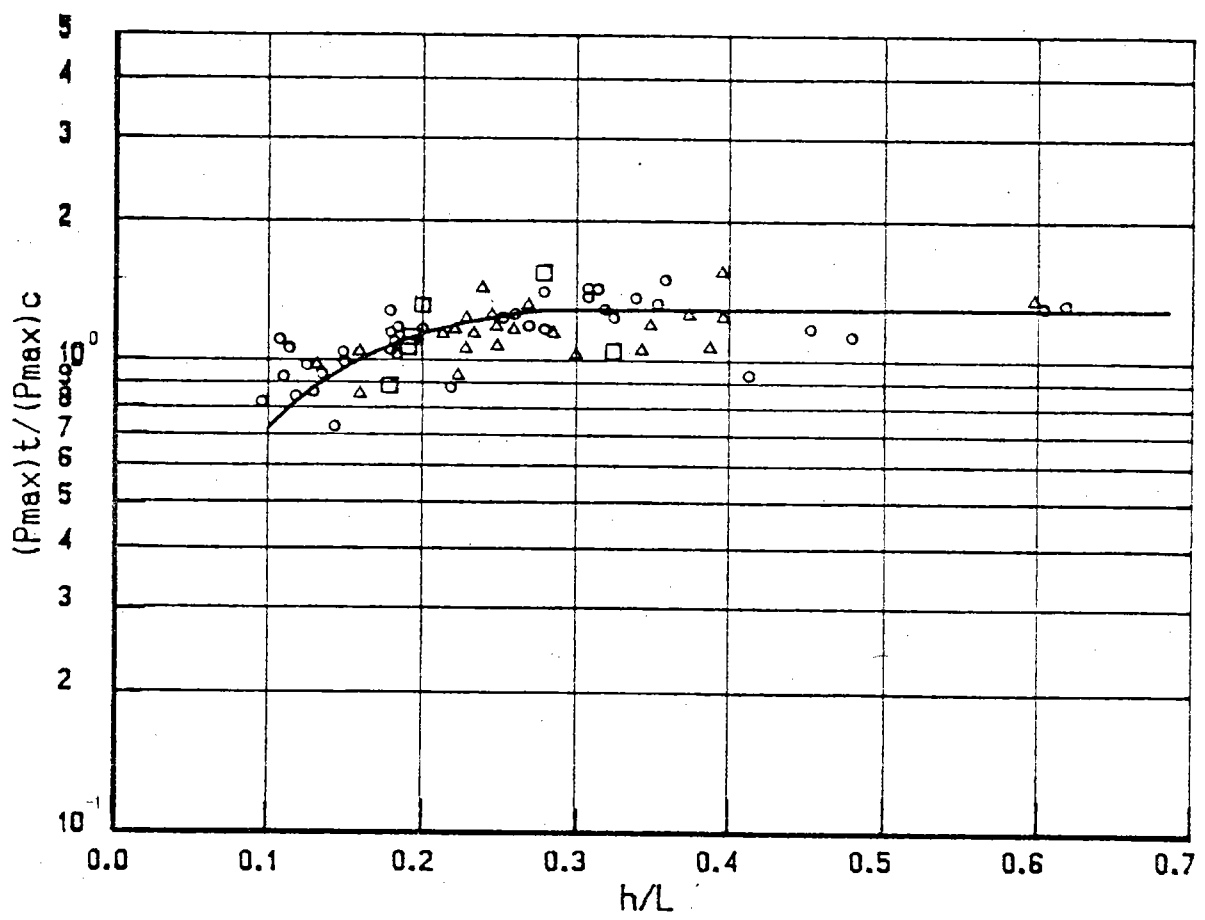


圖 5-23  $p_1' / p_1$  與  $h / L$  之關係

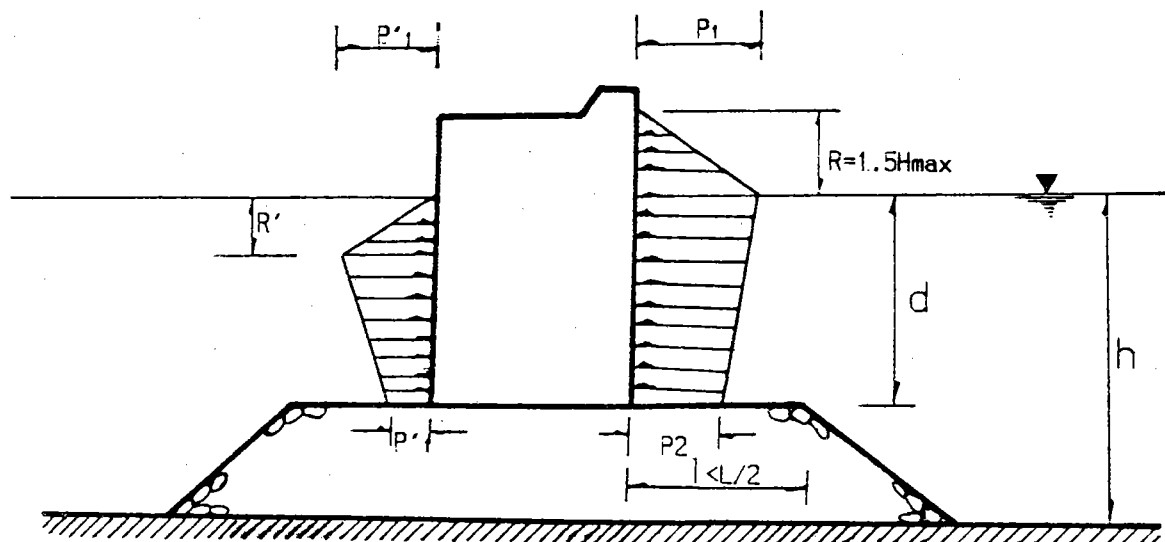


圖 5-24 合成式防波堤物理量示意圖

$$p_2 = p_1 e^{\alpha_2 (h/L - \alpha_3)}$$

$$R = 1.5 H_{\max}$$

$$\text{其中 } \alpha_1 = 1.7 - 1.2 \frac{d}{h}, \alpha_2 = 4.67 \frac{d}{h} - 2.1$$

$$\alpha_3 = 4 - 4.67 \frac{d}{h}$$

堤面受波谷作用時

$$p_1' = \alpha_1' w H_{\max}$$

$$p_2' = p_1' e^{\alpha_2' (h/L - \alpha_3')}$$

$$R' = \alpha_4' H_{\max}$$

$$\text{其中 } \alpha_1' = 2.4 - 2.0 \frac{d}{h}, \alpha_2' = 3.80 \left( \frac{d}{h} - 0.48 \right)$$

$$\alpha_3' = -8.64 \left( \frac{d}{h} - 0.84 \right), \alpha_4' = -11 \left( \frac{d}{h} - 0.82 \right)$$

根據推導公式計算所得波壓繪於圖 5-16。計算值較符合試驗值。

$p_1, p_1', p_2, p_2', R, R', d, h$  等物理量如圖 5-24 所示， $w$  為水之單位體積重量。

## 六、討論

### (一)衝擊波壓

第一階段及第二階段試驗，入射波高均未達碎波界限 ( $2H_{1/3} < d$ )，僅部份最大波高  $H_{max}$  達到碎波界限。為何第一階段試驗時，水面附近出現衝擊波壓，第二階段則未發生。推究其原因可歸納如下：

第一階段試驗時，部份試驗情況  $2H_{max} \geq h$ ；以 C - 5 為例入射波高  $H_{max} = 13.71^m$ ，最大波高  $H_{max}$  以  $1.5 H_{1/3}$  估計（波數較少）， $H_{max} = 20.57^m$ 。堤前水深為  $33^m$ 。當然可能造成碎波產生衝擊波壓。第二階段試驗  $2H_{max} < h$ ，雖二倍  $H_{max}/3$  大於拋石基礎上水深  $d$  ( $2H_{max} > d$ )，但太接近堤面產生衝擊波壓機會甚小。

日本港灣技術研究所 Takahashi 等辦理衝擊波壓研究發現衝擊波壓隨拋石基礎寬度  $B$  與堤前水深  $h$  之比  $B/h$  成顯著變化，如圖 1 - 3。衝擊波壓之發生為一種概率，有必備的條件，加上適當之相位組合才能形成。

### (二)波壓累積概率公佈

第一階段試驗結果波壓累積概率成均勻公佈 (Uniform Distribution)；而第二階段試驗結果波壓累積分佈却為理萊分佈 (Reyleigh Distribution)。主要原因為：

重複波所造成波壓大小隨波高比例增加。波高累積概率為理萊分佈，波壓累積概率亦應為理萊分佈。第一階段試驗結果發生衝擊波壓，此時波壓值可能為未發生衝擊波壓之數倍。因此波壓累積概率不可能再符合理萊分佈。此外第一階段試驗時，因  $A/D$  存記最小值為  $5^m$ ，增幅器放大倍數不足，最小計量相當於原型  $1.2 \text{ ton/m}^2$ 。小波浪所產生之波壓無法取得，使波壓與波高分佈有所差異。

### (三)波壓計使用方法之探討

本試驗之波壓感應方式採開放式感應。所購波壓感應計說明書中並未說明感應面裸露程度與其適合之應用情況，前所做之大部分試驗皆比照其保護罩方式，故設一留有小孔之套帽罩之，甚至使套子無法平整於量測面，本裸露式控制其螺孔厚度而使感應面與堤面平整，此兩種方式優缺點析之如下：

- 1.以一小孔量測時，在實驗之初必需將其內之空氣排除，往往必需加以打針注射，且難以確知其空氣是否排除乾淨，另一方面，此一狀況對於在水面以上之波壓計似無妥善之解決方法，蓋因水面波動範圍內之波壓計，因水面起伏是否會產生殘留空氣，而空氣是良好之壓縮體，在受突然較大之衝擊將形成一種 *Cushion*作用，緩衝了量測壓力。
- 2.留孔式量測是點量測，測得者近似點壓力，裸露式量測是較大面積量測，測得者是近似平均壓力。因為感受面之大小，可預期的是點量測應具有較佳之穩定性（輸出電流或電壓），裸露式量測則將有較多之鉗齒起伏。本試驗資料記錄為數位記錄，實際上當將各波壓計、波高計連接於類比記錄器當場繪出波動圖形時，因為儀器本身是為機械性及其反應時間之延滯，所得波動均為非常光滑之線，更看不出會有突變衝擊壓。但若將記錄得之數位資料輸入大電腦再將其波動繪出，則為一明顯非光滑之鋸齒狀波動，水面以上之波壓會偶現突變壓。因此在計數波數，週期等需將之光滑化。至於衝擊壓之問題，從實驗記錄圖形中及現場觀測可發現，其發生是為機率問題且必為局部微小區域上之受力，亦即波壓計感知此衝擊壓與波高等關係並無規律可尋，其產生大抵受飛濺破碎之水的撞擊而生，而水面下均無所謂之甚大衝擊突變壓力，另一方面此異常壓雖或可為正常壓力之倍數但亦僅見於Ch 1 及 Ch 2，而水面的Ch 3 就甚小了。綜觀之，對於探討堤面之受力情形，點量測或裸露量測均無礙，較有實質意義是其壓力分佈，而非在於一些高頻量測（如有人主張數千赫茲之量測異常壓力）。蓋堤面本身是一個面而非波壓計一個點。
- 3.孔量測因設有罩子故可降低波壓計受損之概率。本實驗中未發生波壓計受水中異物（如石粒）損毀之狀況。

## 七、結論與建議

- (一) 第一階段試驗結果顯示，入射波高( $H_s$ ) 雖未達碎波條件，但在不規則波群入射波與反射波適當相位組合下，亦可能產生極大之衝擊波壓力。最大入射波浪不一定造成最大波壓。幾個較大之入射波與反射波組合後，作用於堤面可能產生最大波壓力。
- (二) 第一階段試驗所得波高成理萊分佈；波壓成近似均勻分佈，第二階段所得波高與波壓均成理萊分佈。
- (三) 堤面波壓力試驗值與計算值之比隨相對堤頂高度  $h_0/H_t$  降低而比例減小之趨勢。越波時，堤頂部份波壓力計算值較實際情形偏大。
- (四) 在試驗範圍內  $0.05 < h/L_0 \leq 0.3$  時，水平測點波壓無因次參數  $p/wH$  與  $h/L_0$  及  $H/h$  二者關係均極為一致，不因使用統計概率改變而有顯著差異。不論  $p_{1/3}/wH_{1/3}$ ,  $p_{10}/wH_{10}$  及  $p_{max}/wH_{max}$ ，其值大都介於 0.7 至 0.9 間。 $p/wH$  隨  $H/h$  增加而略微減小。
- (五) 斷面平均波壓，無因次參數  $\bar{p}/wH$  隨  $h/L_0$  增加而有減小，隨  $H/h$  增加而略微增大，此與波壓理論相符合。 $\bar{p}/wH$  之值介於 0.45 與 0.65 之間，不因使用統計概率而有太多差異。
- (六)  $\bar{p}_{10}/\bar{p}_{1/3}$  與  $H_{10}/H_{1/3}$  及  $\bar{p}_{max}/\bar{p}_{1/3}$  與  $H_{max}/H_{1/3}$  無因次關係中資料成扇形分佈。迴歸線斜率接近 1 : 1。此種現象顯示，統計上不規則波群中較大的波高造成較大波壓；但如果利用波群中慣用之示性波高  $H_{1/3}$  所得平均波壓  $\bar{p}_{1/3}$ ，推估  $\bar{p}_{10}$  或  $\bar{p}_{max}$  則隨  $H_{10}/H_{1/3}$  或  $H_{max}/H_{1/3}$  之值增加而產生較大之偏差。
- (七) 在中水深 ( $0.135 < h/L < 0.35$ ) 時，利用 Nagai 公式計算水平總波壓力  $F$  與試驗值最大三分之一波壓趨勢一致且甚為接近。Nagai 公式計算所得水平總波壓力與試驗值最大三分之一總壓力比較，在淺水時 ( $h/L < 0.135$ ) 計算值偏大，且隨  $H/d$  增加而差異愈大。中水深時 ( $0.135 < h/L < 0.35$ )  $F/wd^2$  計算值與試驗值趨勢一致且相當吻合。隨  $h/L$  增為深水中，計算值有偏小之趨勢。Sainflou 公式則在  $h/L$  較小時計算值與試驗值相當接近，隨  $h/L$  增加，計算值較試驗值偏大，但仍較最大十分之一總壓力為小。因之 Nagai 及 Sainflou 兩公式應用在未碎波之波壓力計算時，所得結果，未能

- 涵蓋最大波壓；且因  $h/L$  不同計算所得之波壓與試驗值差異甚大。
- (八) 當堤面為波峯時，最大動壓力發生在水面上，惟當拋石基礎面上水深  $d$  值減小時，試驗結果顯示，最大動壓力位置則可能發生在水面下。
- (九) 試驗結果顯示，相同入射波浪條件，合成堤堤基相對水深  $h/L > 0.175$  時，則壁面波谷時之最大動壓力值  $p'_1$ ，較壁面波峯時所發生之壓力  $p_1$  值為大。即最大動壓力值並非絕對發生在壁面為波峯情況，當壁面為波谷時，有可能造成與入射波相反方向之最大動壓力。但波谷時，受壓面積較小，力臂較低，所造成之水平總壓力及傾倒力矩一般均較波峯時為小。
- (十) 根據試驗所推導公式，較 Sainflou 公式及 Goda 公式簡單，且能充分描述試驗範圍內之波壓垂直分佈特性。惟試驗所涵蓋範圍稍嫌不夠，如能再作更多試驗研究作為印證，將可導出一個能適用於各種條件之波壓計算公式。
- (十一) 本研究係針對合成式防波堤波壓分佈特性辦理試驗，涵蓋範圍相當有限 ( $H/h$  值在 0.1 與 0.5 間)，對可能發生碎波之較大  $H/h$  未能作有計畫之試驗研究，建議再針對碎波波壓及開孔胸牆防波堤等作有系統之試驗研究。
- (十二) 本所初次辦理波壓試驗，人員經驗不足，經本試驗研究計畫後，參與研究人員已獲得相當之經驗，往後從事類似研究計畫將有極大之助益。

## 八、参考書籍

1. Nagai, S., "Pressure of Standing Waves on Vertical Wall", Journal of Waterways and Harbour Division, ASCE, Vol.95, No. WW1, pp.53-76.
2. Goda, Yoshimi, "New Wave Pressure Formula for Composite Breakwaters", Coastal Engineering, Chap.100, ASCE, 1974.
3. H. Lundgren and H. Gravesen, "Vertical Face Breakwaters", KVIV, Int. Havenknogres, 1974.
4. H. Gravesen and H. Lundgren, "Forces on Vertical and Sloping Face Breakwater", International Association for Hydraulic Research.
5. K. Tanimoto et al., "Experimental Study of Impact Breaking Wave Forces on a Vertical - Wall Caisson of Composite Breakwater", Report of the Port and Harbour Research Institute, Japan. Vol.20, No.2, 1981.
6. K. Tanimoto et al., "A Model Experiment of Irregular Wave Action on a Caisson Breakwater armored with Wave Dissipating Concrete Block", Report of the Port and Harbour Research Institute, Japan, Vol.32, 1979.
7. S. Takahashi et al., "Generation Mechanism of Impulsive Pressure by Breaking Wave on a Vertical Wall", Report of the Port and Harbour Research Institute, Japan, Vol.22, No.4, 1983.
8. K. Tanimoto et al., "Experimental Study of Random Wave Forces on Upright Section of Breakwater", Report of the Port and Harbour Research Institute, Japan, Vol.23, No.3, 1984.

9. CERC, Shore Protection Manual, 1984.
10. Y. Ito, Stability of Mixed-type breakwater - A Method of Probable Sliding Distance", Coastal Eng. in Japan, Vol.14, JSCE, 1971.
11. G. Sainflou, "Essai sur les Digues Maritimes Verticales Annales des Ports et Chausees", Vol.98, No.4, 1928.
12. I.Tadjbakhsh and J.B. Keller, "Standing Surface Waves of Finite Amplitude", JFM, Vol.8, 1960.
13. H. Mitsuyasu, "Experimental Study on Wave Force Against a Wall", Coastal Eng. in Japan, Vol.5, JSCE, 1962.